

Schweizer Zahlen

Eintauchen in die Covid- und Post-Impfstatistiken



Mein Name ist Viviane Cuendet, Viv auf Twitter! Zunächst einmal bin ich absolut keine Fachfrau in diesem Bereich, aber ich habe mich während der Pandemie als Freiwillige damit befasst. Ich habe insbesondere statistische Informationen von einer deutschen Gruppe auf Telegram übersetzt, Real Hero der Daten über verschiedene Länder veröffentlicht, darunter die Schweiz und Deutschland, manchmal auch Frankreich. Ich habe also keinen Interessenkonflikt. Heute Abend werde ich die offiziellen Covid-Statistiken, Geburtenrückgang und Krankenhauscodes behandeln und insbesondere auf Signale und bemerkenswerte Unterschiede zwischen 2020, dem ersten Jahr von Covid, und 2021, der Einführung des Impfstoffs, im Vergleich über 6 Jahre hinweg achten.

(Die Präsentation wurde auf Einladung dem unabhängigen wissenschaftlichen Rat (Conseil scientifique indépendant, CSI) vorgetragen.

Der Unabhängige Wissenschaftliche Rat wurde in Frankreich gegründet, um dem dringenden Bedarf an klaren, fairen und angemessenen Informationen über die gesundheitlichen und therapeutischen Herausforderungen von Covid gerecht zu werden.)

Starke Fakten: Schweiz (Jahresabschluss 2022)

Datenstand: 15.06.2023

Inhaltsverzeichnis

Inhaltsverzeichnis	3
1. Quellen	4
2. Offizielle Zahlen und Darstellungen	6
3. Rückgang der Geburten	15
4. Diagnostische Codes für Krankenhausaufenthalte	23
4. Grafiken für 0-14 Jahre	43
5. Zusätzliche Grafiken.....	49
6. Wissenschaftliche Studien beobachtete Krankheitsbilder nach Covid-Impfungen.....	95

1. Quellen

1. COVID-19 Schweiz, Informationen über die aktuelle Lage <https://www.covid19.admin.ch/de/overview>
2. Demographie <https://www.bfs.admin.ch/bfs/de/home/statistiken/bevoelkerung.assetdetail.23328844.html>
3. https://www.pxweb.bfs.admin.ch/pxweb/de/px-x-0102020000_103/-/px-x-0102020000_103.px/
4. Sterblichkeit, Todesursachen <https://www.bfs.admin.ch/bfs/de/home/statistiken/gesundheit/gesundheitszustand/sterblichkeit-todesursachen.html>
5. Sterblichkeit <https://www.bfs.admin.ch/bfs/de/home/statistiken/bevoelkerung/geburten-todesfaelle/sterblichkeit.html>
6. Todesfälle <https://www.bfs.admin.ch/bfs/de/home/statistiken/bevoelkerung/geburten-todesfaelle/todesfaelle.html>
7. Geburten <https://www.bfs.admin.ch/bfs/de/home/statistiken/bevoelkerung/geburten-todesfaelle/geburten.html>
8. Geburten (vorläufige Daten) 2022, Jan.-Nov.
9. <https://www.bfs.admin.ch/bfs/de/home/statistiken/kataloge-datenbanken.assetdetail.24005252.html>
2023, Jan.-April <https://www.bfs.admin.ch/bfs/de/home/statistiken/kataloge-datenbanken.assetdetail.25965321.html>
10. Schwangerschaftsabbrüche <https://www.bfs.admin.ch/bfs/de/home/statistiken/gesundheit/gesundheitszustand/reproduktive/schwangerschaftsabbrueche.html>
11. Künstliche Befruchtung <https://www.bfs.admin.ch/bfs/de/home/statistiken/gesundheit/gesundheitszustand/reproduktive/medizinisch-unterstuetzte-fortpflanzung.html>
12. Krankenhausaufenthalte 2015-2016 <https://www.bfs.admin.ch/bfs/de/home/aktuell/neue-veroeffentlichungen.gnpdetail.2017-0103.html>
13. 2017 <https://www.bfs.admin.ch/bfs/de/home/aktuell/neue-veroeffentlichungen.gnpdetail.2018-0396.html>
14. 2018 <https://www.bfs.admin.ch/bfs/de/home/aktuell/neue-veroeffentlichungen.gnpdetail.2019-0190.html>
15. 2019 <https://www.bfs.admin.ch/bfs/de/home/aktuell/neue-veroeffentlichungen.gnpdetail.2020-0149.html>
16. 2020-2022 (Covid und nicht Covid)
17. 2020 <https://www.bfs.admin.ch/bfs/de/home/aktuell/neue-veroeffentlichungen.gnpdetail.2021-0093.html>
18. 2021 <https://www.bfs.admin.ch/bfs/de/home/aktuell/neue-veroeffentlichungen.gnpdetail.2022-0096.html>
19. Diagnosecode-Dateien der Krankenhäuser
20. 2016 <https://www.bfs.admin.ch/bfs/de/home/aktuell/neue-veroeffentlichungen.assetdetail.3722895.html>
21. 2017 <https://www.bfs.admin.ch/bfs/fr/home/actualites/quoi-de-neuf.assetdetail.6406957.html>
22. 2018 <https://www.bfs.admin.ch/bfs/de/home/aktuell/neue-veroeffentlichungen.assetdetail.10787003.html>
23. 2019 <https://www.bfs.admin.ch/bfs/de/home/aktuell/neue-veroeffentlichungen.assetdetail.14841444.html>
24. 2020 <https://www.bfs.admin.ch/bfs/de/home/statistiken/gesundheit/gesundheitswesen/spitaeler/patienten-hospitalisierungen.assetdetail.20044114.html>

25. 2021 <https://www.bfs.admin.ch/bfs/de/home/aktuell/neue-veroeffentlichungen.assetdetail.23727892.html>
26. REGA <https://report.rega.ch/jahresbericht-2022/download-center>
27. Saisonale Grippe <https://www.bag.admin.ch/bag/de/home/krankheiten/ausbrueche-epidemien-pandemien/aktuelle-ausbrueche-epidemien/saisonale-grippe---lagebericht-schweiz.html>
28. Krankenhausaufenthalte während der Pandemie, Covid und andere <https://www.covid19.admin.ch/de/hosp-capacity/total>
29. Virussaison <https://emedicine.medscape.com/article/227820-overview>
30. Totgeburten nach Kanton, 1970-202;1 <https://www.bfs.admin.ch/bfs/de/home/statistiken/kataloge-datenbanken/tabellen.assetdetail.22804043.html>
31. DATEIEN : <https://www.covid19.admin.ch/de/overview>
32. Impfungen <https://www.covid19.admin.ch/fr/overview>
COVID19VaccDosesAdministered_AKL10_w und
COVID19VaccPersons_AKL10_w_v2
33. Krankenhausaufenthalte <https://www.covid19.admin.ch/fr/overview>
COVID19HospCapacity_geoRegion.csv
34. Bericht über Nebenwirkungen des Covid-Impfstoffs (der letzte) <https://www.swissmedic.ch/swissmedic/de/home/news/coronavirus-covid-19/covid-19-vaccines-safety-update-19.html>
35. Gürtelrose (Tweet auf Französisch) <https://threadreaderapp.com/thread/1564147196378787840.html>
36. IVF <https://www.bfs.admin.ch/bfs/de/home/statistiken/gesundheit/gesundheitszustand/reproduktive/medizinisch-unterstuetzte-fortpflanzung.html>

2. Offizielle Zahlen und Darstellungen

Wir werden kurz mit den offiziellen Zahlen beginnen, die anders dargestellt und in einen Kontext gesetzt werden. Eine Arbeit, die ich in den letzten Monaten durchgeführt mit einigen Grafiken von Real Hero.

verstorben	2010	2011	2012	2013	2014	2015	2016	2017	2018	2019	2020	2021	2022
Sterberate	Berechnung der prozentualen Sterberaten pro Altersgruppe und Kalenderjahr										Pandemie-Jahre		
0-4 Jahre	0.087%	0.087%	0.083%	0.087%	0.088%	0.092%	0.080%	0.082%	0.077%	0.073%	0.082%	0.073%	0.081%
5-9 Jahre	0.007%	0.011%	0.008%	0.009%	0.005%	0.008%	0.005%	0.006%	0.007%	0.009%	0.007%	0.007%	0.008%
10-14 Jahre	0.008%	0.009%	0.007%	0.007%	0.008%	0.009%	0.008%	0.007%	0.010%	0.006%	0.009%	0.008%	0.006%
15-19 Jahre	0.025%	0.020%	0.022%	0.024%	0.021%	0.021%	0.017%	0.019%	0.023%	0.018%	0.021%	0.021%	0.021%
20-24 Jahre	0.029%	0.038%	0.032%	0.029%	0.025%	0.032%	0.027%	0.028%	0.031%	0.031%	0.034%	0.027%	0.029%
25-29 Jahre	0.035%	0.035%	0.031%	0.035%	0.033%	0.032%	0.036%	0.032%	0.030%	0.029%	0.030%	0.037%	0.029%
30-34 Jahre	0.043%	0.045%	0.041%	0.038%	0.040%	0.038%	0.036%	0.038%	0.033%	0.033%	0.033%	0.039%	0.037%
35-39 Jahre	0.057%	0.056%	0.053%	0.055%	0.051%	0.050%	0.050%	0.052%	0.050%	0.044%	0.053%	0.043%	0.051%
40-44 Jahre	0.096%	0.088%	0.088%	0.084%	0.083%	0.077%	0.075%	0.073%	0.076%	0.073%	0.067%	0.067%	0.074%
45-49 Jahre	0.156%	0.162%	0.142%	0.146%	0.125%	0.135%	0.123%	0.125%	0.127%	0.110%	0.121%	0.110%	0.114%
50-54 Jahre	0.255%	0.241%	0.248%	0.234%	0.230%	0.223%	0.216%	0.210%	0.205%	0.190%	0.199%	0.197%	0.187%
55-59 Jahre	0.420%	0.389%	0.403%	0.402%	0.384%	0.371%	0.351%	0.358%	0.339%	0.322%	0.323%	0.336%	0.320%
60-64 Jahre	0.659%	0.627%	0.644%	0.617%	0.587%	0.606%	0.577%	0.550%	0.566%	0.541%	0.554%	0.568%	0.523%
65-69 Jahre	1.029%	1.016%	0.995%	0.967%	0.965%	0.966%	0.924%	0.906%	0.897%	0.885%	0.900%	0.915%	0.897%
70-74 Jahre	1.57%	1.55%	1.55%	1.56%	1.50%	1.55%	1.47%	1.45%	1.42%	1.47%	1.54%	1.47%	1.41%
75-79 Jahre	2.79%	2.72%	2.64%	2.59%	2.51%	2.63%	2.42%	2.49%	2.43%	2.41%	2.63%	2.49%	2.45%
80-84 Jahre	5.38%	5.12%	5.18%	5.10%	4.88%	4.99%	4.76%	4.69%	4.62%	4.54%	5.04%	4.51%	4.68%
85-89 Jahre	10.5%	10.3%	10.3%	10.4%	10.0%	10.1%	9.6%	9.7%	9.4%	9.2%	10.7%	9.2%	9.6%
90+ Jahre	24.1%	24.1%	25.0%	24.7%	23.3%	25.0%	23.0%	23.6%	23.1%	22.9%	25.9%	23.1%	24.1%
standard. Sterbeziffer *	932.5	912.7	920.6	910.0	872.7	901.8	845.5	851.6	833.7	822.4	907.3	831.8	843.5
Rang	1	3	2	4	7	6	9	8	11	13	5	12	10

Wie Pierre Chaillot für Frankreich gezeigt hat, ist die Realität der Covid-Sterblichkeit in der Schweiz nicht das dramatische Bild, das von Politikern und den Medien gezeichnet wird. Hier sehen Sie die Sterblichkeitsraten in % nach Altersgruppen von 5 Jahren – Von 2010-2022, um einen Vergleich und Abstand zu haben. Die drei Jahre der Pandemie auf der rechten Seite sind rot umrandet. Und diese Tabelle mit den Sterblichkeitsraten berücksichtigt die Bevölkerungsentwicklung in jeder Altersgruppe. Die schlechteste Rate in jeder Gruppe ist rot hervorgehoben und die beste grün.

verstorben	2010	2011	2012	2013	2014	2015	2016	2017	2018	2019	2020	2021	2022
Sterberate	Berechnung der prozentualen Sterberaten pro Altersgruppe und Kalenderjahr										Pandemie-Jahre		
0-4 Jahre	0.087%	0.087%	0.083%	0.087%	0.088%	0.092%	0.080%	0.082%	0.077%	0.073%	0.082%	0.073%	0.081%
5-9 Jahre	0.007%	0.011%	0.008%	0.009%	0.005%	0.008%	0.005%	0.006%	0.007%	0.009%	0.007%	0.007%	0.008%
10-14 Jahre	0.008%	0.009%	0.007%	0.007%	0.008%	0.009%	0.008%	0.007%	0.010%	0.006%	0.009%	0.008%	0.006%
15-19 Jahre	0.025%	0.020%	0.022%	0.024%	0.021%	0.021%	0.017%	0.019%	0.023%	0.018%	0.021%	0.021%	0.021%
20-24 Jahre	0.029%	0.038%	0.032%	0.029%	0.025%	0.032%	0.027%	0.028%	0.031%	0.031%	0.034%	0.027%	0.029%
25-29 Jahre	0.035%	0.035%	0.031%	0.035%	0.033%	0.032%	0.036%	0.032%	0.030%	0.029%	0.030%	0.037%	0.029%
30-34 Jahre	0.043%	0.045%	0.041%	0.038%	0.040%	0.038%	0.036%	0.038%	0.033%	0.033%	0.033%	0.039%	0.037%
35-39 Jahre	0.057%	0.056%	0.053%	0.055%	0.051%	0.050%	0.050%	0.052%	0.050%	0.044%	0.053%	0.043%	0.051%
40-44 Jahre	0.096%	0.088%	0.088%	0.084%	0.083%	0.077%	0.075%	0.073%	0.076%	0.073%	0.067%	0.067%	0.074%
45-49 Jahre	0.156%	0.162%	0.142%	0.146%	0.125%	0.135%	0.123%	0.125%	0.127%	0.110%	0.121%	0.110%	0.114%
50-54 Jahre	0.255%	0.241%	0.248%	0.234%	0.230%	0.223%	0.216%	0.210%	0.205%	0.190%	0.199%	0.197%	0.187%
55-59 Jahre	0.420%	0.389%	0.403%	0.402%	0.384%	0.371%	0.351%	0.358%	0.339%	0.322%	0.323%	0.336%	0.320%
60-64 Jahre	0.659%	0.627%	0.644%	0.617%	0.587%	0.606%	0.577%	0.550%	0.566%	0.541%	0.554%	0.568%	0.523%
65-69 Jahre	1.029%	1.016%	0.995%	0.967%	0.965%	0.966%	0.924%	0.906%	0.897%	0.885%	0.900%	0.915%	0.897%
70-74 Jahre	1.57%	1.55%	1.55%	1.56%	1.50%	1.55%	1.47%	1.45%	1.42%	1.47%	1.54%	1.47%	1.41%
75-79 Jahre	2.79%	2.72%	2.64%	2.59%	2.51%	2.63%	2.42%	2.49%	2.43%	2.41%	2.63%	2.49%	2.45%
80-84 Jahre	5.38%	5.12%	5.18%	5.10%	4.88%	4.99%	4.76%	4.69%	4.62%	4.54%	5.04%	4.51%	4.68%
85-89 Jahre	10.5%	10.3%	10.3%	10.4%	10.0%	10.1%	9.6%	9.7%	9.4%	9.2%	10.7%	9.2%	9.6%
90+ Jahre	24.1%	24.1%	25.0%	24.7%	23.3%	25.0%	23.0%	23.6%	23.1%	22.9%	25.9%	23.1%	24.1%
standard. Sterbeziffer *	932.5	912.7	920.6	910.0	872.7	901.8	845.5	851.6	833.7	822.4	907.3	831.8	843.5
Rang	1	3	2	4	7	6	9	8	11	13	5	12	10

Folgen Sie bitte dem Pfeil, im 1. Jahr Covid, in der Schweiz hatten nur die 85+ die schlechteste Sterblichkeitsrate seit 2010. Und es war für die 90+ gleich nach der Rate von 2019, die Sie gleich links sehen, grün, die die niedrigste in diesem Zeitraum war. Also auch ein möglicher Aufholeffekt bei den Schwächeren. Die Isolationsbedingungen, die verzögerte oder sogar unterlassene, nicht nur verzögerte Pflege aufgrund der Maßnahmen haben sicherlich dazu beigetragen und die Lebensbedingungen in den Einrichtungen haben einige sogar dazu veranlasst, keine Nahrung mehr zu sich zu nehmen... (Dies wird insbesondere in einem kantonalen Bericht aus Freiburg, berichtet).

Schweizer Zahlen

verstorben	2010	2011	2012	2013	2014	2015	2016	2017	2018	2019	2020	2021	2022
Sterberate	Berechnung der prozentualen Sterberaten pro Altersgruppe und Kalenderjahr										Pandemie-Jahre		
0-4 Jahre	0.087%	0.087%	0.083%	0.087%	0.088%	0.092%	0.080%	0.082%	0.077%	0.073%	0.082%	0.073%	0.081%
5-9 Jahre	0.007%	0.011%	0.008%	0.009%	0.005%	0.008%	0.005%	0.006%	0.007%	0.009%	0.007%	0.007%	0.008%
10-14 Jahre	0.008%	0.009%	0.007%	0.007%	0.008%	0.009%	0.008%	0.007%	0.010%	0.006%	0.009%	0.008%	0.006%
15-19 Jahre	0.025%	0.020%	0.022%	0.024%	0.021%	0.021%	0.017%	0.019%	0.023%	0.018%	0.021%	0.021%	0.021%
20-24 Jahre	0.029%	0.038%	0.032%	0.029%	0.025%	0.032%	0.027%	0.028%	0.031%	0.031%	0.034%	0.027%	0.029%
25-29 Jahre	0.035%	0.035%	0.031%	0.035%	0.033%	0.032%	0.036%	0.032%	0.030%	0.029%	0.030%	0.037%	0.029%
30-34 Jahre	0.043%	0.045%	0.041%	0.038%	0.040%	0.038%	0.036%	0.038%	0.033%	0.033%	0.033%	0.039%	0.037%
35-39 Jahre	0.057%	0.056%	0.053%	0.055%	0.051%	0.050%	0.050%	0.052%	0.050%	0.044%	0.053%	0.043%	0.051%
40-44 Jahre	0.096%	0.088%	0.088%	0.084%	0.083%	0.077%	0.075%	0.073%	0.076%	0.073%	0.067%	0.067%	0.074%
45-49 Jahre	0.156%	0.162%	0.142%	0.146%	0.125%	0.135%	0.123%	0.125%	0.127%	0.110%	0.121%	0.110%	0.114%
50-54 Jahre	0.255%	0.241%	0.248%	0.234%	0.230%	0.223%	0.216%	0.210%	0.205%	0.190%	0.199%	0.197%	0.187%
55-59 Jahre	0.420%	0.389%	0.403%	0.402%	0.384%	0.371%	0.351%	0.358%	0.339%	0.322%	0.323%	0.336%	0.320%
60-64 Jahre	0.659%	0.627%	0.644%	0.617%	0.587%	0.606%	0.577%	0.550%	0.566%	0.541%	0.554%	0.568%	0.523%
65-69 Jahre	1.029%	1.016%	0.995%	0.967%	0.965%	0.966%	0.924%	0.906%	0.897%	0.885%	0.900%	0.915%	0.897%
70-74 Jahre	1.57%	1.55%	1.55%	1.56%	1.50%	1.55%	1.47%	1.45%	1.42%	1.47%	1.54%	1.47%	1.41%
75-79 Jahre	2.79%	2.72%	2.64%	2.59%	2.51%	2.63%	2.42%	2.49%	2.43%	2.41%	2.63%	2.49%	2.45%
80-84 Jahre	5.38%	5.12%	5.18%	5.10%	4.88%	4.99%	4.76%	4.69%	4.62%	4.54%	5.04%	4.51%	4.68%
85-89 Jahre	10.5%	10.3%	10.3%	10.4%	10.0%	10.1%	9.6%	9.7%	9.4%	9.2%	10.7%	9.2%	9.6%
90+ Jahre	24.1%	24.1%	25.0%	24.7%	23.3%	25.0%	23.0%	23.6%	23.1%	22.9%	25.9%	23.1%	24.1%
standard. Sterbeziffer *	932.5	912.7	920.6	910.0	872.7	901.8	845.5	851.6	833.7	822.4	907.3	831.8	843.5
Rang	1	3	2	4	7	6	9	8	11	13	5	12	10

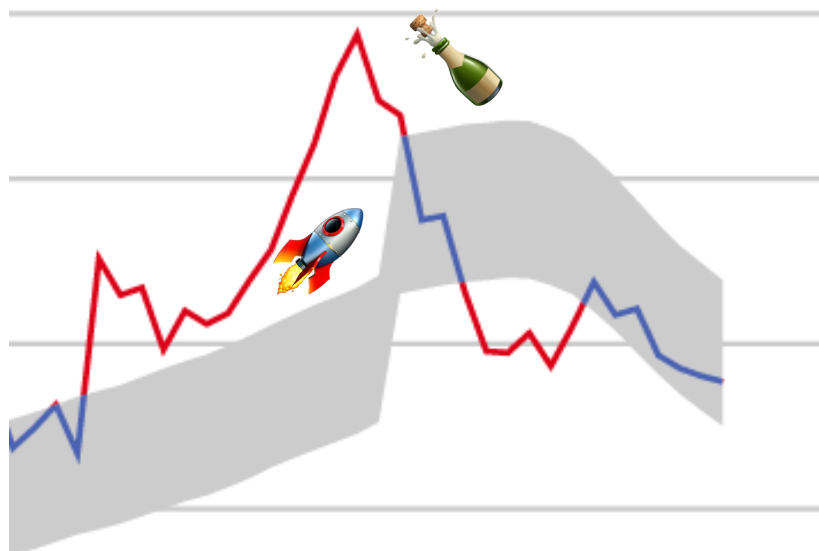
Im Folgejahr 2020, wiesen nur die 25 29-Jährigen die schlechteste Sterblichkeitsrate auf (1 Tausendstel über der von 2016). Dies ist jedoch nicht auf Covid zurückzuführen. Ich werde später darauf zurückkommen.

verstorben	2010	2011	2012	2013	2014	2015	2016	2017	2018	2019	2020	2021	2022
Sterberate	Berechnung der prozentualen Sterberaten pro Altersgruppe und Kalenderjahr										Pandemie-Jahre		
0-4 Jahre	0.087%	0.087%	0.083%	0.087%	0.088%	0.092%	0.080%	0.082%	0.077%	0.073%	0.082%	0.073%	0.081%
5-9 Jahre	0.007%	0.011%	0.008%	0.009%	0.005%	0.008%	0.005%	0.006%	0.007%	0.009%	0.007%	0.007%	0.008%
10-14 Jahre	0.008%	0.009%	0.007%	0.007%	0.008%	0.009%	0.008%	0.007%	0.010%	0.006%	0.009%	0.008%	0.006%
15-19 Jahre	0.025%	0.020%	0.022%	0.024%	0.021%	0.021%	0.017%	0.019%	0.023%	0.018%	0.021%	0.021%	0.021%
20-24 Jahre	0.029%	0.038%	0.032%	0.029%	0.025%	0.032%	0.027%	0.028%	0.031%	0.031%	0.034%	0.027%	0.029%
25-29 Jahre	0.035%	0.035%	0.031%	0.035%	0.033%	0.032%	0.036%	0.032%	0.030%	0.029%	0.030%	0.037%	0.029%
30-34 Jahre	0.043%	0.045%	0.041%	0.038%	0.040%	0.038%	0.036%	0.038%	0.033%	0.033%	0.033%	0.039%	0.037%
35-39 Jahre	0.057%	0.056%	0.053%	0.055%	0.051%	0.050%	0.050%	0.052%	0.050%	0.044%	0.053%	0.043%	0.051%
40-44 Jahre	0.096%	0.088%	0.088%	0.084%	0.083%	0.077%	0.075%	0.073%	0.076%	0.073%	0.067%	0.067%	0.074%
45-49 Jahre	0.156%	0.162%	0.142%	0.146%	0.125%	0.135%	0.123%	0.125%	0.127%	0.110%	0.121%	0.110%	0.114%
50-54 Jahre	0.255%	0.241%	0.248%	0.234%	0.230%	0.223%	0.216%	0.210%	0.205%	0.190%	0.199%	0.197%	0.187%
55-59 Jahre	0.420%	0.389%	0.403%	0.402%	0.384%	0.371%	0.351%	0.358%	0.339%	0.322%	0.323%	0.336%	0.320%
60-64 Jahre	0.659%	0.627%	0.644%	0.617%	0.587%	0.606%	0.577%	0.550%	0.566%	0.541%	0.554%	0.568%	0.523%
65-69 Jahre	1.029%	1.016%	0.995%	0.967%	0.965%	0.966%	0.924%	0.906%	0.897%	0.885%	0.900%	0.915%	0.897%
70-74 Jahre	1.57%	1.55%	1.55%	1.56%	1.50%	1.55%	1.47%	1.45%	1.42%	1.47%	1.54%	1.47%	1.41%
75-79 Jahre	2.79%	2.72%	2.64%	2.59%	2.51%	2.63%	2.42%	2.49%	2.43%	2.41%	2.63%	2.49%	2.45%
80-84 Jahre	5.38%	5.12%	5.18%	5.10%	4.88%	4.99%	4.76%	4.69%	4.62%	4.54%	5.04%	4.51%	4.68%
85-89 Jahre	10.5%	10.3%	10.3%	10.4%	10.0%	10.1%	9.6%	9.7%	9.4%	9.2%	10.7%	9.2%	9.6%
90+ Jahre	24.1%	24.1%	25.0%	24.7%	23.3%	25.0%	23.0%	23.6%	23.1%	22.9%	25.9%	23.1%	24.1%
standard. Sterbeziffer *	932.5	912.7	920.6	910.0	872.7	901.8	845.5	851.6	833.7	822.4	907.3	831.8	843.5
Rang	1	3	2	4	7	6	9	8	11	13	5	12	10

Und in 2022 in der Schweiz: kein Rot!

verstorben	2010	2011	2012	2013	2014	2015	2016	2017	2018	2019	2020	2021	2022
Sterberate	Berechnung der prozentualen Sterberaten pro Altersgruppe und Kalenderjahr										Pandemie-Jahre		
0-4 Jahre	0.087%	0.087%	0.083%	0.087%	0.088%	0.092%	0.080%	0.082%	0.077%	0.073%	0.082%	0.073%	0.081%
5-9 Jahre	0.007%	0.011%	0.008%	0.009%	0.005%	0.008%	0.005%	0.006%	0.007%	0.009%	0.007%	0.007%	0.008%
10-14 Jahre	0.008%	0.009%	0.007%	0.007%	0.008%	0.009%	0.008%	0.007%	0.010%	0.006%	0.009%	0.008%	0.006%
15-19 Jahre	0.025%	0.020%	0.022%	0.024%	0.021%	0.021%	0.017%	0.019%	0.023%	0.018%	0.021%	0.021%	0.021%
20-24 Jahre	0.029%	0.038%	0.032%	0.029%	0.025%	0.032%	0.027%	0.028%	0.031%	0.031%	0.034%	0.027%	0.029%
25-29 Jahre	0.035%	0.035%	0.031%	0.035%	0.033%	0.032%	0.036%	0.032%	0.030%	0.029%	0.030%	0.037%	0.029%
30-34 Jahre	0.043%	0.045%	0.041%	0.038%	0.040%	0.038%	0.036%	0.038%	0.033%	0.033%	0.033%	0.039%	0.037%
35-39 Jahre	0.057%	0.056%	0.053%	0.055%	0.051%	0.050%	0.050%	0.052%	0.050%	0.044%	0.053%	0.043%	0.051%
40-44 Jahre	0.096%	0.088%	0.088%	0.084%	0.083%	0.077%	0.075%	0.073%	0.076%	0.073%	0.067%	0.067%	0.074%
45-49 Jahre	0.156%	0.162%	0.142%	0.146%	0.125%	0.135%	0.123%	0.125%	0.127%	0.110%	0.121%	0.110%	0.114%
50-54 Jahre	0.255%	0.241%	0.248%	0.234%	0.230%	0.223%	0.216%	0.210%	0.205%	0.190%	0.199%	0.197%	0.187%
55-59 Jahre	0.420%	0.389%	0.403%	0.402%	0.384%	0.371%	0.351%	0.358%	0.339%	0.322%	0.323%	0.336%	0.320%
60-64 Jahre	0.659%	0.627%	0.644%	0.617%	0.587%	0.606%	0.577%	0.550%	0.566%	0.541%	0.554%	0.568%	0.523%
65-69 Jahre	1.029%	1.016%	0.995%	0.967%	0.965%	0.966%	0.924%	0.906%	0.897%	0.885%	0.900%	0.915%	0.897%
70-74 Jahre	1.57%	1.55%	1.55%	1.56%	1.50%	1.55%	1.47%	1.45%	1.42%	1.47%	1.54%	1.47%	1.41%
75-79 Jahre	2.79%	2.72%	2.64%	2.59%	2.51%	2.63%	2.42%	2.49%	2.43%	2.41%	2.63%	2.49%	2.45%
80-84 Jahre	5.38%	5.12%	5.18%	5.10%	4.88%	4.99%	4.76%	4.69%	4.62%	4.54%	5.04%	4.51%	4.68%
85-89 Jahre	10.5%	10.3%	10.3%	10.4%	10.0%	10.1%	9.6%	9.7%	9.4%	9.2%	10.7%	9.2%	9.6%
90+ Jahre	24.1%	24.1%	25.0%	24.7%	23.3%	25.0%	23.0%	23.6%	23.1%	22.9%	25.9%	23.1%	24.1%
standard. Sterbeziffer *	932.5	912.7	920.6	910.0	872.7	901.8	845.5	851.6	833.7	822.4	907.3	831.8	843.5
Rang	1	3	2	4	7	6	9	8	11	13	5	12	10

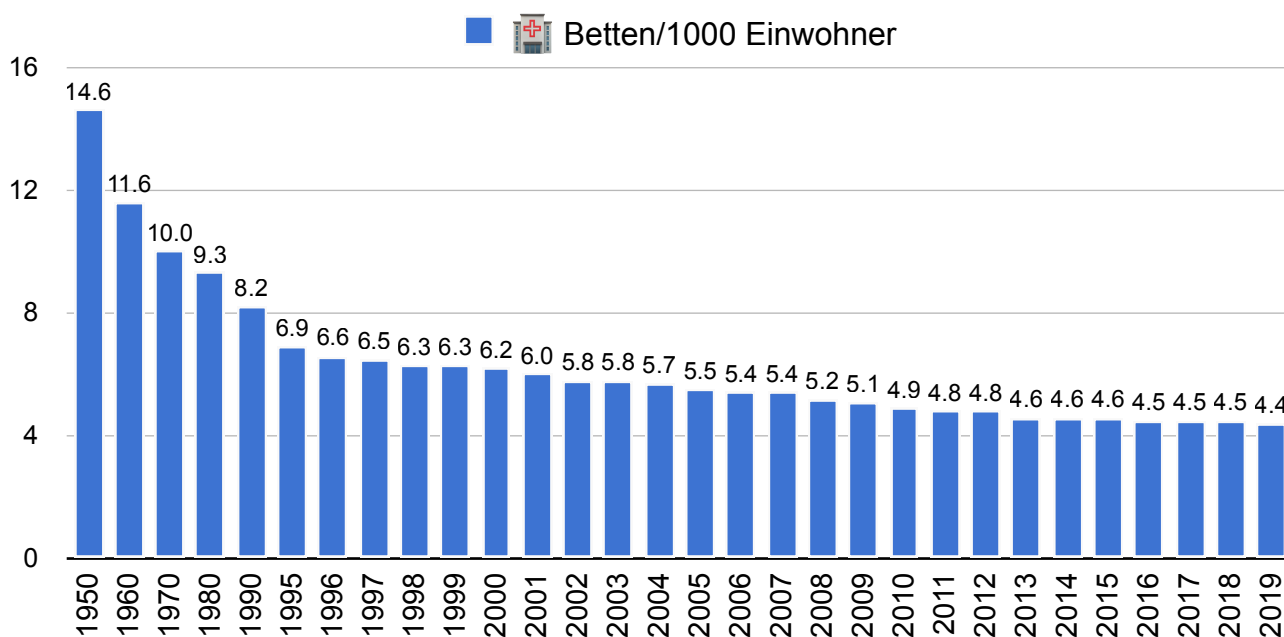
Wenn man einen Blick zurückwirft, war 2010 das schlechteste Jahr für 10 Gruppen, während 2021 und 2022 die besten Jahre für 5 Gruppen sind. Wenn ein Gesundheitsnotstand hätte ausgerufen werden müssen, dann hätte es das Jahr 2010 sein müssen!



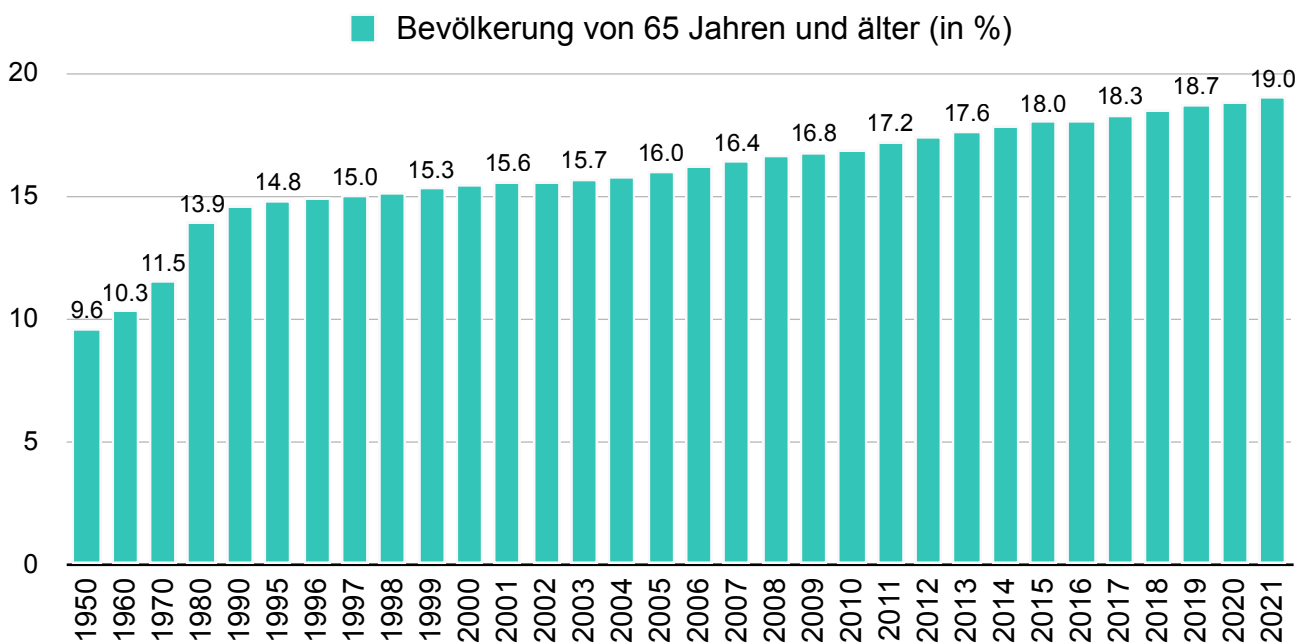
Das Bundesamt für Statistik hat uns während der gesamten Pandemie mit überhöhten Sterblichkeitsraten gefüttert, ohne das Wachstum der älteren Bevölkerung zu berücksichtigen, also nicht mit Sterblichkeitsraten, sondern mit rohen Zahlen, und wenn die ältere Bevölkerung wächst, kommt es zwangsläufig zu einem bestimmten Zeitpunkt zu Todesfällen.

In ihrer Datei addiert das Bundesamt für Statistik die Übersterblichkeit Zahlen, **ohne jemals die Untersterblichkeit abzuziehen**. Und das ist es, was die Medien verwenden!

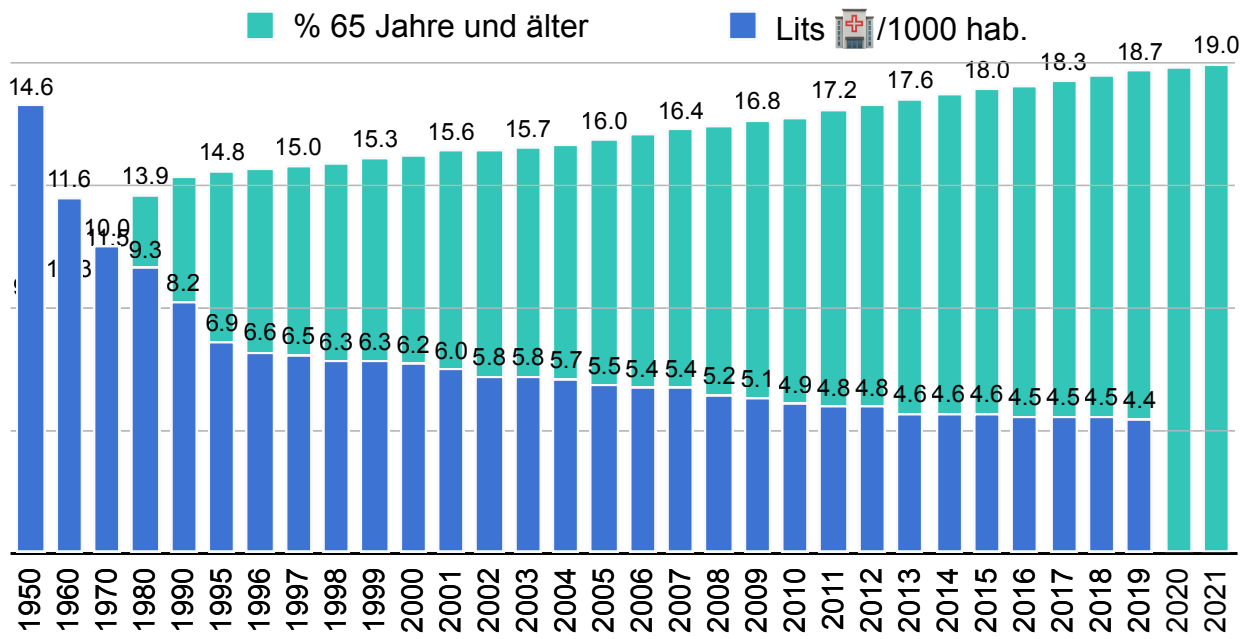
Auf dieser kleinen Grafik, habe ich nur die Rakete und den Champagner hinzugefügt - es ist die Grafik der Sterblichkeitsvorhersagen, so wie sie während der gesamten Pandemie dargestellt wurde. Und für Neujahr 2023, haben sie das Modell um einen Schlag erhöht! Es ist der graue Bereich, den sie als Sterblichkeit prognostiziert haben, der plötzlich um 10% ansteigt. Dies ist jedoch eine große Bastelei. Selbst wenn die Sterblichkeit durch diese Anpassung besser mit der Bevölkerungsentwicklung übereinstimmt. Das ist der Grund, warum diese Art von Modell wirklich unzuverlässig ist und warum es besser ist, die Sterblichkeit in % pro Altersgruppe zu verwenden!



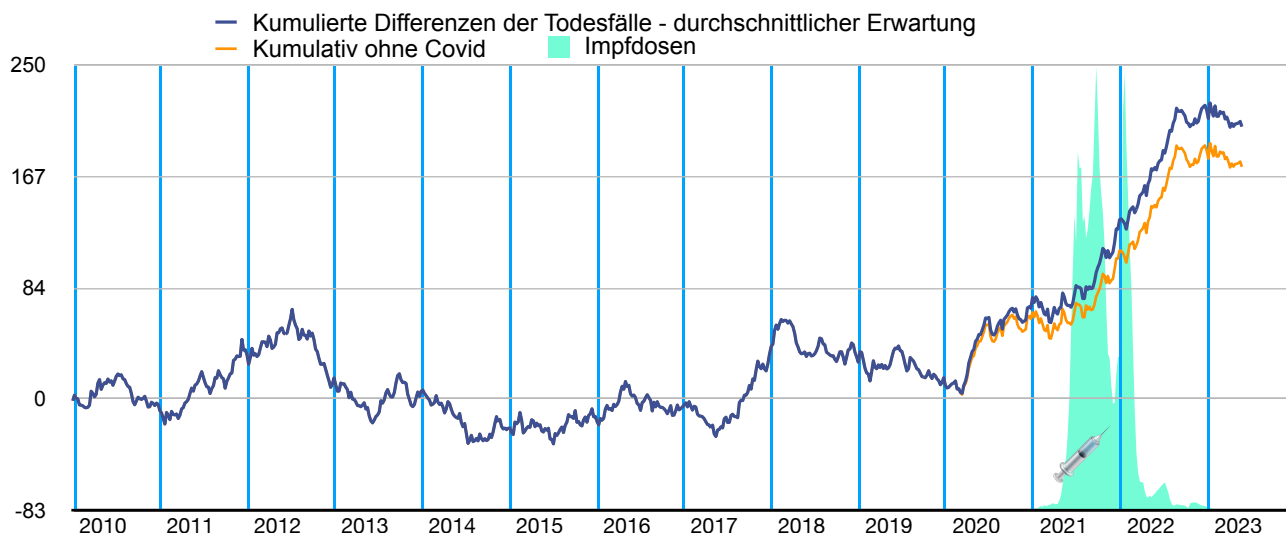
Auch hier nimmt die Zahl der Krankenhausbetten ab, sie ist seit 1959 um den Faktor 3,3 gesunken.



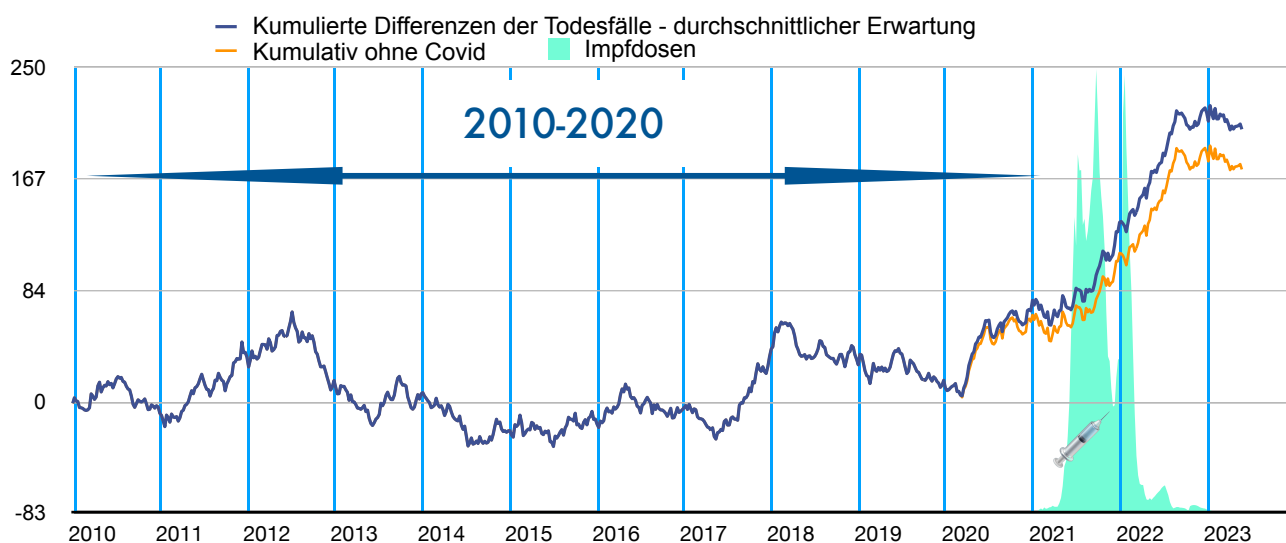
Während sich der Prozentsatz der 65 + Jährigen und Älteren fast verdoppelt hat.



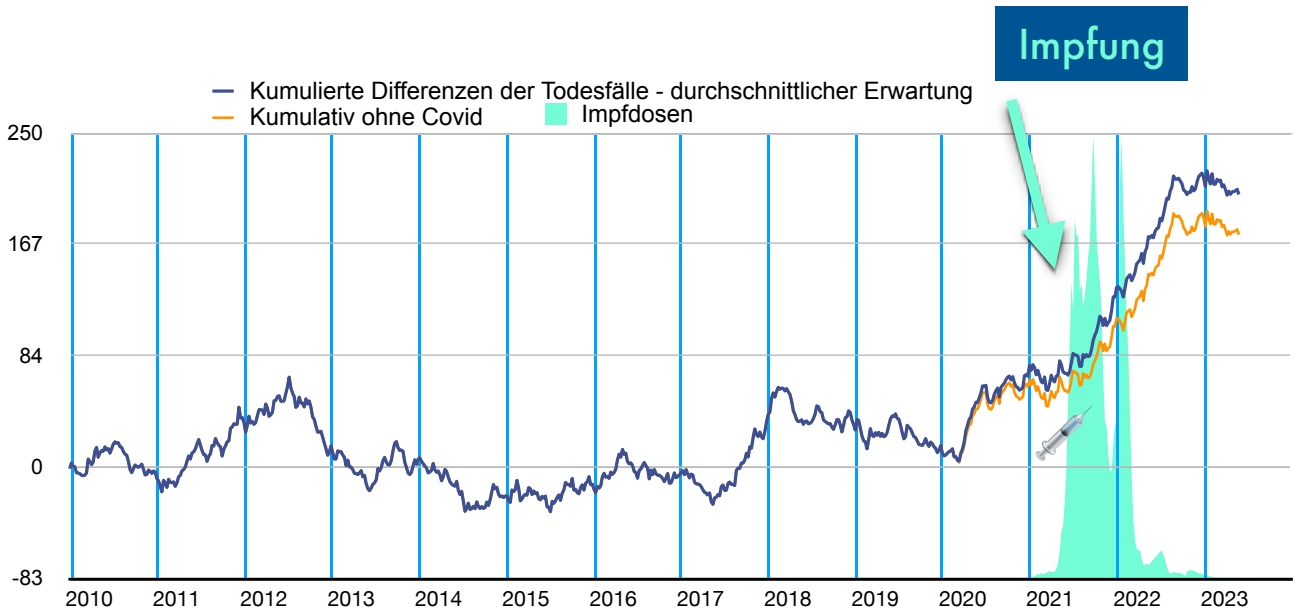
Man fragt sich, wann die Entscheidungsträger den Widerspruch erkennen werden!



Ich erwähnte bereits die Sterblichkeit der 25-29-Jährigen im Jahr 2021. Wir werden dies etwas detaillierter betrachten. Hier eine etwas größere Gruppe, 20-39 Jahre seit 2010. Die blaue Kurve zeigt die Abweichungen von den Todesfällen, die im Prognosemodell des Bundesamtes vorhergesagt wurden; wenn sie also ansteigt, handelt es sich um Übersterblichkeit im Vergleich zu dem, was sie vorhergesagt hatten, und wenn sie abfällt, um Untersterblichkeit. Die Abweichungen sind gering, da dies nicht die Altersgruppe ist, in der die Sterblichkeit erwartet wird.

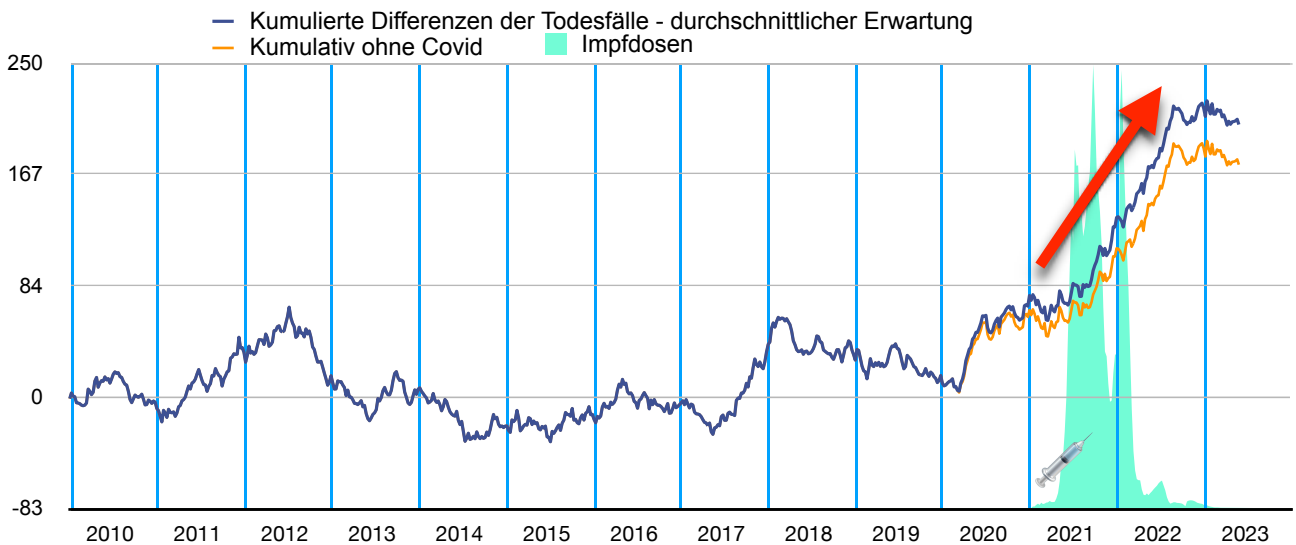


Trotz der Abweichungen bleibt der Bereich bis 2020, einschließlich des ersten Covid-Jahres, gleich.



Im Jahr 2021 haben Sie die Impfdosen für diese Altersgruppe in türkis.

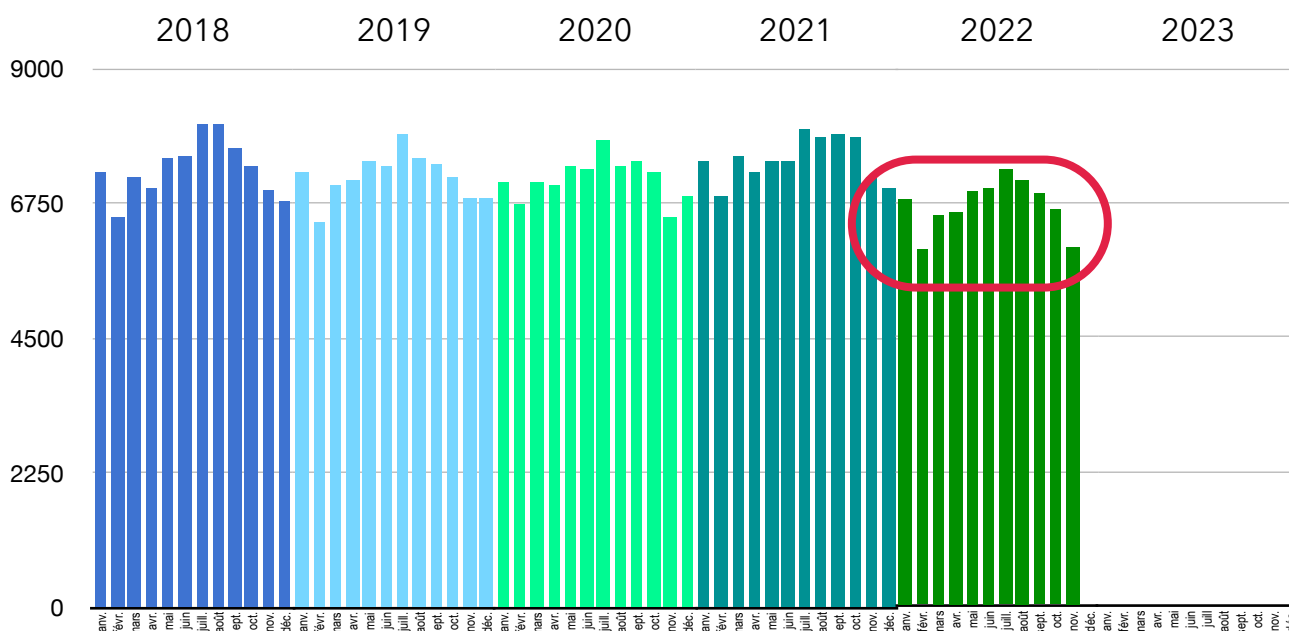
Sterblichkeit // Impfstoff und nachher



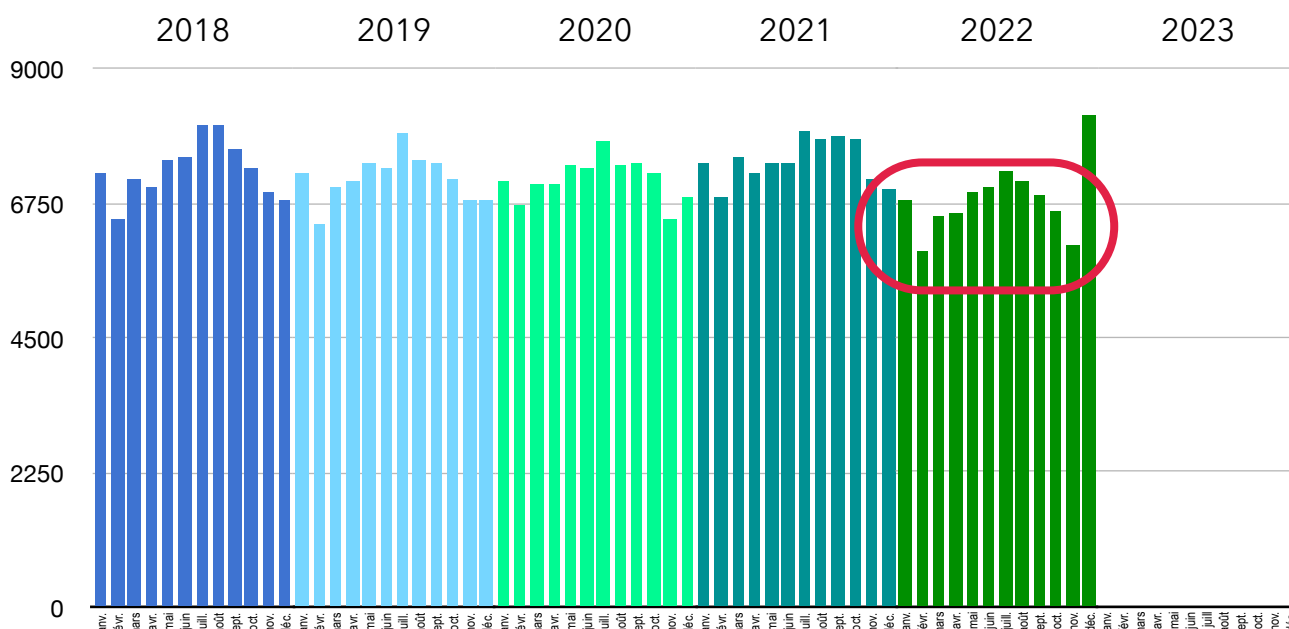
Von diesem Zeitpunkt an steigt die kumulative Sterblichkeit stark an und stabilisiert sich erst in der zweiten Hälfte des Jahres 2022. Die Impfung war bei diesen Jugendlichen danach anekdotisch. Die visuelle zeitliche Korrelation ist in jedem Fall sehr deutlich.

3. Rückgang der Geburten

Sie haben sicher schon davon gehört, aber wie sieht es in der Schweiz aus?

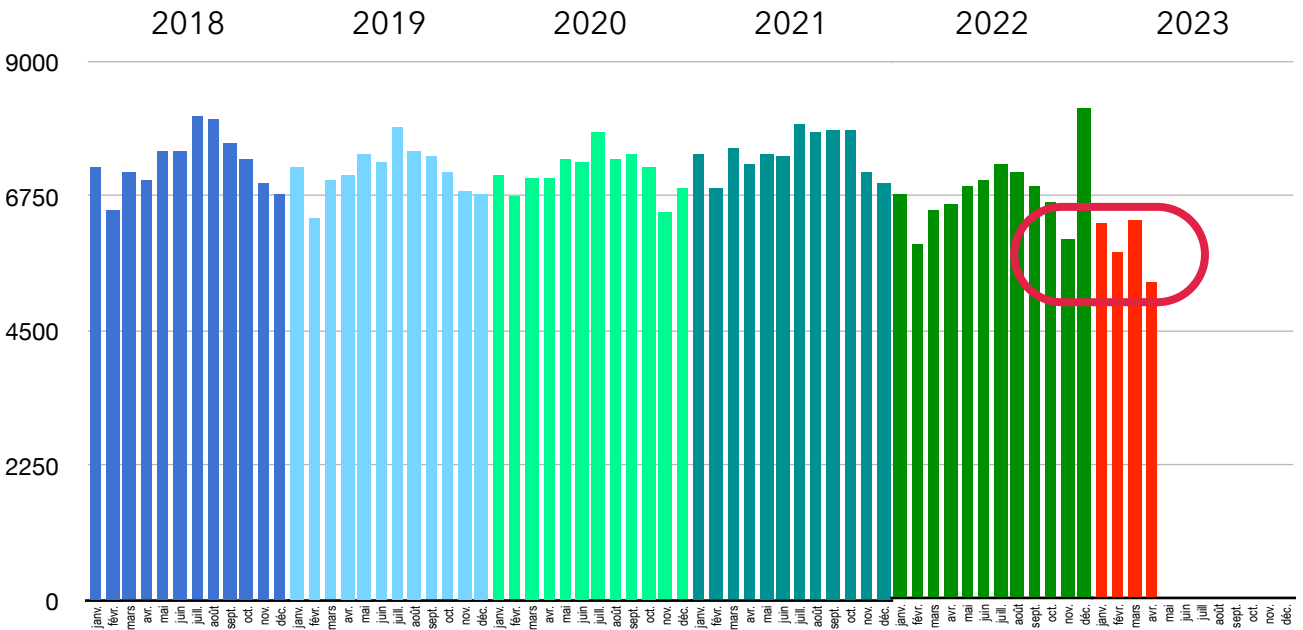


Ich habe also die ersten 11 Monate von der Gesamtzahl abgezogen, was zu diesem Mount Everest führt. Es scheint, als hätten alle Störche in der Schweiz Halt gemacht! Nun, diese Werte werden sicherlich über mehrere Monate verteilt sein, aber die Gesamtzahl der Geburten ist immer noch 8,5% niedriger als im Jahr 2020 (und 6% niedriger als der Durchschnitt 2018-2021). Dies, obwohl die Anzahl der Frauen im Alter von 18-49 Jahren in diesem Zeitraum nicht gesunken ist, sondern sogar leicht gestiegen ist.

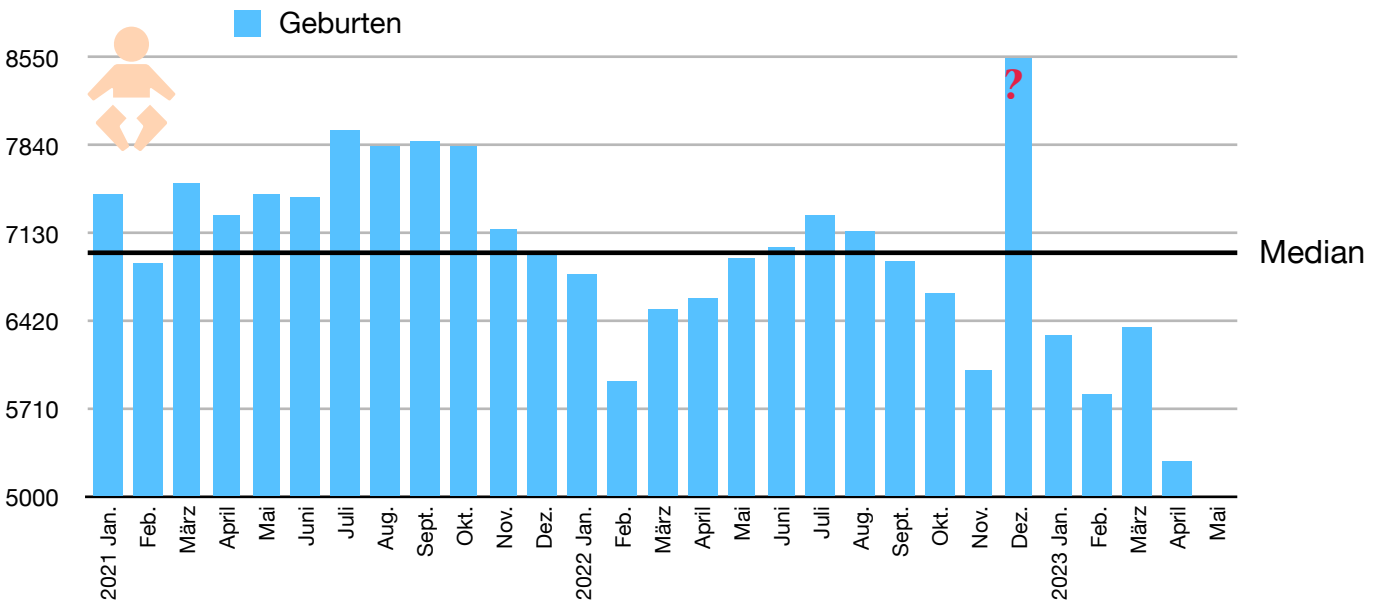


Ich habe also die ersten 11 Monate von der Gesamtzahl abgezogen, was zu diesem Mount Everest führt. Es scheint, als hätten alle Störche in der Schweiz Halt gemacht! Nun, diese Werte werden sicherlich über mehrere Monate verteilt sein, aber die Gesamtzahl der Geburten ist immer noch 8,5% niedriger als im Jahr 2020 (und 6% niedriger als der

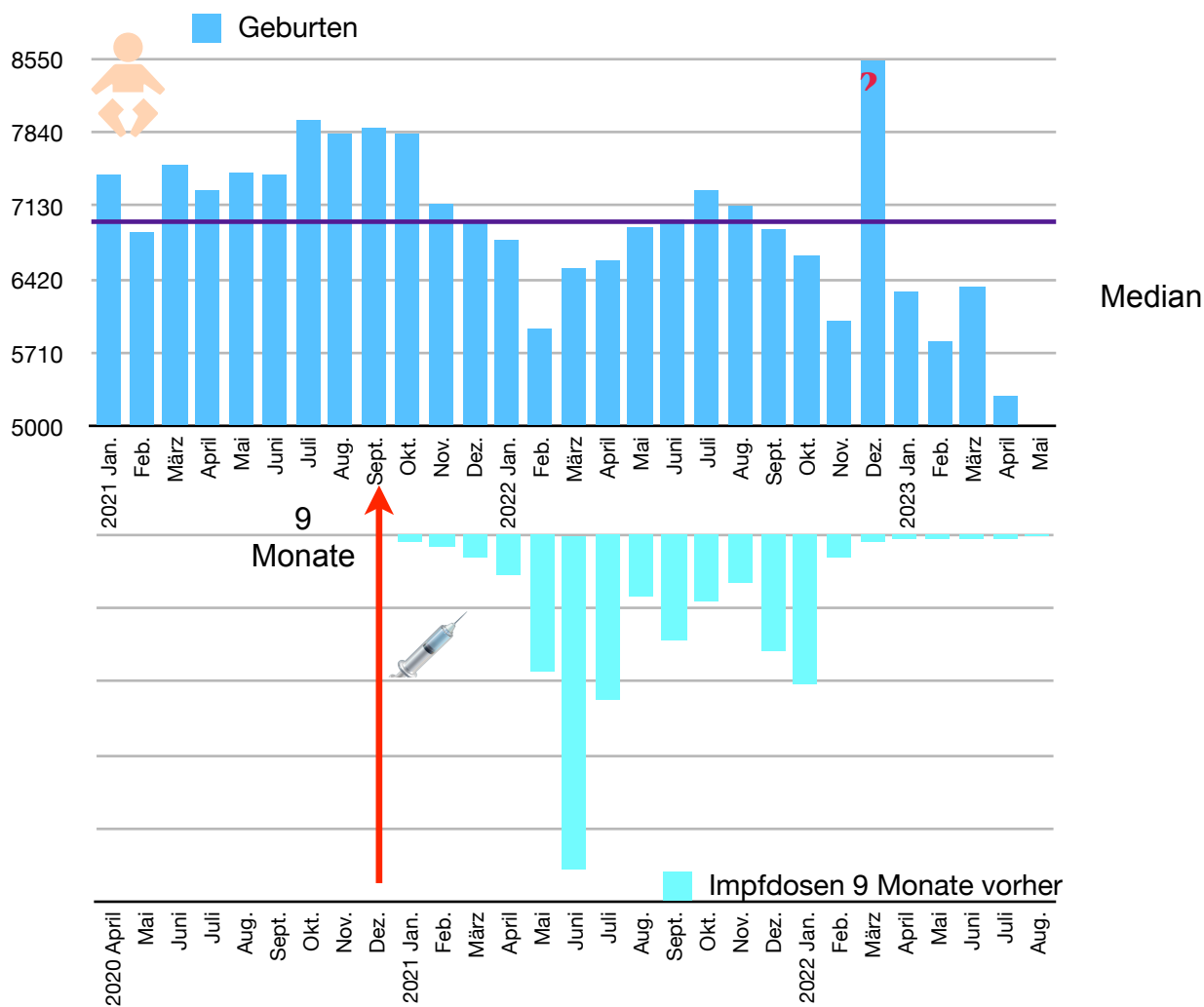
Durchschnitt 2018-2021). Dies, obwohl die Anzahl der Frauen im Alter von 18-49 Jahren in diesem Zeitraum nicht gesunken ist, sondern sogar leicht gestiegen ist.



Und im Jahr 2023 beginnen Januar bis April noch niedriger!

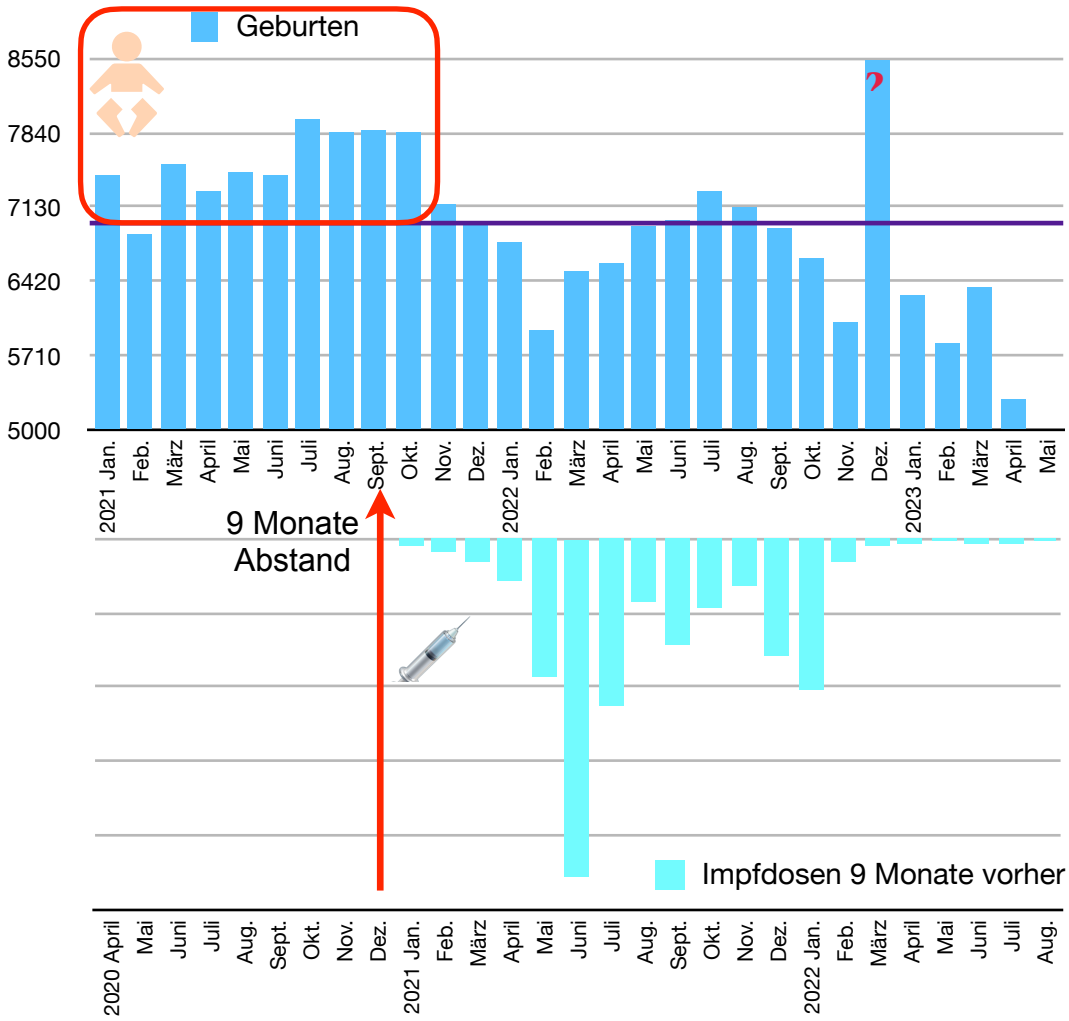


Gibt es eine zeitliche Korrelation zwischen dem Rückgang der Geburten und den Impfstoffdosen? Sehen wir uns das in Etappen an. Oben sehen Sie die Geburten von 2021 bis März 23, mit der Spitze im Dezember, die ich aus der Differenz der Jahressumme und den veröffentlichten Monatsdaten von Januar bis November extrapoliert habe.

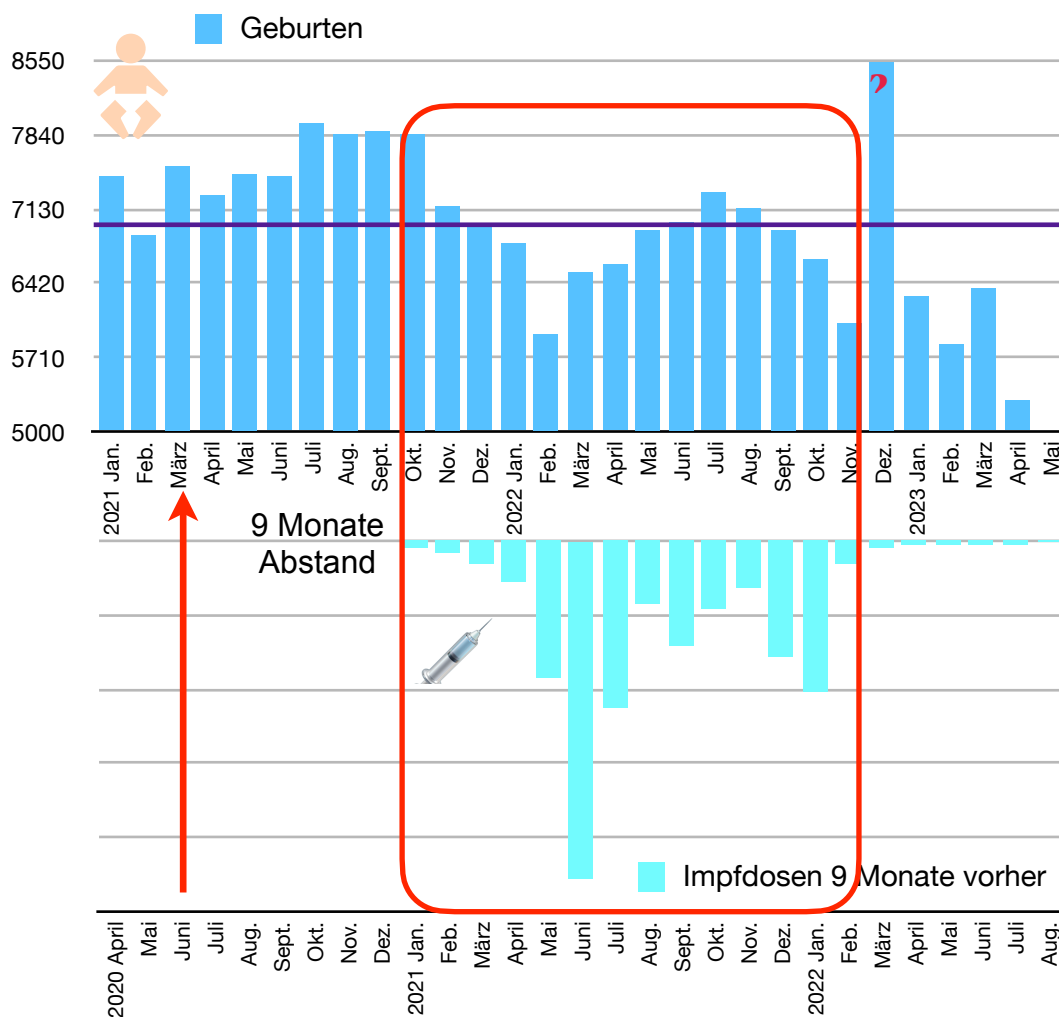


Unten sind die Impfdosen für die 20-49-Jährigen hinzugefügt, die mit den Geburten in Beziehung gesetzt wurden. Die Impfdosen sind also so verschoben, dass die Dosen, die Sie neun Monate vorher erhalten haben, mit den Geburten übereinstimmen. Denn 9 Monate ist die Dauer einer Schwangerschaft.

Schweizer Zahlen

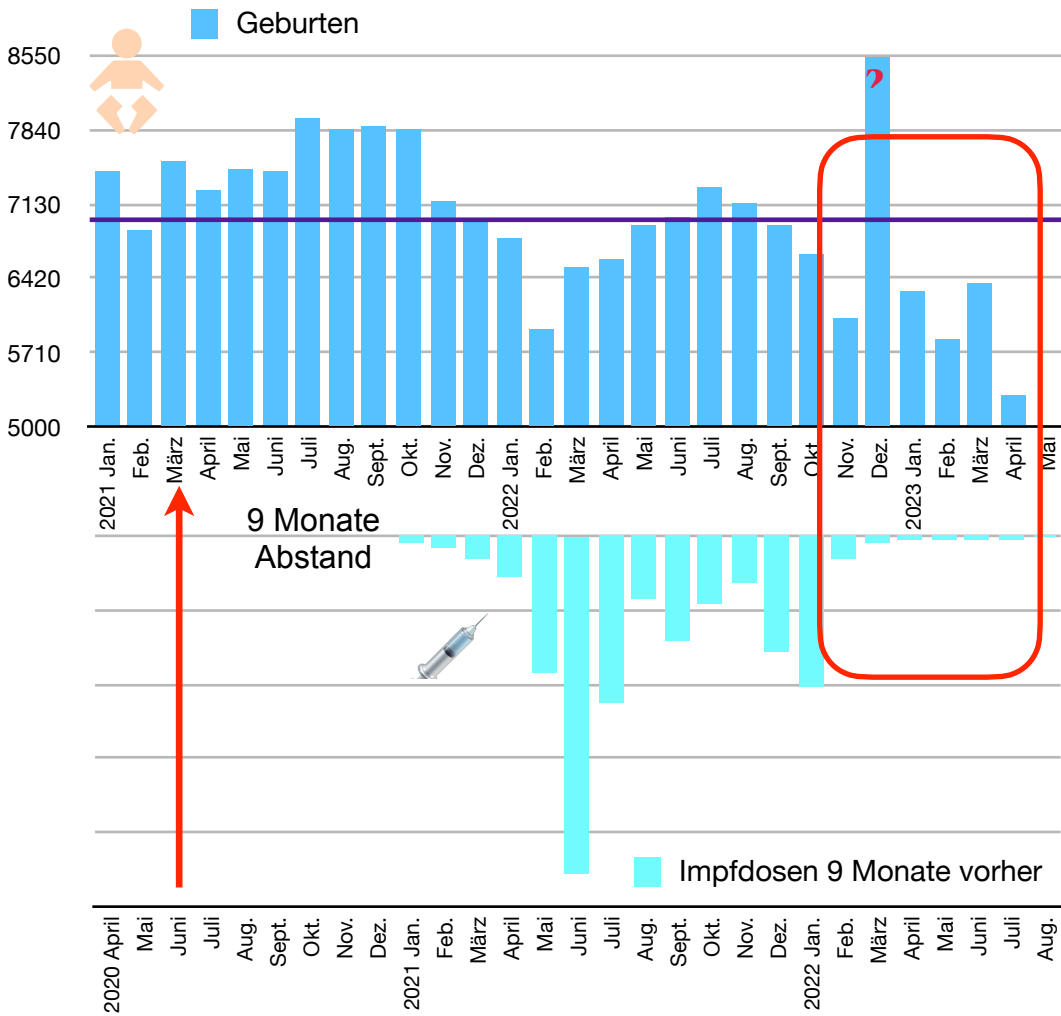


Vor Beginn der Impfkampagne ist kein Rückgang der Geburtenrate zu beobachten.



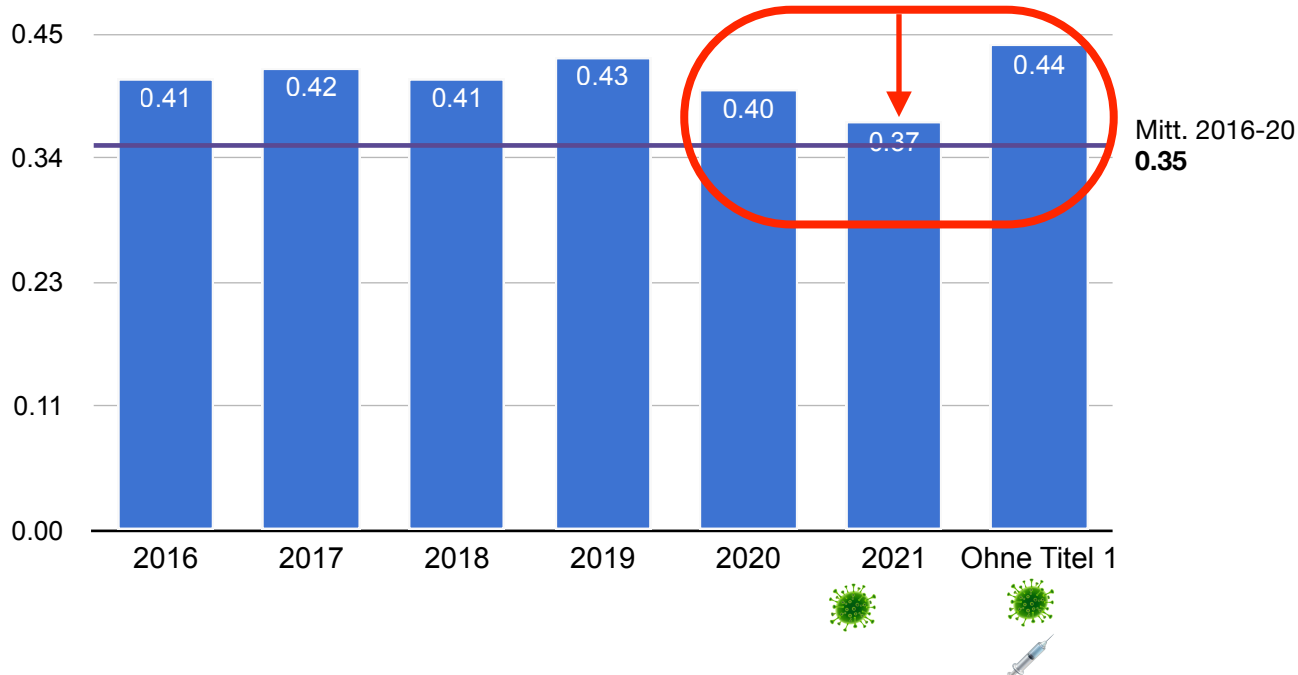
Der Rückgang wird dann 9 Monate nach der Kampagne stärker, die zeitliche Korrelation ist sichtbar.

Schweizer Zahlen



Und mit Ausnahme der Spitze des geschätzten Wertes im Dezember hält er an, auch nach dem Rückgang der Impfraten.

Totgeburtenrate [%]



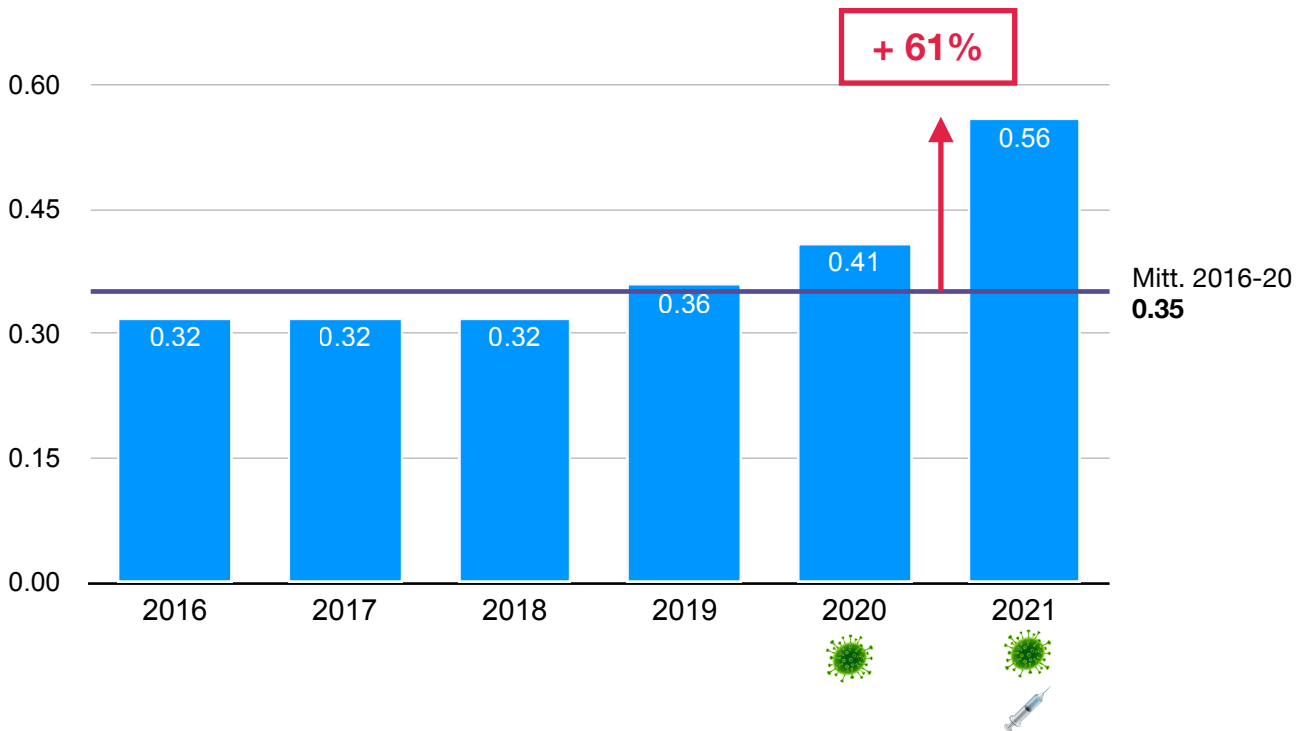
Es wurde viel von Totgeburten gesprochen, also habe ich mir die Rate angesehen.

Die Definitionen variieren von Land zu Land, in der Schweiz sind es **Totgeburten ab fünfeinhalb Monaten Schwangerschaft**. Im Jahr 2021 war die Rate nur geringfügig höher als der Durchschnitt.

Das Argument der Risiken von Covid für die Mutter und den Fötus wurde vielfach angeführt, um schwangere Frauen zur Impfung zu bewegen.

Im Jahr 2020, dem ersten Jahr des Covid, sank die Rate jedoch, was eine dramatische Auswirkung des Covid in diesem Fall ausschließt.

IVF: Totgeburten, in % der Kinder, die nach der Behandlung mit In-vitro-Methoden geboren wurden



Andererseits stieg die Zahl der Totgeburten von in vitro gezeugten Kindern stark an, um 61%. Sie war von 2016 bis 2019 unter der globalen Totgeburtenrate.

Man muss bis 2004 zurückgehen, um eine höhere Rate zu finden. Es gab bereits einen leichten Anstieg im Jahr 2020, aber der Anstieg im Jahr 2021 ist sehr stark, er weicht wirklich vom Trend ab.

Und es ist sehr wahrscheinlich, dass die Frauen, die diese Protokolle befolgen, einen starken Anreiz hatten, sich impfen zu lassen.

Die Seite des Bundesamtes für Statistik, auf der diese Zahlen aufgeführt sind, enthält KEINEN Kommentar.

4. Diagnostische Codes für Krankenhausaufenthalte

Angesichts des Geburtenrückgangs und der explosionsartigen Zunahme von Nebenwirkungen in der Arzneimittelüberwachung beschloss ich, die Diagnosecodes der Krankenhäuser zu überprüfen. 2021 war seit Ende November 2022 veröffentlicht.

Um nicht in die Falle zu tappen, einen Anstieg zwischen 2020 und 2021 zu berücksichtigen, der signifikant erscheint, ohne mehr Abstand zu nehmen, habe ich einen Vergleich seit 2016 angestellt. Das sind **über 300.000 Zeilen mit Codes**, die ich natürlich nicht alle überprüft habe. Es handelt sich nur um stationäre Krankenhausaufenthalte. Ambulante Behandlungen sind hier nur nach großen Bereichen verfügbar, und für Privatpraxen gibt es keine Statistiken. Daher weiß ich nicht, wie hoch der Anteil ist, aber je nach Krankheit wird die Mehrzahl der Fälle ambulant oder in einer Praxis behandelt. Es kann also sein, dass dies bei einigen Codes nur die Spitze des Eisbergs ist.

Wonach habe ich also gesucht?

1. Zunächst nach dem, was bei den Nebenwirkungen nach der Impfung an erster Stelle stand.
2. Dann nach Krankheiten, die nach der Impfung wissenschaftlich untersucht wurden.
3. Und auch nach ungewöhnlichen Anstiegen.

Ich überprüfte, ob es bereits 2020 mit Covid anstieg, und in diesem Fall, wenn es die Ursache war, sollten wir einen Anstieg in 2020 sehen, der sich möglicherweise bis 2021 fortsetzt, **aber KEINEN markanten Anstieg NUR in 2021!**

Ich habe Codes gefunden, die 2020 einen Anstieg verzeichneten, und zwar Lungenerkrankungen und bestimmte Thrombosen, die mit dem Spike in Verbindung stehen. Es wurde die Hypothese aufgestellt, dass das mildere Omikron später mehr verschiedene Krankheiten verursachen würde. Ich habe keine seriösen wissenschaftlichen Studien in dieser Richtung gefunden, die den Spike des Impfstoffs entlasten und nur den Spike des Virus belasten würden. Als ob wir den bösen Spike und den guten Spike hätten! Der Impfstoff verhindert nicht, dass man sich mit Covid infiziert, es gibt zwangsläufig ein **KUMULATIONS-Risiko mit jeder zusätzlichen Dosis und Ansteckung**.

Mit den Daten ab 2016, haben wir einen Vergleich über 6 Jahre.



Diagnosecodes

**Korrelation ist nicht Kausalität,
aber sie schließt Kausalität nicht aus!**



Kleine Symbole unter den Grafiken ermöglichen es, das erste Covid-Jahr und das Jahr der Einführung des Impfstoffs, das immer mit dem Virus einhergeht, zu kennzeichnen

Es gibt mehrere Grafiken für die **Altersgruppe 15-39**.

Hier die **Impfrate**:

50 % für die 10-19-Jährigen,

73% für die 20-29-Jährigen

74% für die 30-39-Jährigen

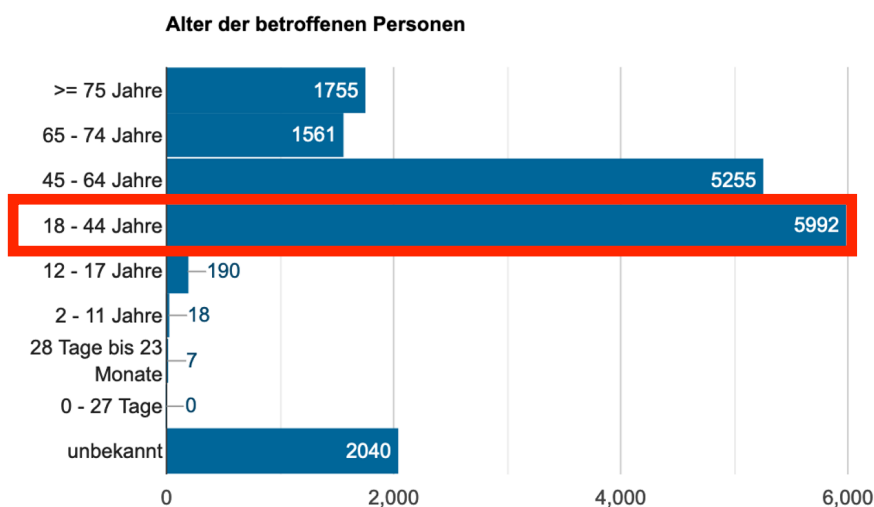
Ich habe auch die Entwicklung dieser Bevölkerung während dieses Zeitraums überprüft, was wichtig ist, denn wenn eine Bevölkerung um 50% zunimmt, könnte dies natürlich eine Erhöhung der Codes rechtfertigen.

Von **2016 bis 2021** stieg sie nur **um 1,16%** und von **2020 bis 21** um **0,17%**.

Dieser Unterschied kann auf keinen Fall einen deutlichen Anstieg der Diagnosecodes rechtfertigen.

Alter und Geschlecht der betroffenen Personen

Der grösste Teil der Betroffenen (66,8 %) war zwischen 18 und 64 Jahre alt (im Mittel 50,1 Jahre). Der Anteil der Personen über 65 Jahre betrug 19,7 %, 1,1 % der Betroffenen waren 12 bis 17 Jahre alt.



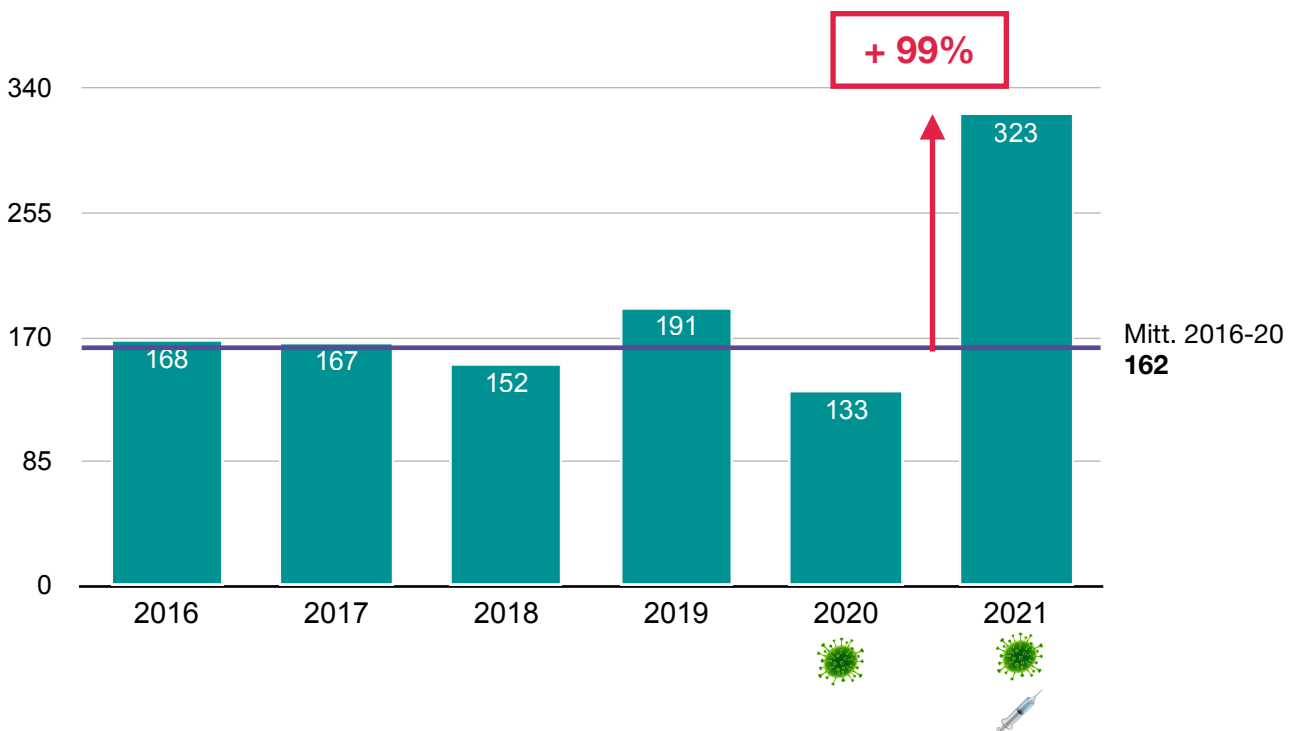
Die Pharmakovigilanz zeigt, dass die 18- bis 44-Jährigen einen grossen Teil der Nebenwirkungen ertragen haben, und sie sollten ihre Gesundheit nicht durch eine Gesundheitsmassnahme beeinträchtigt sehen, die ihnen nicht zugutekommt. Denn das Durchschnittsalter der Covid-Toten liegt bei 84 Jahren!

Myokarditis (letzte Änderung 26.04.2023)

Das Risiko einer Myokarditis oder Perikarditis besteht ebenfalls bei einer Covid-19 Erkrankung. Es wird davon ausgegangen, dass das SARS-CoV-2-Spike-Protein in den Pathomechanismus einer Myo-/Perikarditis involviert sein könnte. **Die Mehrzahl der bisher vorliegenden Studien berichten über niedrigere Raten von Myokarditis und Perikarditis nach Impfungen mit mRNA Impfstoffen als nach Infektion. Der Nutzen einer Covid-19 Impfung überwiegt deren mögliche Risiken.**

Wer hat nicht in den Medien gehört, dass Covid viel mehr Myokarditis verursacht als der Impfstoff? Im Jahr 2023 behauptet das Gesundheitsamt dies immer noch und stützt sich dabei auf die "Mehrzahl der bisher vorliegenden Studien". Das klingt nach einem demokratischen Prozess... statt nach Wissenschaft... die sich nicht um die Mehrheit schert!

15-39 Jahre Myokarditis Code I400-409+I514



Kommen wir also zum Kern des Themas. Erstes Beispiel, erkläre ich die Teile vom Grafik.

Sie haben die sechs Spalten von 2016-2021, Sie sehen die Höhe im Jahr 2020 mit dem Virus und die Höhe im Jahr 2021 mit dem Virus **und** dem Impfstoff. Und wie oben erwähnt,

ist es 15-39 Jahre Altersgruppe. Wenn ich das Alter nicht oben einfüge, dann deshalb, weil es die gesamte Bevölkerung betrifft.

In violett den Durchschnitt 2016-2020, mit der Zahl: hier 162.

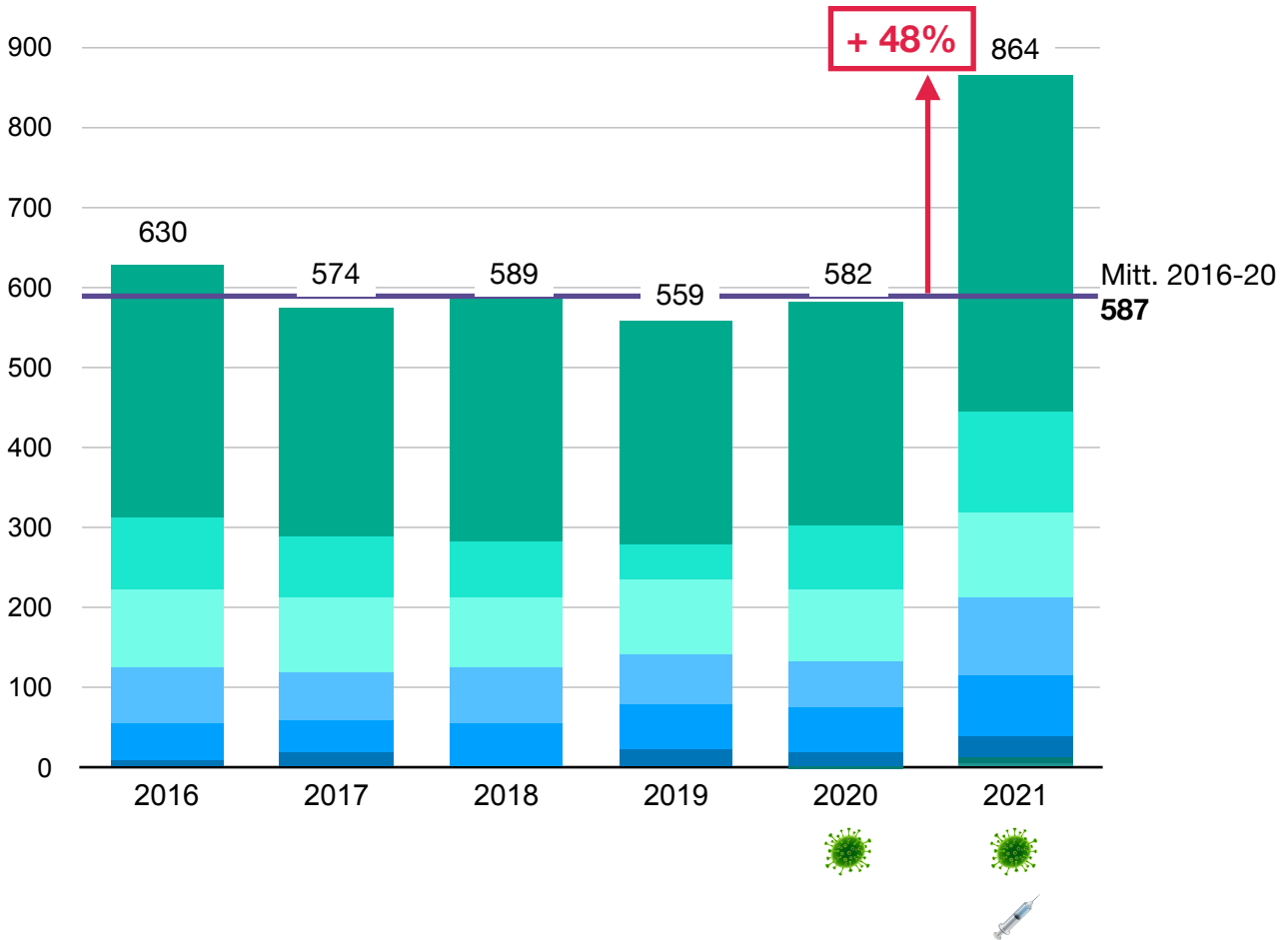
Dann der Anstieg im Jahr 2021 im Vergleich zu diesem Durchschnitt, hier + 99%. Trotz der Behauptungen von Ärzten in den Medien und Politikern, dass die Covid-Krankheit viel mehr Herzmuskelentzündungen verursachen würde als der Impfstoff, belegt die sinkende Statistik im Jahr 2020 nicht, dass dies der Fall ist.

Wenn eine Grafik aus mehreren Codes besteht, finden Sie die Details in der folgenden Tabelle.

	Verschiedene Arten von Krebs	2016	2017	2018	2019	2020	2021
I400	Infektiöse Myokarditis	59	51	58	68	63	88
I401	Isolierte Myokarditis	5	4	3	4	2	4
I408	Andere akute Myokarditis	43	49	41	56	40	128
I409	Akute Myokarditis, nicht näher bezeichnet	43	47	31	42	28	56
I514	Myokarditis, nicht näher bezeichnet	18	16	19	21	10	47
	Insgesamt	168	167	152	191	143	323

15-39 Jahre Verschiedene Arten von Krebs
Codes (siehe Tabelle unten)

- Bösartige Neubildung des Gehirns und der Hirnhäute
- Mediastinales (thymisches) großzelliges B-Zell-Lymphom
- Bösartige Neubildung des Uterus + Cervix
- Bösartige Neubildung des Rektums
- Bösartige Neubildung der Niere + Nierenbeckens
- Bösartige Neubildung der Epiphyse
- Bösartige Neubildung des Kolons auf mehrere Teilbereiche überlappend
- Bösartige Neubildung des Praeputium penis

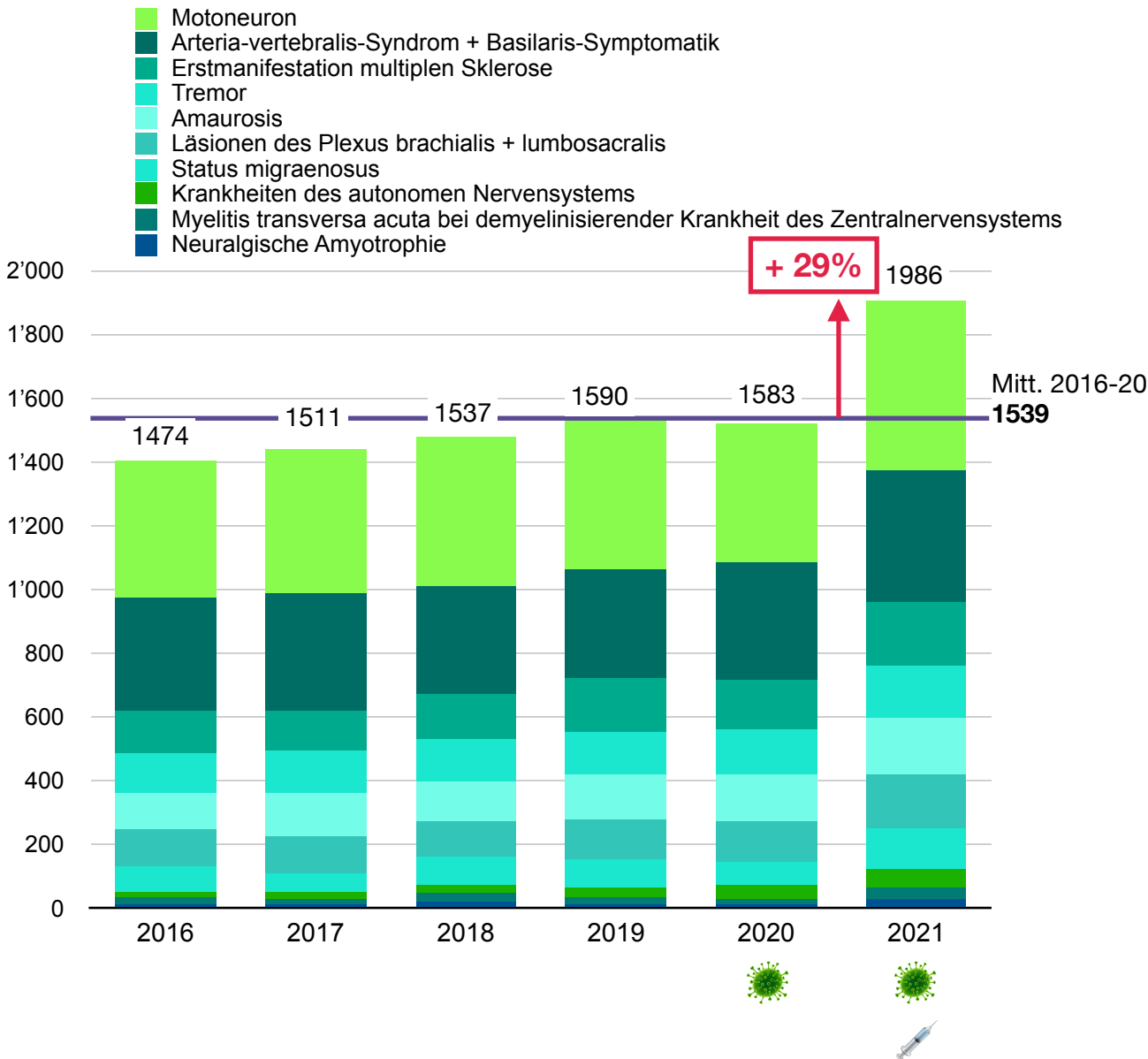


In der Altersgruppe der 15- bis 39-Jährigen nehmen eine Reihe von Krebserkrankungen zu, die seit 2016 **sehr stabil oder sogar rückläufig** waren, im Jahr 2021 um durchschnittlich 48 % an.

Es gibt keinen bemerkenswerten Rückgang im Jahr 2020, der auf eine verzögerte Diagnose hinweisen könnte. Außerdem kann es bei Krebserkrankungen jedes Jahr zu Verzögerungen bei der Diagnose kommen, je nachdem, wie sich die Tumore entwickeln.

	Verschiedene Arten von Krebs	2016	2017	2018	2019	2020	2021
C600	Verschiedene Arten von Krebs	0	0	0	0	1	5
C188	Bösartige Neubildung des Praeputium penis	2	3	0	3	3	7
C753	Bösartige Neubildung des Kolons auf mehrere Teilbereiche überlappend	9	18	4	19	17	28
C64	Bösartige Neubildung der Epiphyse [Glandula pinealis] [Zirbeldrüse]	44	33	45	54	52	68
C65	Bösartige Neubildung der Niere, ausgenommen Nierenbecken	1	4	6	3	3	8
C20	Bösartige Neubildung des Nierenbeckens	70	61	72	65	57	95
C55	Bösartige Neubildung des Rektums	4	2	1	2	5	9
C530	Bösartige Neubildung des Uterus, Teil nicht näher bezeichnet	24	34	29	18	28	15
C531	Bösartige Neubildung der Endozervix	18	16	8	10	16	11
C538	Bösartige Neubildung der Ektozervix	18	10	12	19	12	13
C539	Bösartige Neubildung der Cervix uteri auf mehrere Teilbereiche überlappend	31	33	36	44	29	60
C852	Bösartige Neubildung der Cervix uteri, nicht näher bezeichnet	93	75	68	43	81	128
C700	Mediastinales (thymisches) großzelliges B-Zell-Lymphom	11	4	1	3	2	8
C701	Bösartige Neubildung der Hirnhäute	1	2	12	2	2	1
C709	Bösartige Neubildung der Rückenmarkshäute	0	0	0	0	0	0
C710	Bösartige Neubildung der Meningen, nicht näher bezeichnet	20	9	18	14	14	27
C711	Bösartige Neubildung des Zerebrum, ausgenommen Hirnlappen und Ventrikel	57	56	57	83	60	72
C712	Bösartige Neubildung des Frontallappens	34	31	42	21	27	43
C713	Bösartige Neubildung des Temporallappens	28	18	20	15	11	33
C714	Bösartige Neubildung des Parietallappens	4	2	2	4	2	4
C715	Bösartige Neubildung des Okzipitallappens	6	9	8	3	12	18
C716	Bösartige Neubildung des Hirnventrikels	42	41	37	11	35	31
C717	Bösartige Neubildung des Zerebellum	19	14	16	19	18	27
C718	Bösartige Neubildung des Hirnstamms	43	23	29	35	48	63
C719	Bösartige Neubildung des Gehirns auf mehrere Teilbereiche überlappend	21	15	15	9	9	12
C793	Sekundäre bösartige Neubildung des Gehirns und der Hirnhäute	30	61	51	60	38	78
	Insgesamt	630	574	589	559	582	864

Schädigung des Nervensystems 19 Codes (Details siehe Tabelle unten)



Schädigungen des Nervensystems sind die zweithäufigste Nebenwirkung von Covid-Impfstoffen nach lokalen Reaktionen, 16% der Meldungen, 23%, wenn man die lokalen Reaktionen außer Acht lässt.

Für diese Krankheiten, ein Anstieg von 29%. Es gab zuvor keinen solchen Anstieg im Vergleich seit 2016.

Im Jahr 2020 verursachte der Covid nicht mehr als üblich.

Die Grafik zeigt weder ambulante Patienten noch Patienten in Arztpraxen an, sondern nur stationäre Krankenhausaufenthalte.

Definitionen von einige Krankheiten:

- *Motoneuron* ist eine Krankheit, bei der die Neuronen, die die Bewegungen kontrollieren, geschädigt werden, was zu einem Verlust der Motorik führt. Sind keine leichten Krankheiten oder folgenlos.
- *Amaurosis* ist ein vorübergehender monokularer Verlust der Sehschärfe (Blindheit) ohne offensichtliche Augenverletzung, z. B. aufgrund eines Vasospasmus, einer Blutgerinnung

oder eines erhöhten Blutdrucks im Gehirn.

- *Myelitis* ist eine Entzündung des Rückenmarks;

- *Neuralgische Amyotrophie* ist eine seltene Krankheit des peripheren Nervensystems, die durch das plötzliche Auftreten von extremen Schmerzen in den oberen Gliedmaßen gekennzeichnet ist, gefolgt von schneller multifokaler motorischer Schwäche und Atrophie mit langsamer Erholung über mehrere Monate.

	Schädigung des Nervensystems	2016	2017	2018	2019	2020	2021
G545	Neuralgische Amyotrophie	12	12	19	13	12	25
G373	Myelitis transversa acuta bei demyelinisierender Krankheit des Zentralnervensystems	23	18	34	25	18	41
G908	Sonstige Krankheiten des autonomen Nervensystems	12	15	17	22	30	52
G909	Krankheit des autonomen Nervensystems, nicht näher bezeichnet	7	5	4	9	11	9
G08	Intrakranielle und intraspinale Phlebitis und Thrombophlebitis	73	67	59	50	58	79
G432	Status migraenosus	76	62	88	85	79	120
G540	Läsionen des Plexus brachialis	104	102	102	98	101	113
G541	Läsionen des Plexus lumbosacralis	17	17	9	25	25	61
G4532	Amaurosis fugax: Komplette Rückbildung innerhalb von 1 bis 24 Stunden	28	49	44	47	38	62
G4533	Amaurosis fugax: Komplette Rückbildung innerhalb von weniger als 1 Stunde	61	63	63	73	80	78
G4539	Amaurosis fugax: Verlauf der Rückbildung nicht näher bezeichnet	23	21	22	23	29	35
G250	Essentieller Tremor	73	87	77	84	89	97
G251	Arzneimittelinduzierter Tremor	28	18	29	25	15	24
G252	Sonstige näher bezeichnete Tremorformen	23	22	26	28	33	47
G350	Erstmanifestation einer multiplen Sklerose	132	131	139	169	158	199
G4502	Arteria-vertebralis-Syndrom mit Basilaris-Symptomatik: Komplette Rückbildung innerhalb von 1 bis 24 Stunden	203	202	194	189	220	244
G4503	Arteria-vertebralis-Syndrom mit Basilaris-Symptomatik: Komplette Rückbildung innerhalb von weniger als 1 Stunde	64	67	55	70	55	64
G4509	Arteria-vertebralis-Syndrom mit Basilaris-Symptomatik: Verlauf der Rückbildung nicht näher bezeichnet	91	97	88	78	93	104
G122	Motoneuron	424	456	468	477	439	532
	Insgesamt	1474	1511	1537	1590	1583	1986

Swissmedic an Moderna, Januar 2021

Auto-Immunität

5.

Die weite Verbreitung der für das SARS CoV-2 Spike-Protein kodierenden mRNA kann auch beim Menschen auftreten und den Weg zu verschiedenen organspezifischen Autoimmunerkrankungen ebnen. Solche Erkrankungen haben in der Regel eine lange präsymptomatische Phase, in der nur organspezifische Autoantikörper gefunden werden. Es wäre aufschlussreich, wenn der Sponsor Daten zu Autoantikörpern bei einer signifikanten Anzahl von geimpften und ungeimpften Probanden vorlegen würde (ANA, Anti-dsDNA, Leber, Nervengewebe, Muskeln, neuromuskuläre Verbindung, Schilddrüse, Bauchspeicheldrüse, Gelenke, Blutgefäße, rote Blutkörperchen usw.).

Swissmedic hat die Antwort von Moderna vom 10. Januar 2021 zur Kenntnis genommen: Moderna prüft die Durchführbarkeit der von Prüfärzten gesponserten Vorschläge und wird Swissmedic aktualisierte Informationen zukommen lassen, sobald diese verfügbar sind.

Es handelt sich um einen Auszug aus einem Brief vom Januar 2021, ganz zu Beginn der Zulassung des Impfstoffs, in dem **Swissmedic Moderna aufforderte, weitere Studien zu Autoimmunkrankheiten durchzuführen, die eine lange präsymptomatische Phase haben.**

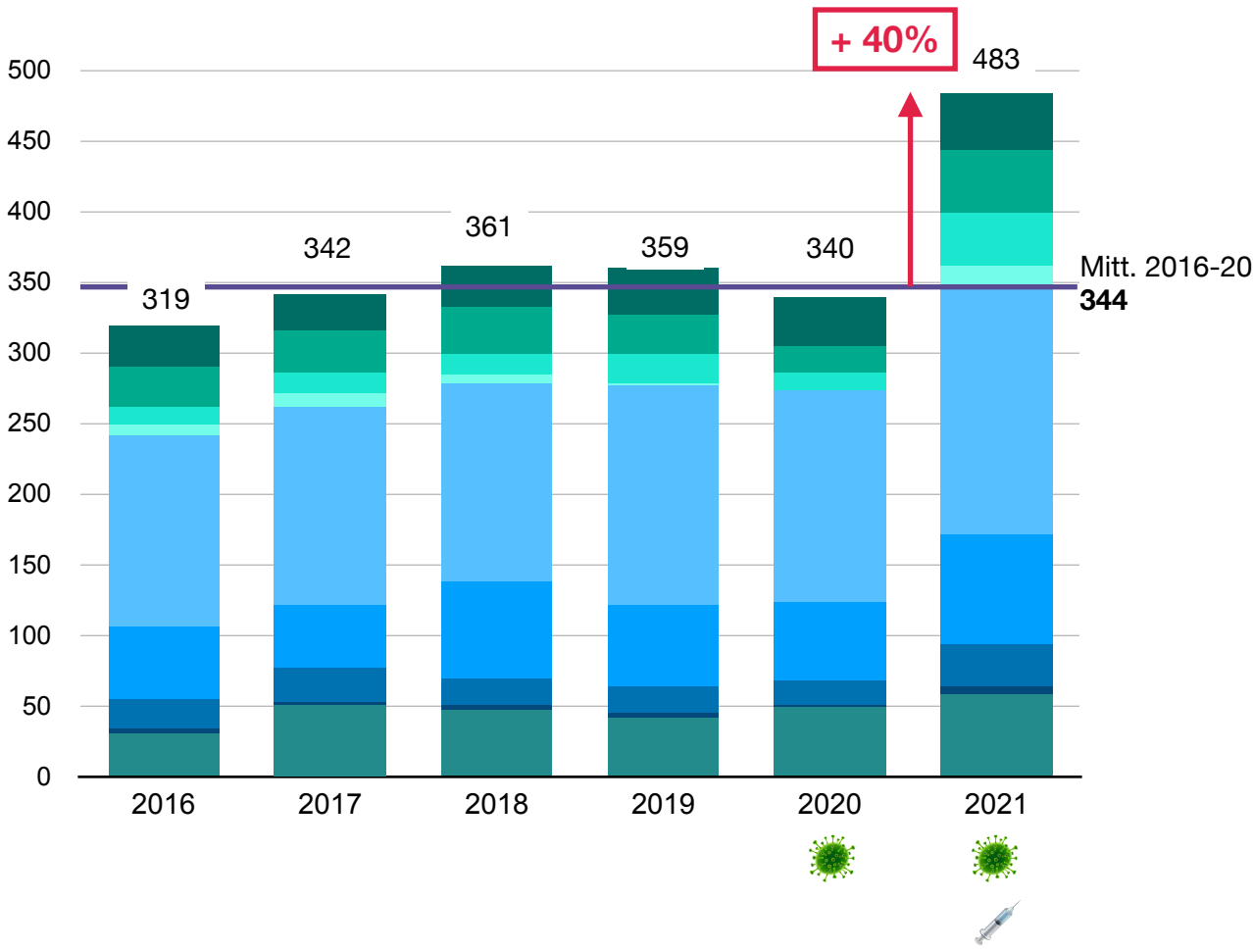
Der Öffentlichkeit wurde gesagt, dass es keine langfristigen Nebenwirkungen gibt. Und laut ihrem Brief an Moderna betrifft dies eine ganze Reihe von Organen: "*Leber, Nervengewebe, Muskeln, neuromuskuläre Verbindung, Schilddrüse, Bauchspeicheldrüse, Gelenke, Blutgefäße, rote Blutkörperchen, usw.* »

Und bis zum heutigen Tag versichern sie der Bevölkerung immer noch: "**Das Nutzen-Risiko-Verhältnis von Impfstoffen bleibt weitgehend positiv**". (Update vom 30.5.2023)

Angesichts der steigenden Anzahl von Codes ist das sehr bedenklich.

**Autoimmunerkrankungen
9 Codes (siehe Tabelle unten)**

- Sarkoidose Lunge + Lymphknoten
 - Raynaud-Syndrom
 - Bullöses Pemphigoid
 - Hypersensitivitäts-Angitis
 - Behçet-Syndrom
- Rheumatisches Fieber, ohne Hinweis auf Herzbeteiligung
 - Primäre biliäre Zirrhose
 - Akute nekrotisierende Epidermolyse 30 % + mehr
 - Andere näher bezeichnete nekrotisierende Vaskulopathien



Hautprobleme allein machen 16% der Nebenwirkungsmeldungen aus, 19% ohne die lokalen Reaktionen. Wenige sind in Krankenhäusern sichtbar. Die meisten werden in der Praxis behandelt.

Diese 9 Codes für Autoimmunerkrankungen steigen 2021 um 40%.

Die Frage von Swissmedic an Moderna war daher nicht überflüssig, aber wir haben keine Informationen über die Folgemaßnahmen.

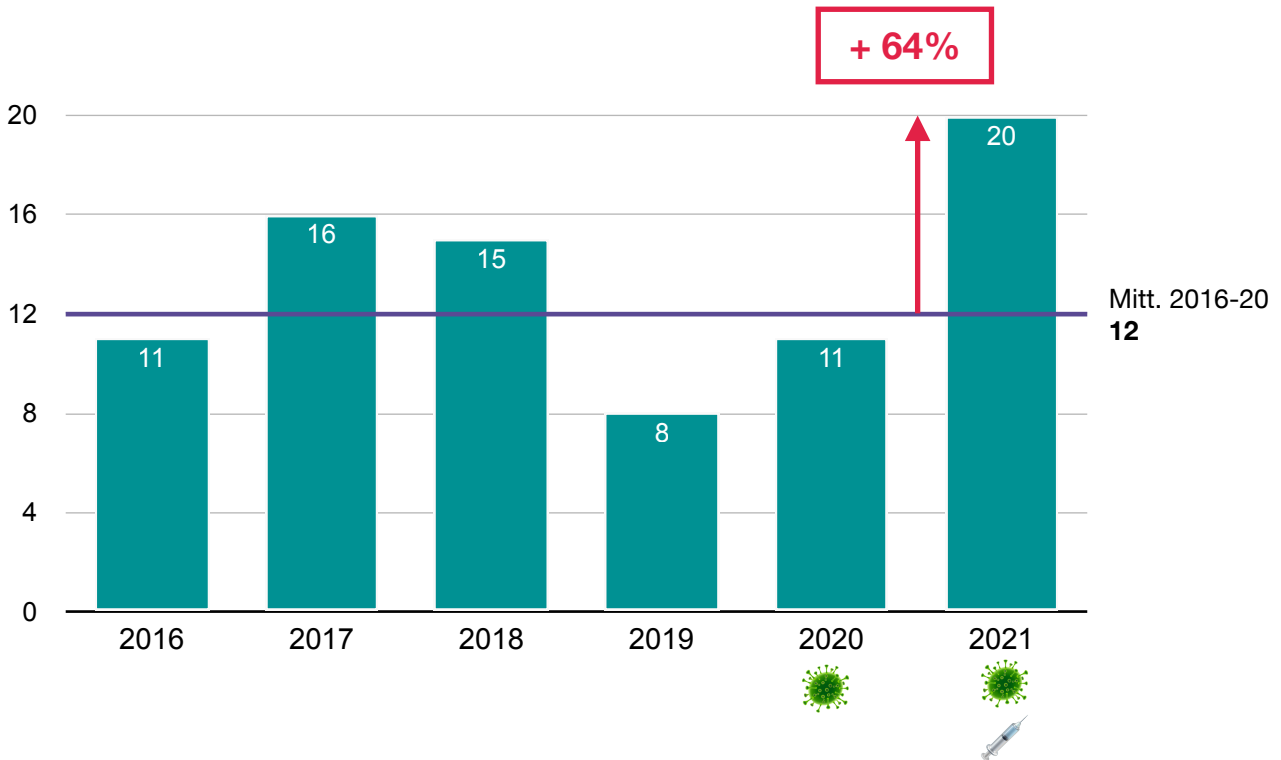
Einige Definitionen:

- *Sarkoidose*: entzündliche Erkrankung, die zur Bildung von Zellklumpen in den Organen führt.
- *Behçet*: mit der Entzündung von Blutgefäßen verbunden, führt zu Aphten im Mund und an den Genitalien und kann auch die Haut und die Augen befallen.
- *Hypersensitivitätsangiitis*: akute nekrotisierende Entzündung der kleinsten arteriellen und venösen Gefäße infolge einer Allergie.
- *Bullöses Pemphigoid*: das Immunsystem greift die Haut an, was zu juckenden Flüssigkeitsblasen führt.

- *Epidermale Nekrolyse*: eine immunologische Reaktion der Haut auf ein Medikament. Mit massiver Ablösung der Epidermis, die das Bild einer schweren Verbrennung ergibt, verbunden mit einer Schädigung der Schleimhäute.
- *Raynaud-Syndrom*: eine chronische Störung der Blutzirkulation in den Extremitäten.

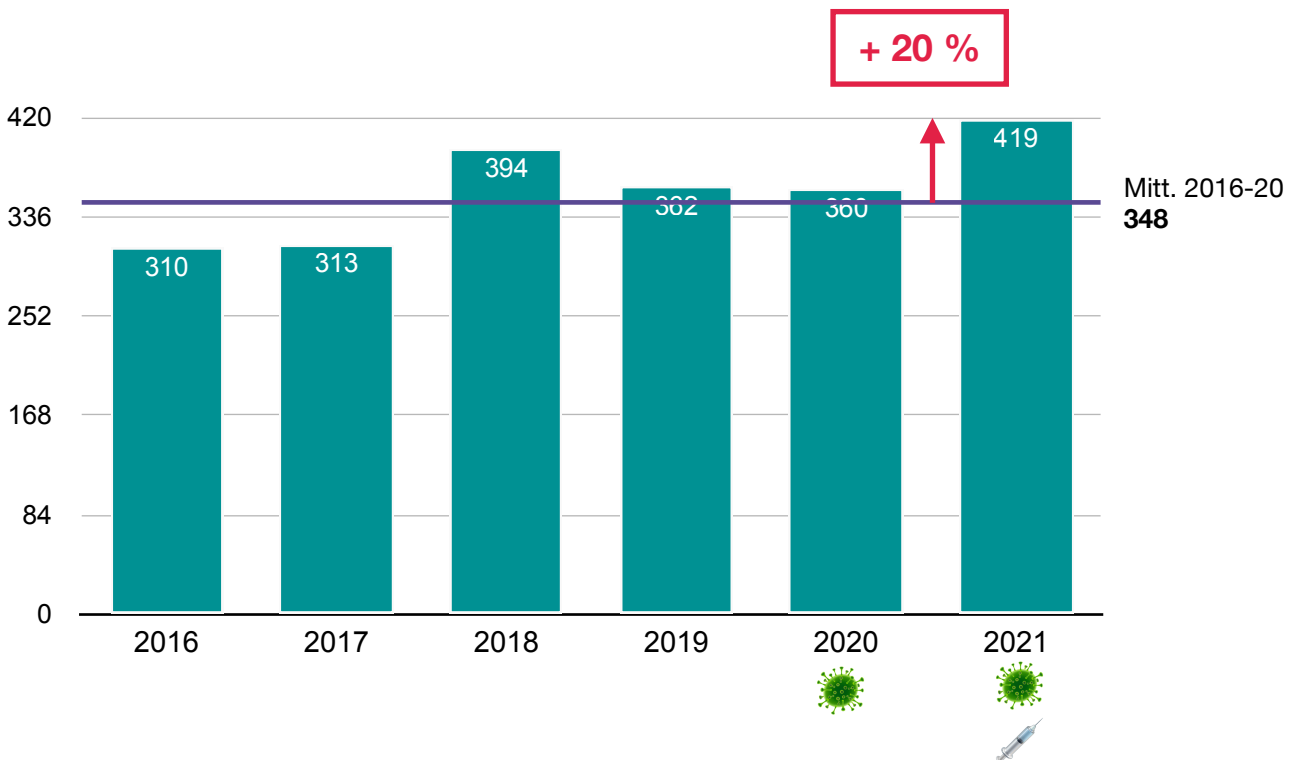
	Autoimmunerkrankungen	2016	2017	2018	2019	2020	2021
D862	Sarkoidose der Lunge mit Sarkoidose der Lymphknoten	30	50	48	42	49	58
I00	Rheumatisches Fieber ohne Angabe einer Herzbeteiligung	5	3	2	4	1	6
I730	Raynaud-Syndrom	19	23	20	17	17	29
K743	Primäre biliäre Zirrhose	53	45	67	59	56	78
L120	Bullöses Pemphigoid	135	140	141	155	149	175
L5121	Toxische epidermale Nekrolyse [Lyell-Syndrom]: Befall von 30 % der Körperoberfläche und mehr	6	9	6	2	1	15
M310	Hypersensitivitätsangiitis	14	16	14	20	13	38
M318	Sonstige näher bezeichnete nekrotisierende Vaskulopathien	27	29	34	28	18	43
M352	Behçet-Krankheit	30	27	29	32	36	41
	Insgesamt	319	342	361	359	340	483

15-39 Jahre Intrazerebrale Blutung, hemisphärisch, kortikal (Code I611)



Die Codes für Hirnblutungen insgesamt sind nicht gestiegen, aber dieser ist bei 15-39 Jahre alt auffällig, dagegen nicht das 1. Jahr Covid.

Intrazerebrale Blutung, hemisphärisch, kortikal (Code I611)

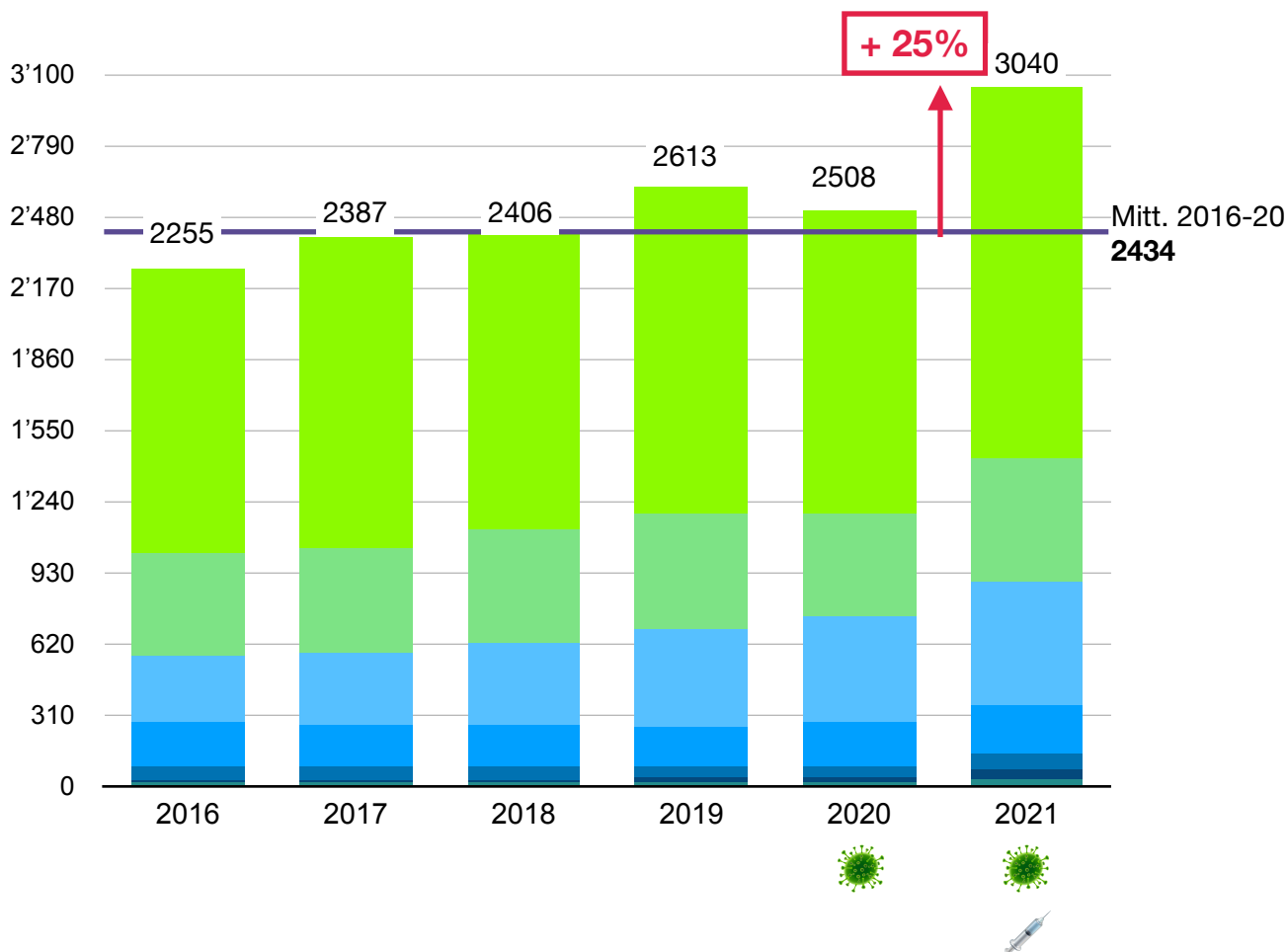


Weniger bei der gesamten Bevölkerung, aber auch mehr in 2021 als in 2020. Es kann sich nicht um Verzögerungen bei der Diagnose handeln.

15-39 Jahre rund um Schwangerschaft und Geburt

7 Codes (siehe Tabelle unten)

- Schwangerschaftspflege bei wiederholtem Abort
 - Andere Blutungen während der Entbindung
 - Infektion von Amnionbeutel und Membranen
 - Andere Blutungen unmittelbar nach der Geburt
- Postpartale Gerinnungsanomalie
 - Mutterpflege intrauteriner Tod des Fötus
 - Andere Blutungen vor der Entbindung



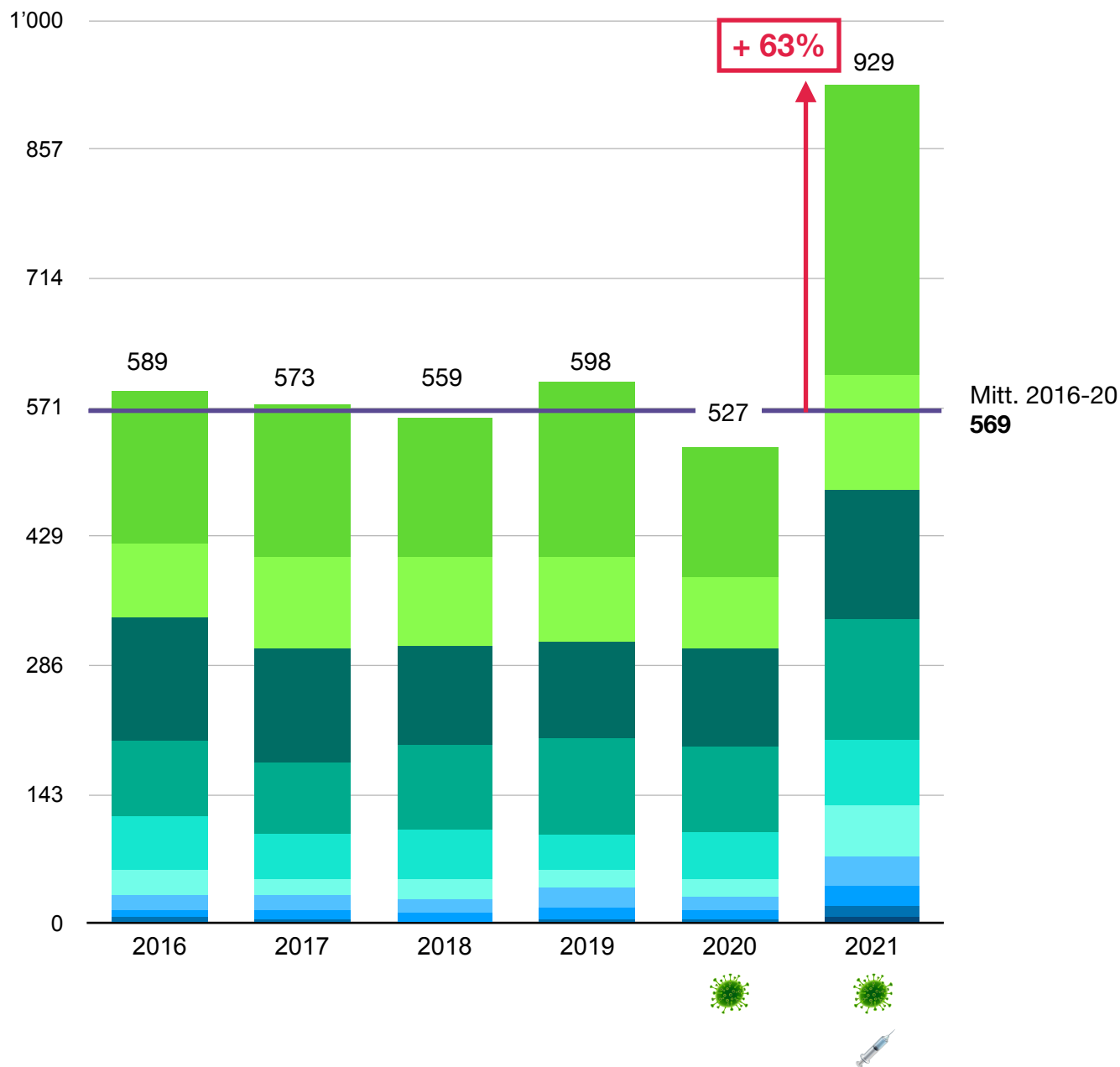
Aufgrund verschiedener Aussagen von Hebammen oder Krankenschwestern habe ich nach Codes gesucht, die mit Schwangerschaft und Geburt in Verbindung stehen. Hier sind verschiedene Blutungen, Blutgerinnungsstörungen in Verbindung mit der Schwangerschaft oder nach der Entbindung, Infektionen der Fruchtblase und eine 110% Zunahme der Behandlungen für wiederholte Abtreibungen im Jahr 2021 aufgeführt. Diese verschiedenen Störungen nehmen im Durchschnitt um 25% zu, während sie 2020 im Vergleich zu 2019 gesunken waren und nur leicht über dem Durchschnitt lagen.

	Schwangerschaft und Geburt	2016	2017	2018	2019	2020	2021
O262	Pflege während der Schwangerschaft bei wiederholten Fehlgeburten	17	14	15	18	17	34
O364	Pflege der Mutter intrauteriner Tod des Fötus	197	189	188	175	185	209
O411	Infektion von Amnionbeutel und Membranen	293	307	351	426	465	534
O468	Sonstige Blutungen vor der Entbindung	445	460	494	494	444	540
O678	Sonstige Blutungen während der Entbindung	48	56	54	51	52	74
O721	Andere Blutungen unmittelbar nach der Geburt	1239	1346	1288	1432	1323	1614
O723	Gerinnungsanomalie postpartal	16	15	16	17	22	35
	Insgesamt	2255	2387	2406	2613	2508	3040

15-39 Jahre Verschiedene Pathologie

43 Codes (siehe Tabelle unten)

- Veno-okklusive Erkrankung der Leber
 - Dorsale Osteomyelitis
 - Tremor
 - Thrombose, Phlebitis + Thrombophlebitis
 - Enzephalitis, intra-kranianiale/rachidaler Abszess/Granulom
 - Myokarditis
- Chronischer motorischer/stimmlicher Tic
 - Zoster-Meningitis
 - Pulmonale Hypertonie
 - 1. Auftreten Multipler Sklerose
 - Taubheit



Hier, ebenfalls bei den 15-39-Jährigen, 11 verschiedene Pathologie (43 Codes), bei diesen jungen Menschen, deren Gesundheit nicht durch eine Gesundheitsmaßnahme beeinträchtigt werden sollte, die ihnen nicht zugutekommt! Denn das Durchschnittsalter der Covid-Todesfälle liegt bei etwa 84 Jahren. Erhöhung um 63%. Ein leichter Rückgang im Jahr 2020 könnte auf einige Spät Diagnosen hindeuten, aber der Anstieg im Jahr 2021 liegt weit jenseits jeglicher Aufholjagd.

Impfstatus ist nicht bekannt, aber die Tatsache, dass er im ersten Jahr von Covid sinkt und im ersten Jahr des Impfstoffs explodiert, sollte zumindest zu Untersuchungen führen.

	Verschiedene Pathologie (alle Codes)	2016	2017	2018	2019	2020	2021
K765	Venöse okklusive Leberkrankheit [Stuart-Bras-Syndrom]	0	1	0	0	0	3
F951	Chronische motorische oder vokale Ticstörung	1	0	0	1	0	5
M4620	Osteomyelitis vertebralis, multiple vertebrale Lokalisationen	0	1	0	0	0	0
M4622	Wirbelosteomyelitis : Zervikalbereich	2	2	0	0	0	1
M4624	Wirbelosteomyelitis : Thorakalbereich	0	0	1	1	0	5
M4625	Wirbelosteomyelitis : Thorakolumbalbereich	0	0	0	1	0	0
M4626	Wirbelosteomyelitis : Lumbalbereich	1	1	0	1	2	1
M4627	Wirbelosteomyelitis : Lumbosakralbereich	0	0	0	0	0	1
M4628	Wirbelosteomyelitis : Sakral- und sakrokokzygealbereich	1	0	1	1	1	0
M8611	Sonstige akute Osteomyelitis : Schulterregion	1	0	0	0	1	3
B021	Zoster-Meningitis	8	10	11	13	11	23
G250	Wesentlicher Tremor	2	1	1	1	0	0
G251	Durch Medikamente verursachter Tremor	0	3	5	2	4	7
G252	Andere spezifizierte Formen des Tremors	4	1	2	1	3	7
G253	Myoklonus	12	11	5	17	8	18
I270	Primäre pulmonale Hypertonie	9	6	4	6	9	13
I2720	Pulmonale Hypertonie bei chronischer Thromboembolie	8	2	5	5	3	23
I2728	Sonstige näher bezeichnete sekundäre pulmonale Hypertonie	10	9	13	8	8	22
I8020	Thrombose, Phlebitis und Thrombophlebitis der Beckenvenen	28	30	33	15	25	40
I8028	Thrombose, Phlebitis und Thrombophlebitis sonstiger tiefer Gefäße der unteren Extremitäten.. Tiefe Venenthrombose o.n.A.	32	20	22	26	25	30
G350	Erstmanifestation einer multiplen Sklerose	84	79	94	105	95	134
G040	Akute disseminierte Enzephalitis	4	3	0	0	0	2
G042	Bakterielle Meningoenzephalitis und Meningomyelitis, anderenorts nicht klassifiziert	11	8	3	6	3	7
G048	Sonstige Enzephalitis, Myelitis und Enzephalomyelitis	60	53	53	39	68	77
G049	Enzephalitis, Myelitis und Enzephalomyelitis, nicht näher bezeichnet	31	30	29	31	15	27

	Verschiedene Pathologie (alle Codes)	2016	2017	2018	2019	2020	2021
G060	Intrakranieller Abszeß und intrakranielles Granulom	23	22	21	16	15	23
G061	Intraspinaler Abszeß und intraspinale Granulom	3	11	1	8	6	7
G062	Extraduraler und subduraler Abszeß, nicht näher bezeichnet	5	0	3	7	2	2
H900	Beidseitiger Hörverlust durch Schalleitungsstörung	8	21	2	7	5	3
H901	Einseitiger Hörverlust durch Schalleitungsstörung bei nicht eingeschränktem Hörvermögen der anderen Seite	17	5	17	21	13	32
H902	Hörverlust durch Schalleitungsstörung, nicht näher bezeichnet	5	15	8	6	2	2
H903	Beidseitiger Hörverlust durch Schallempfindungsstörung	11	1	9	14	10	19
H904	Einseitiger Hörverlust durch Schallempfindungsstörung bei nicht eingeschränktem Hörvermögen der anderen Seite	1	7	2	3	5	3
H905	Hörverlust durch Schallempfindungsstörung, nicht näher bezeichnet	6	1	4	4	4	2
H906	Kombinierter beidseitiger Hörverlust durch Schalleitungs- und Schallempfindungsstörung	5	4	3	5	2	5
H907	Kombinierter einseitiger Hörverlust durch Schalleitungs- und Schallempfindungsstörung bei nicht eingeschränktem Hörvermögen der anderen Seite	1	1	1	2	1	3
H908	Kombinierter Hörverlust durch Schalleitungs- und Schallempfindungsstörung, nicht näher bezeichnet	1	1	1	0	1	1
H950	Rezidivierendes Cholesteatom in der Mastoidhöhle nach Mastoidektomie	26	46	53	34	37	55
I400	Infektiöse Myokarditis	59	51	58	68	63	88
I401	Isolierte Myokarditis	5	4	3	4	2	4
I408	Sonstige akute Myokarditis	43	49	41	56	40	128
I409	Akute Myokarditis, nicht näher bezeichnet	43	47	31	42	28	56
I514	Myokarditis, nicht näher bezeichnet	18	16	19	21	10	47
	Insgesamt	589	573	559	598	527	929

Zusammenfassende Tabelle nach Art der Erkrankung

	Verschiedene (Insgesamt nach Pathologie)	2016	2017	2018	2019	2020	2021
K765	Veno-okklusive Erkrankung der Leber	0	1	0	0	0	3
F951	Chronischer motorischer oder stimmlicher	1	0	0	1	0	5
8 Code	Dorsale Osteomyelitis	5	4	2	4	4	11
B021	Zoster-Meningitis	8	10	11	13	11	23
4 Code	Tremor	18	16	13	21	15	32
3 Code	Pulmonale Hypertonie	27	17	22	19	20	58
2 Code	Thrombose, Phlebitis und Thrombophlebitis	60	50	55	41	50	70
G350	Erstes Auftreten von Multipler Sklerose	84	79	94	105	95	134
8 Code	Enzephalitis, intrakranianiale, intrarachidaler Abszess und Granulom	137	127	110	107	109	145
8 Code	Taubheit	81	102	100	96	80	125
5 Code	Myokarditis	168	167	152	191	143	323
	Insgesamt	589	573	559	598	527	929

4. Grafiken für 0-14 Jahre

Es gibt einige Folien bei den Jüngsten, den 0-14-Jährigen.

Die Impfquote für 0-9-Jährige liegt bei 3,71%.

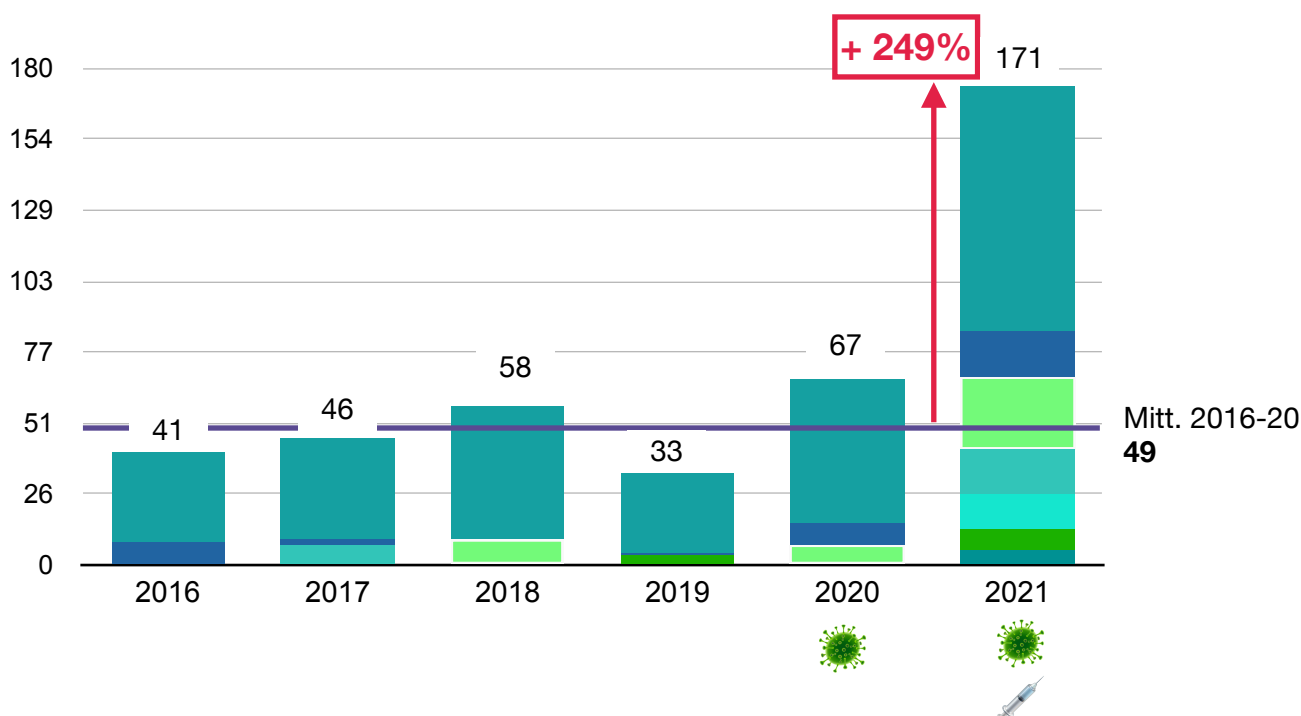
Für die Altersgruppe bis 14 Jahre haben wir die Rate nicht, also habe ich die größere Gruppe genommen, die 10-19-Jährigen, sie sind darin enthalten, es sind 50,43%.

Diese Bevölkerung stieg um 5% während des Zeitraums, aber um 0,95% zwischen 2020 und 21, was ausschließt, dass die Veränderung der Zahl von 2020 auf 21 die starken Anstiege zwischen diesen beiden Jahren erklärt.

0-14 Jahre Verschiedene bösartige Tumore

C07, 119, 220, 224, 481, 688, 714-715, 718, 810, 817, D015

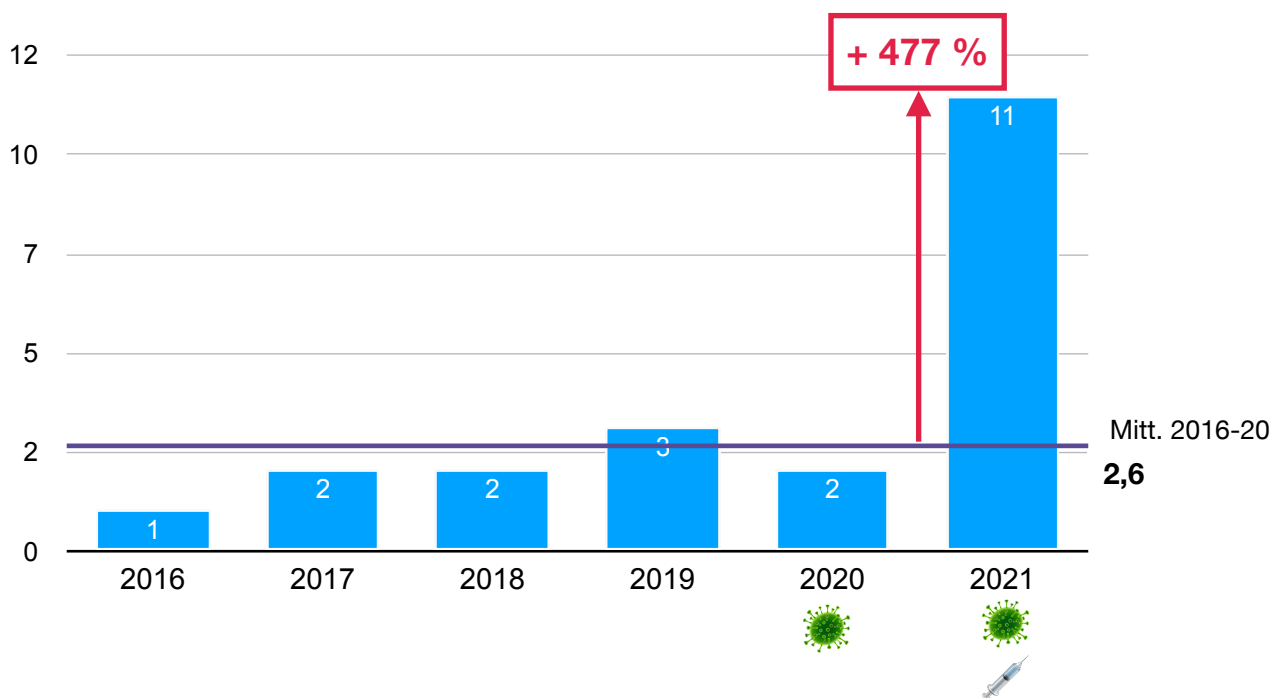
- | | | |
|-------------------------------------|--------------------|---------------|
| ■ Leber, Gallenblase und Gallenwege | ■ Ohrspeicheldrüse | ■ Nasopharynx |
| ■ Angrenzend an die Harnorgane | ■ Peritoneum | ■ Leber |
| ■ Hodgkin | ■ Gehirn (3 Codes) | |



3 Codes für Gehirnkrebs sind sehr gestiegen (nicht die gesamte), aber aufgrund des großen Unterschieds habe ich sie hinzugefügt. Die anderen sind die Codes für diese Krebse gehalten worden, nicht ein einziger inmitten der anderen. Da ich meinen Augen nicht traute, überprüfte ich die Nomenklatur seit 2016, ob jeder der Codes tatsächlich existiert, in jeder Nomenklatur, der von 2016, 17, 18... in allen PDFs der ICD-Codes, die sich damit befassen (denn manchmal gibt es Änderungen in der Nomenklatur, sie führen Unterteilungen ein, und das ergibt plötzlich einen scheinbaren Anstieg, aber man muss in den anderen Jahren nach der gleichen Pathologie unter einem anderen Code suchen). Bei all diesen Krebserkrankungen ist dies nicht der Fall, ich habe alles überprüft, alle Codes existierten seit 2016.

	Bösartige Tumore	2016	2017	2018	2019	2020	2021
C07	Bösartiger Tumor der Ohrspeicheldrüse	0	1	0	1	1	4
C119	Bösartige Neubildung des Nasopharynx, ohne nähere Angaben	0	0	1	2	0	8
C220	Hepatozelluläres Karzinom	0	0	8	0	3	14
C224	Andere Sarkome der Leber	0	0	0	0	3	12
C481	Bösartige Neubildung in näher bezeichneten Teilen des Bauchfells	0	6	0	0	0	16
C688	Bösartiger Tumor in Form einer Läsion mit zusammenhängenden Lokalisationen der Harnorgane	0	0	0	0	0	13
C714	Bösartiger Tumor des Okzipitallappens	0	0	1	0	0	9
C715	Bösartige Neubildung eines Hirnventrikels außer dem vierten Ventrikel	19	18	8	12	10	30
C718	Bösartige Neubildung in Form einer Läsion mit zusammenhängenden Lokalisationen des Gehirns	14	19	40	17	42	50
C810	Hodgkin-Krankheit mit vorwiegend lymphozytären Zellen	4	2	0	1	4	9
C817	Andere Formen der Hodgkin-Krankheit	4	0	0	0	4	8
D015	Carcinoma in situ der Leber, der Gallenblase und der Gallenwege	0	0	0	0	0	1
	Insgesamt	41	46	58	33	67	173

0-14 Jahre Optische Neuromyelitis [Devic] G360



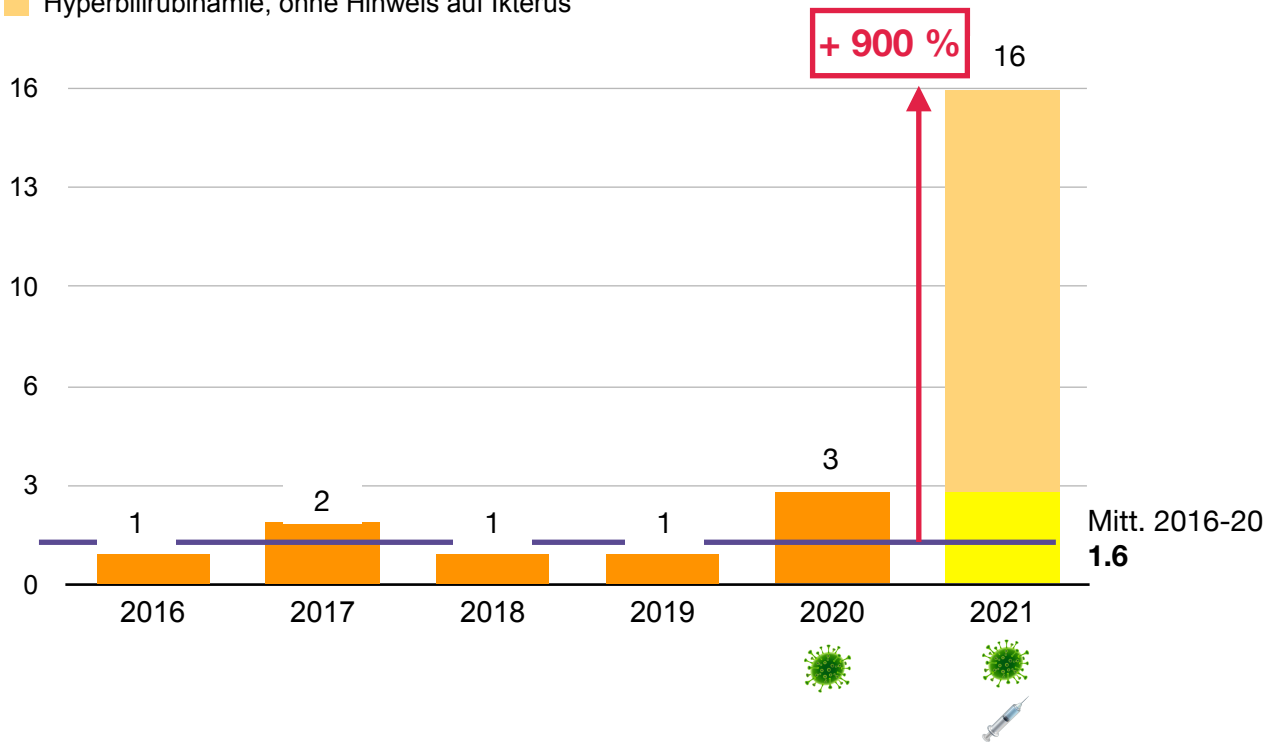
Eine seltene Autoimmunerkrankung, die zu den entzündlichen demyelinisierenden Erkrankungen des zentralen Nervensystems gehört. Das bedeutet, dass sie die schützende Myelinschicht der Nerven angreift. Es betrifft die Sehnerven und/oder das Rückenmark. Das Durchschnittsalter bei Beginn liegt gewöhnlich bei 40 Jahren.

Ohne Behandlung können die Schäden, der teilweise oder vollständige Verlust des Sehvermögens und die Lähmung dauerhaft sein. Wir haben einen Anstieg von +477%.

0-14 Jahre Ikterus, Hyperbilirubinämie (ohne neonatale Ikterus)

Code R17, 170, 179

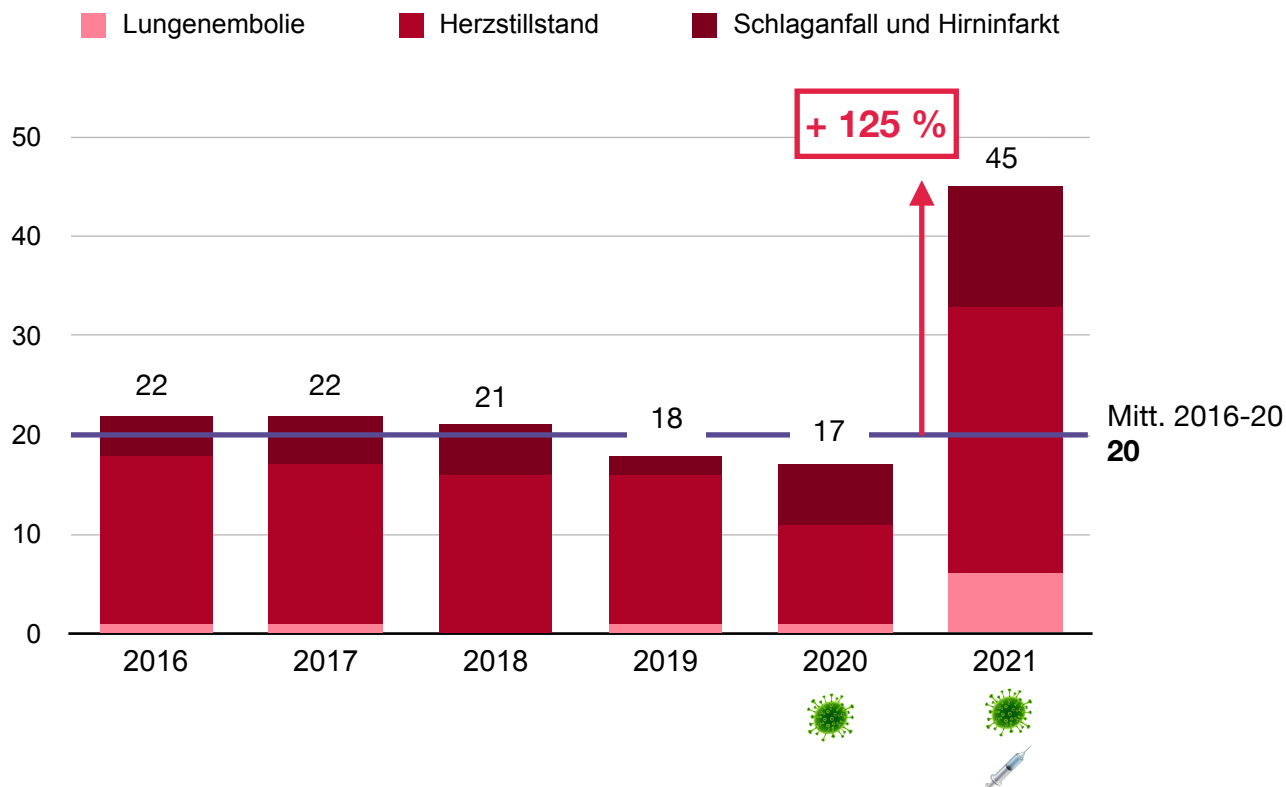
- Ikterus
- Hyperbilirubinämie, mit Hinweis auf Ikterus
- Hyperbilirubinämie, ohne Hinweis auf Ikterus



Ikterus, Hyperbilirubinämie		2016	2017	2018	2019	2020	2021
R17	Ikterus, nicht näher bezeichnet	1	2	1	1	3	0
R170	Hyperbilirubinämie, mit Hinweis auf Ikterus, anderweitig nicht klassifiziert	0	0	0	0	0	3
R179	Hyperbilirubinämie, ohne Hinweis auf Ikterus, nicht anderweitig klassifiziert	0	0	0	0	0	13
	Insgesamt	1	2	1	1	3	16

Ikterus (ohne Ikterus bei Neugeborenen) +900%.

0-14 Jahre, Lungenembolie, Herzstillstand, Schlaganfall und Hirninfarkt Code I269, 460, 469, 633-4, 64



Die letzte Grafik bei den 0-14-Jährigen, aber nicht die geringste auf der Ebene der Konsequenzen: Lungenembolie, Schlaganfall und Hirninfarkt, Herzstillstand +125%, während dies 2020, im ersten Jahr von Covid, noch gesunken war.

Bei diesen Krankheiten ist es sehr schwierig, sich auf eine verspätete Diagnose zu berufen!

Lungenembolie, Herzstillstand, Schlaganfall, Hirninfarkt		2016	2017	2018	2019	2020	2021
I269	Lungenembolie ohne Angabe eines akuten Cor pulmonale	1	1	0	1	1	6
I460	Herzstillstand mit erfolgreicher Wiederbelebung	6	5	9	6	3	9
I469	Herzstillstand, nicht näher bezeichnet	11	11	7	9	7	18
I633	Hirninfarkt durch Thrombose intrakranieller Arterien	3	1	0	2	3	4
I64	Schlaganfall, nicht als Blutung oder Infarkt bezeichnet	0	4	2	0	3	5
I634	Hirninfarkt durch Embolie intrakranieller Arterien	1	0	3	0	0	3
Insgesamt		22	22	21	18	17	45

Schlussfolgerung des Videos

Abschließend möchte ich Ihnen noch ein paar Worte sagen, aber ich möchte Ihnen ein etwas ruhigeres Bild vermitteln, denn wie Sie sehen konnten, gibt es viele alarmierende Signale und die prozentualen Anstiege sind bei den Jüngsten noch schlimmer. Korrelation ist nicht unbedingt Kausalität, aber welche Faktoren haben all diese Anstiege verursacht, gerade im Jahr 2021? Diese Frage ist mehr als berechtigt. Viele Studien zeigen Schäden nach der Impfung, andere weisen auf Probleme im Zusammenhang mit Spike hin, unabhängig von der Quelle. Am 27. Mai schickte ich eine E-Mail mit Grafiken der 15-39-Jährigen an über 240 Parlamentarier in der Schweiz. Bis heute habe ich KEINE Antwort erhalten.

Die Statistiken schlummern in Dateien. Amèle Debey, Redakteurin der französischsprachigen Zeitung L'Impertinent, verwendete einige der Grafiken in einem Artikel. Sie nutzte die Gelegenheit, um das Bundesamt für Statistik und das Bundesamt für Gesundheit anzusprechen. Das Bundesamt für Statistik erklärte, es sei nur für die "Bereitstellung von Basisdaten" verantwortlich und wollte sich nicht dazu äußern. Das Bundesamt für Gesundheit antwortete, dass "die BFS-Statistiken KEINE signifikante Zunahme von Gehirnkrebs in den letzten Jahren zeigen, Gehirnkrebs scheint in den letzten Jahren stabil zu sein". Und sie verweisen auf den Krebs Monitoringbericht 2021, der sich mit Zahlen bis zum Jahr 2017 befasst!!!! Drei Jahre vor der Pandemie! Als die Journalistin darauf beharrte, fügte die Sprecherin hinzu, "dass sie keine konkreten Zahlen haben, welche die in diesem Artikel verbreiteten Daten bestätigen könnten, dass sie diese Zahlen nicht bestreiten, aber keine Hinweise haben, wie sie zu interpretieren sind."

Wir können also festhalten, dass sie diese Zahlen nicht bestreiten!

Was soll ich sagen?

Außer, dass ich Hélène und dem gesamten CSI-Team sehr herzlich dafür danke, dass sie mir die Gelegenheit gegeben haben, diese Feststellungen zu teilen, die seit einigen Monaten schwer auf meinen Schultern lasten.

Die Dateien für 2022 werden normalerweise Ende November 2023 verfügbar sein, ich verspreche Ihnen, dass ich mich weiter damit beschäftigen werde.

Bis dahin, passen Sie auf sich und Ihre Lieben auf! Vielen Dank

Zusätzliche Grafiken

5. Zusätzliche Grafiken

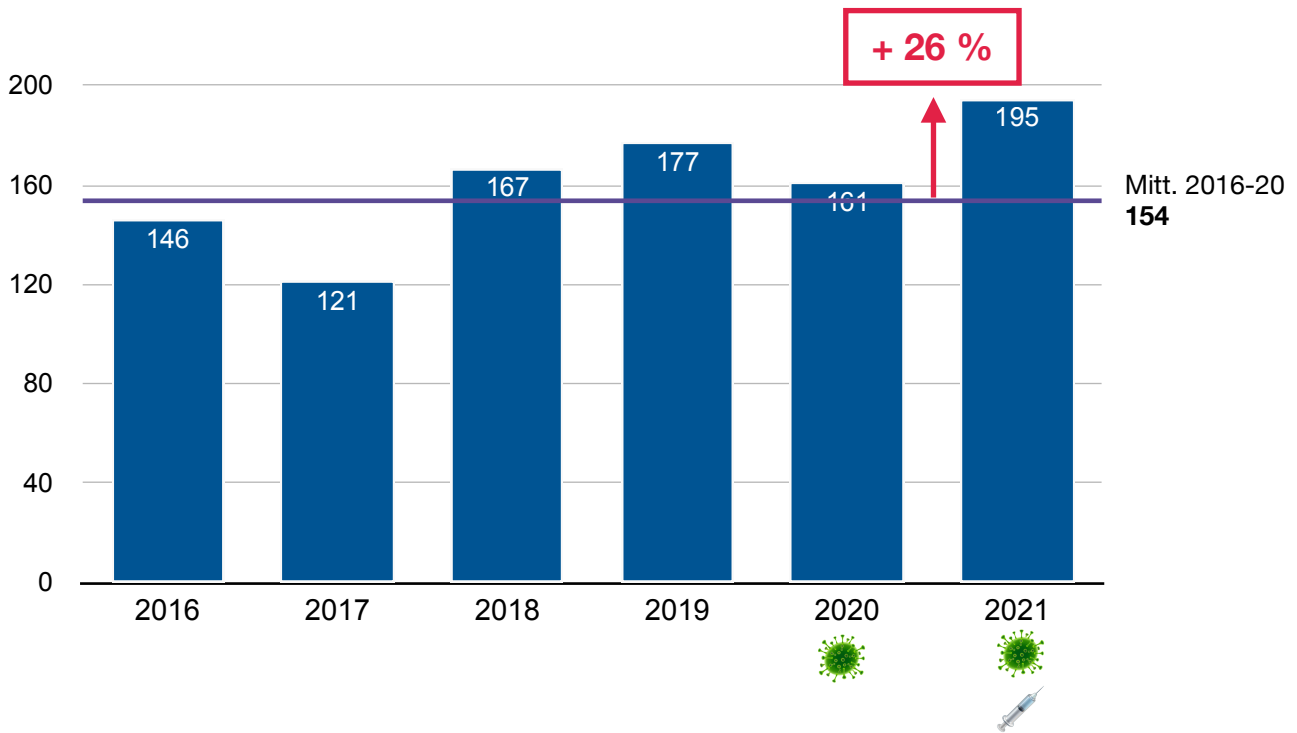
Gürtelrose B022-B029



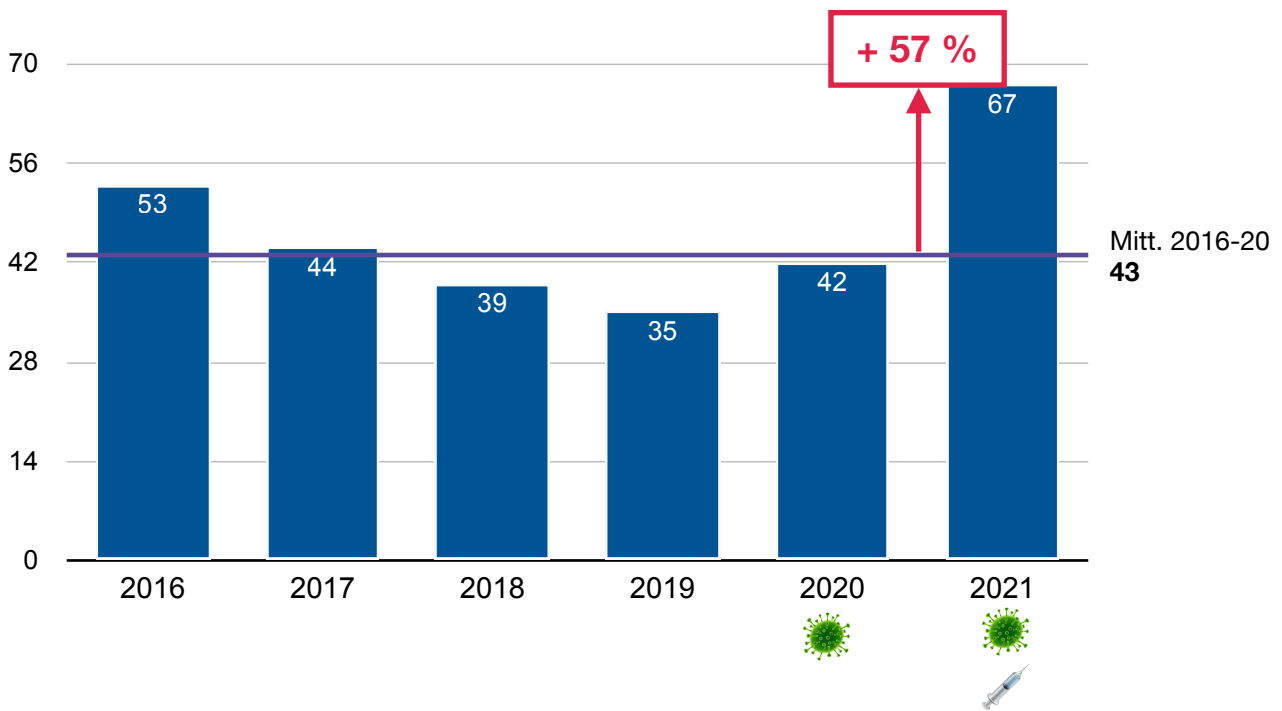
Gürtelrose ist um 10% höher, aber die meisten wurden wahrscheinlich außerhalb des Krankenhauses behandelt.

Die Pharmakovigilanz berichtete ab Februar 2021 über Fälle: 8% Zonas unter den schweren Nebenwirkungen und **bis zu 13%** Anfang Mai. Dann verschwand es aus den Berichten, ertränkt in Hautproblemen.

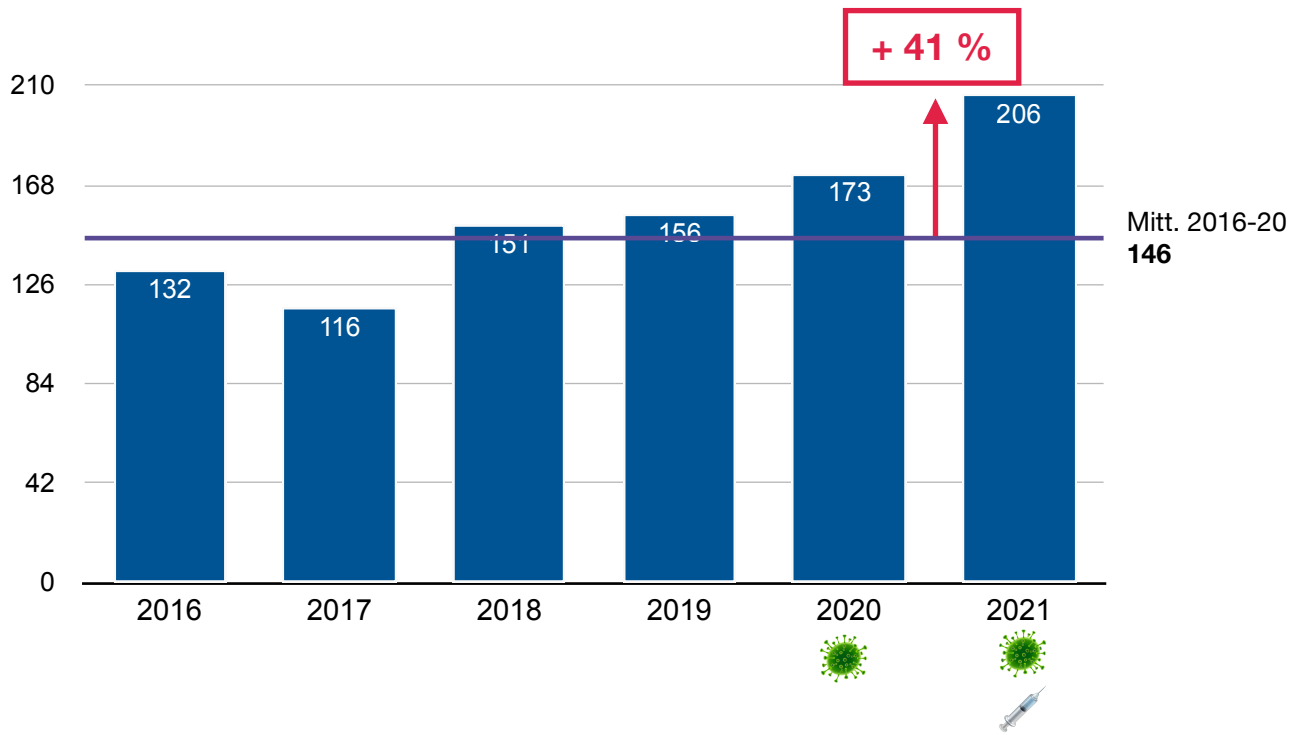
Gehirnkrebs: Gehirn, Aussenlappen und Ventrikel C710



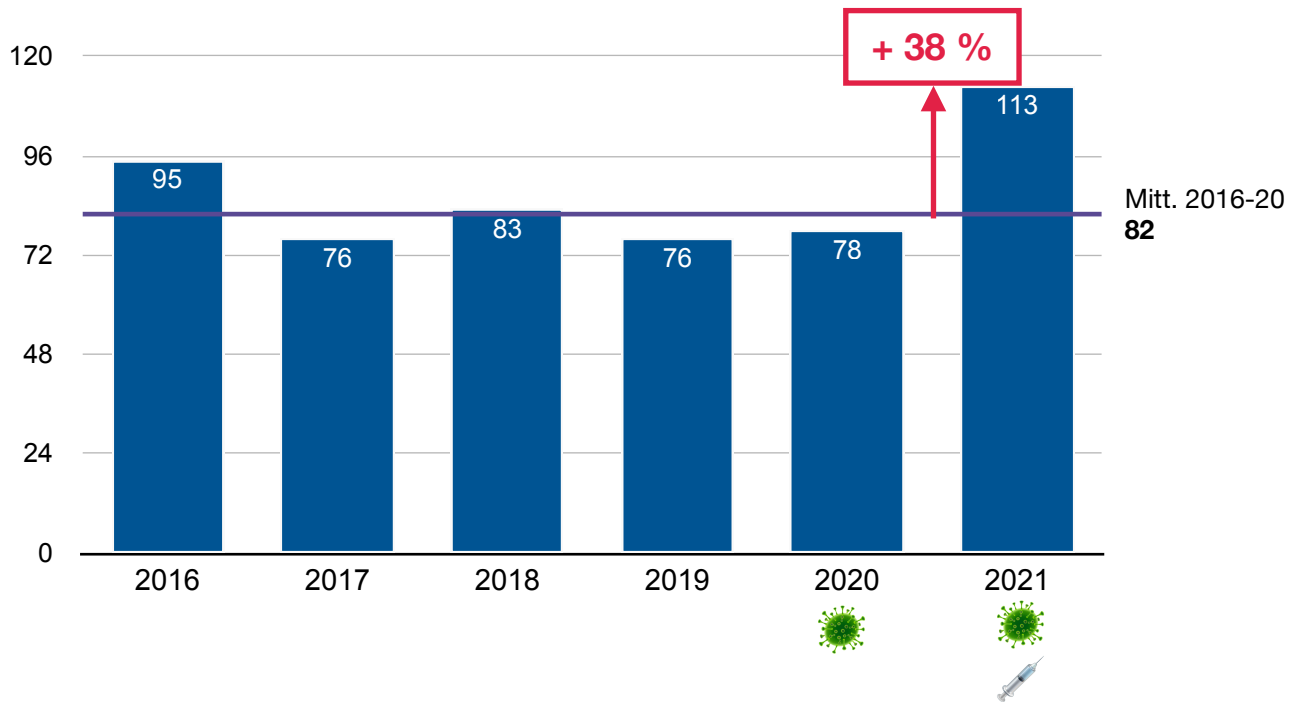
Gehirnkrebs: Gehirnventrikel ausser dem 4. C715



Bösartiger Tumor der Brustwarze und des Warzenhofs C500

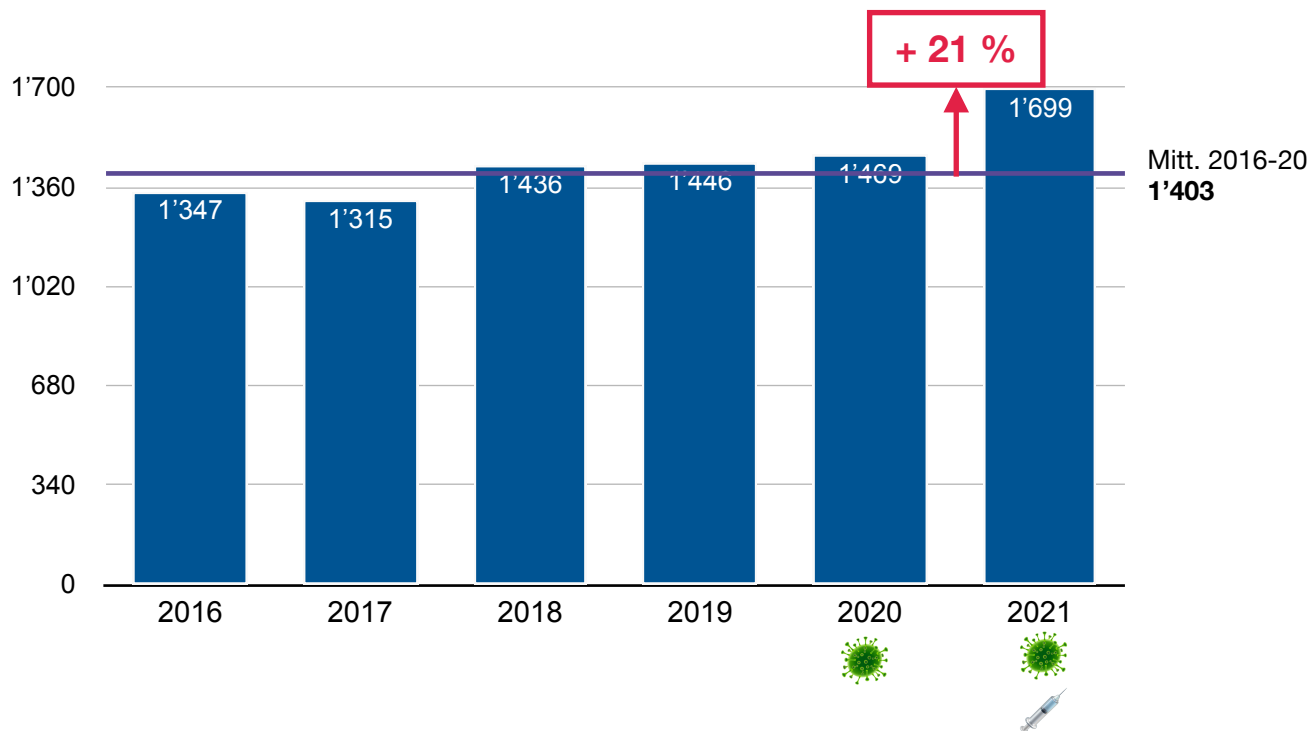


Bösartiger Tumor der großen und kleinen Schamlippe C510-511



Schamlippe		2016	2017	2018	2019	2020	2021
C510	Bösartiger Tumor der Oberlippe	58	44	46	50	43	66
C511	Bösartiger Tumor der kleinen Schamlippe	37	32	37	26	35	47
	Insgesamt	95	76	83	76	78	113

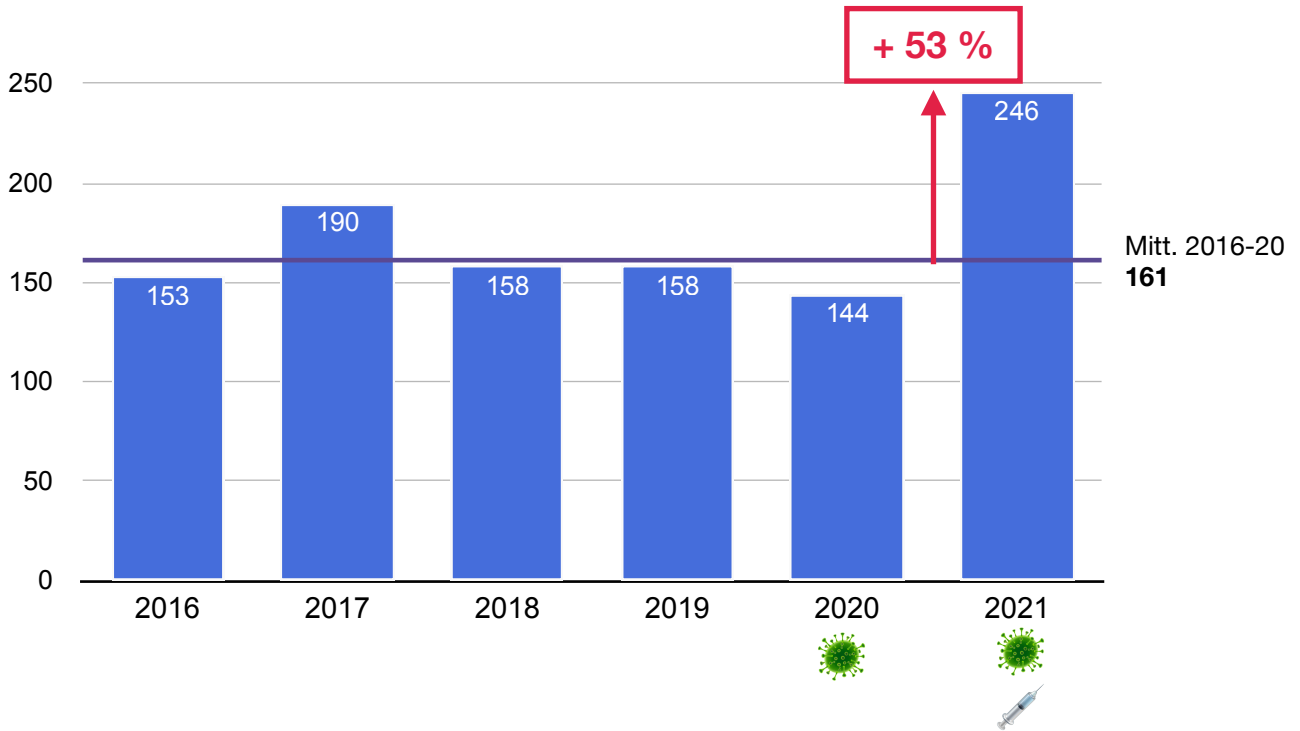
Schilddrüse und Nebenschilddrüse: gutartige, bösartige Tumore, Karzinome, Krankheit 40-69 Jahre



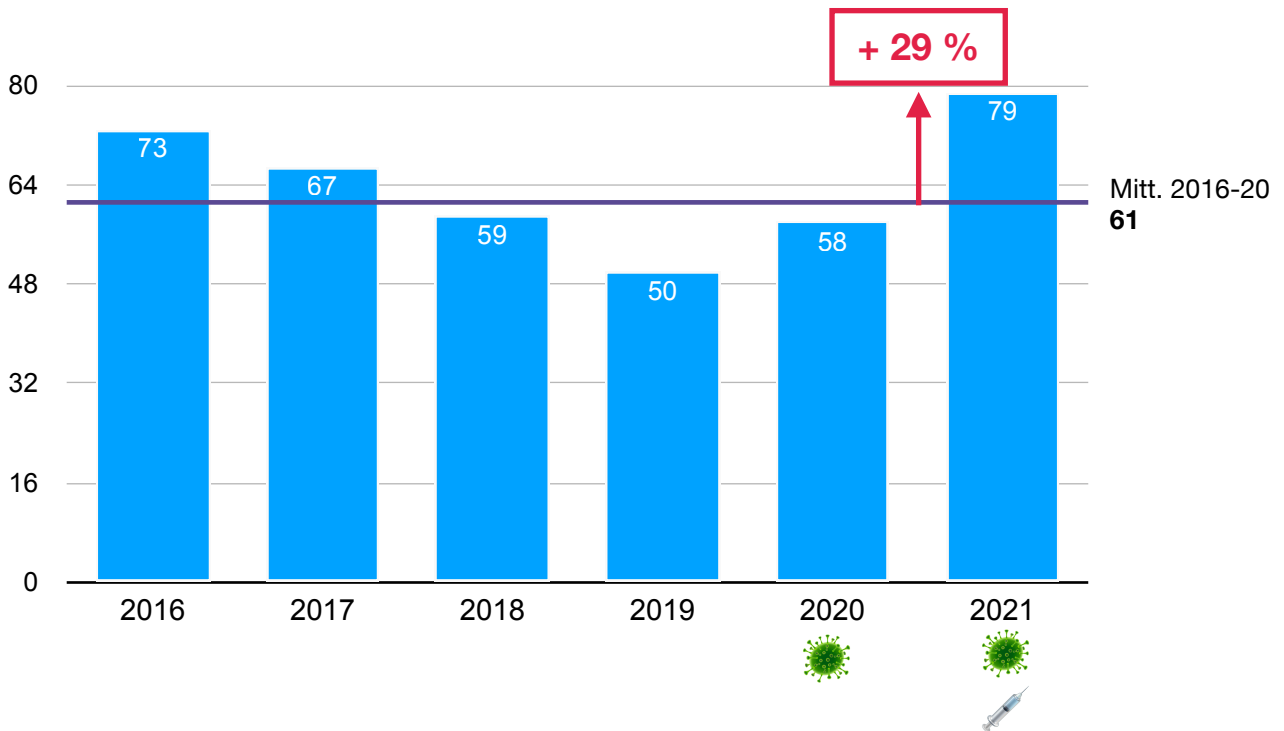
Anstieg um 17% in der Gesamtbevölkerung, 21% in der Altersgruppe 40-69, 7% in der Altersgruppe 15-39.

Schilddrüse und Nebenschilddrüse		2016	2017	2018	2019	2020	2021
C73	Bösartige Neubildung der Schilddrüse	928	835	889	884	909	1'013
C750	Bösartiger Tumor der Nebenschilddrüse	4	0	2	6	2	4
D093	Carcinoma in situ der Schilddrüse und anderer endokriner Drüsen	1	1	1	2	4	5
D34	Gutartiger Tumor der Schilddrüse	204	241	284	224	258	331
D351	Gutartiger Tumor einer Nebenschilddrüse	190	211	239	305	268	316
D440	Schilddrüsentumor mit unvorhersehbarem oder unbekanntem Verlauf	16	20	17	19	25	21
D442	Tumor der Nebenschilddrüse mit unvorhersehbarem oder unbekanntem Verlauf	1	1	0	3	0	0
E078	Andere näher bezeichnete Erkrankungen der Schilddrüse	0	4	3	2	2	6
E079	Nicht näher bezeichnete Erkrankung der Schilddrüse	1	0	0	0	0	0
E214	Andere näher bezeichnete Erkrankungen der Nebenschilddrüse	2	2	1	1	1	3
	Insgesamt	1'347	1'315	1'436	1'446	1'469	1'699

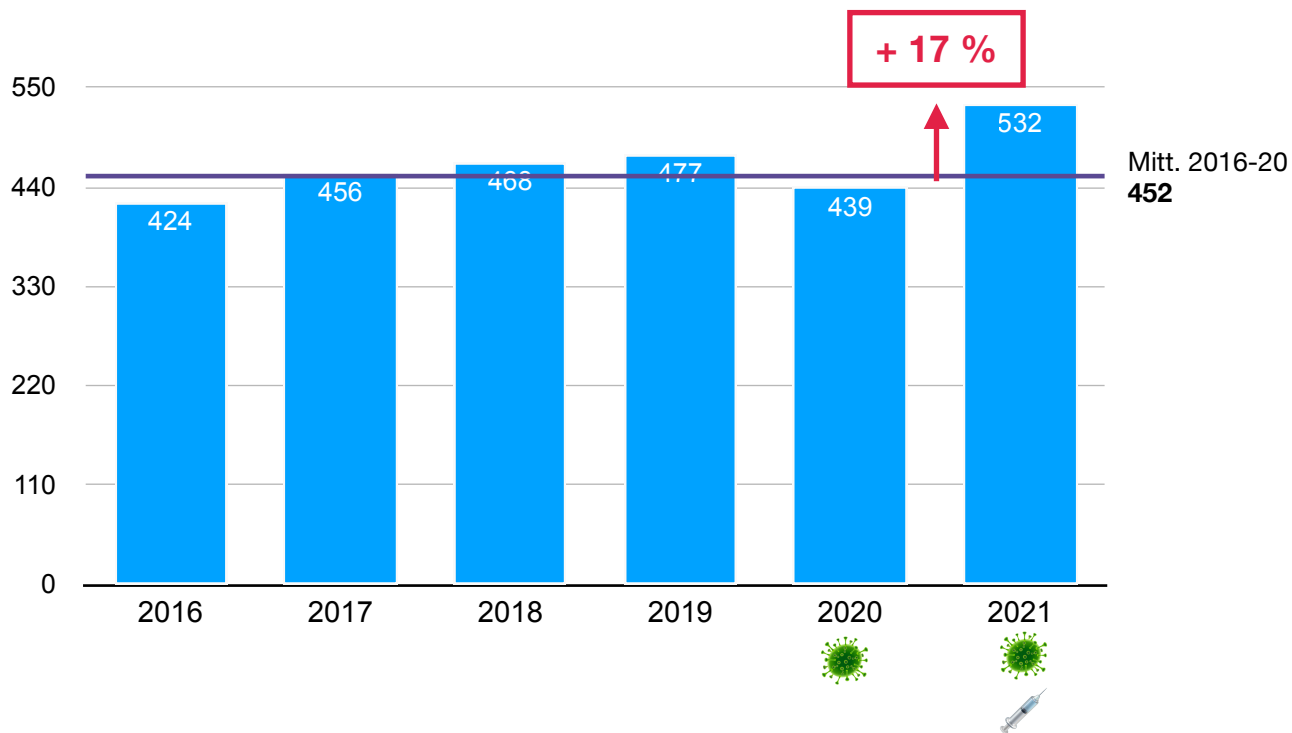
Eierstocktumor mit unvorhersehbarem Verlauf oder unbekannt D391



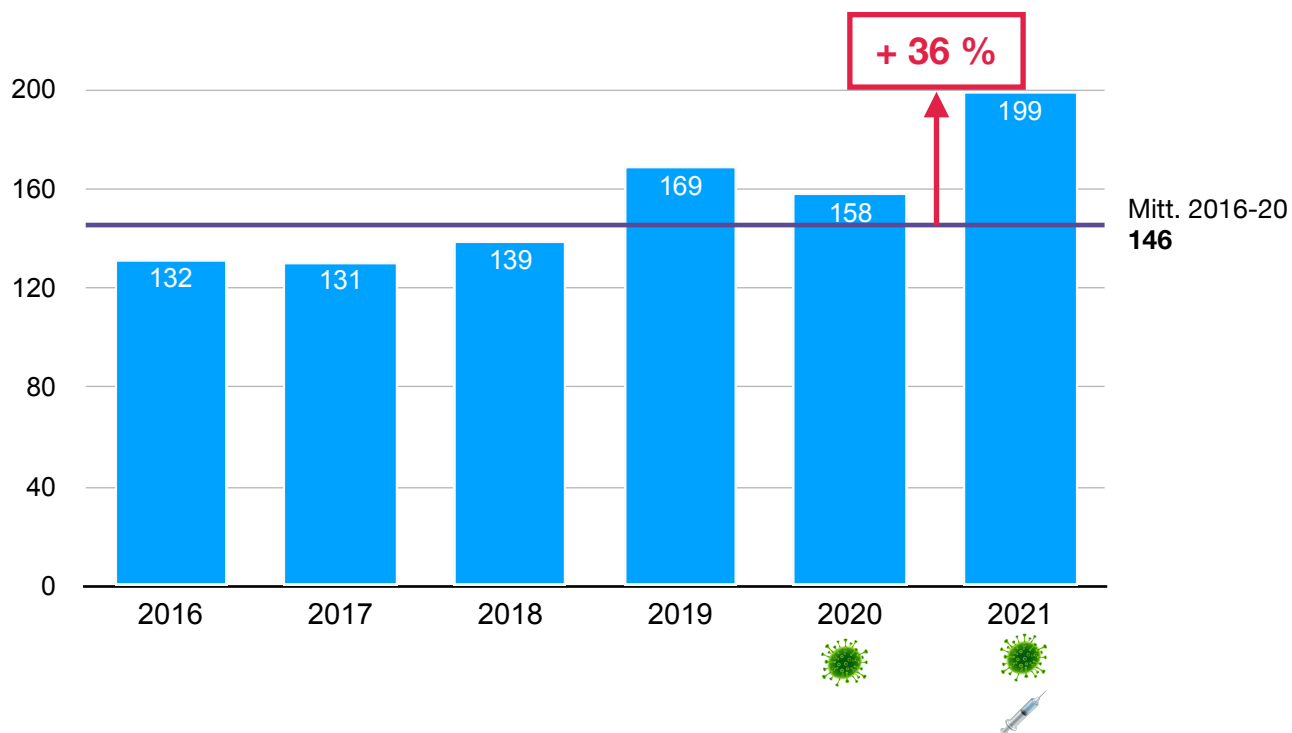
Intrakranielle Phlebitis und Thrombophlebitis und intrarachidale G08



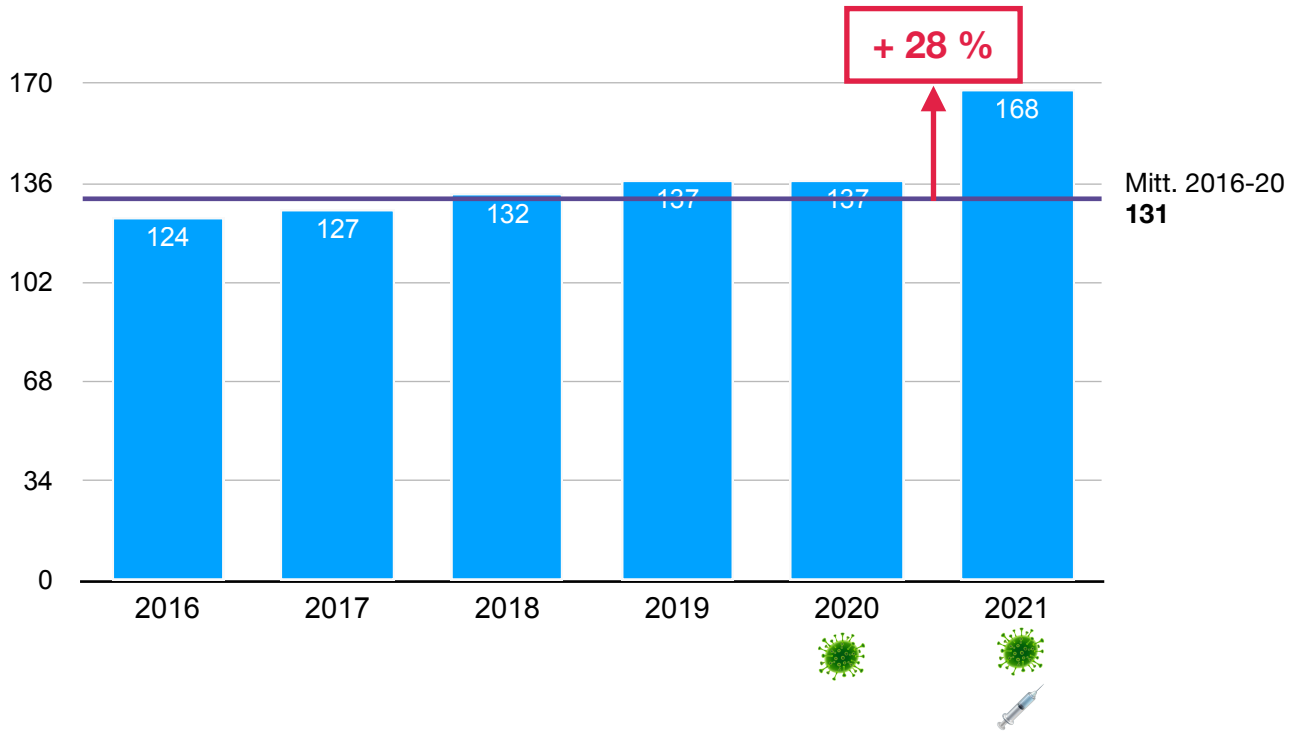
Krankheit des Motoneurons G122



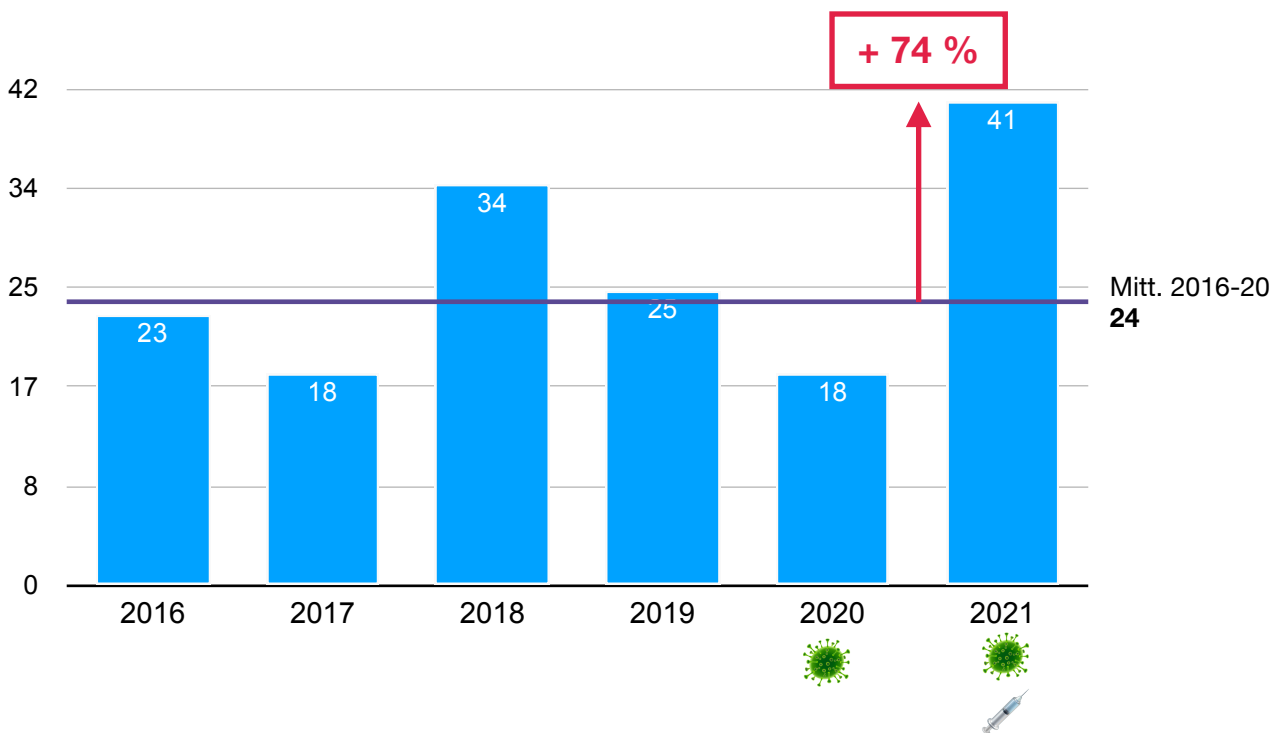
Erstes Auftreten von Multipler Sklerose G350



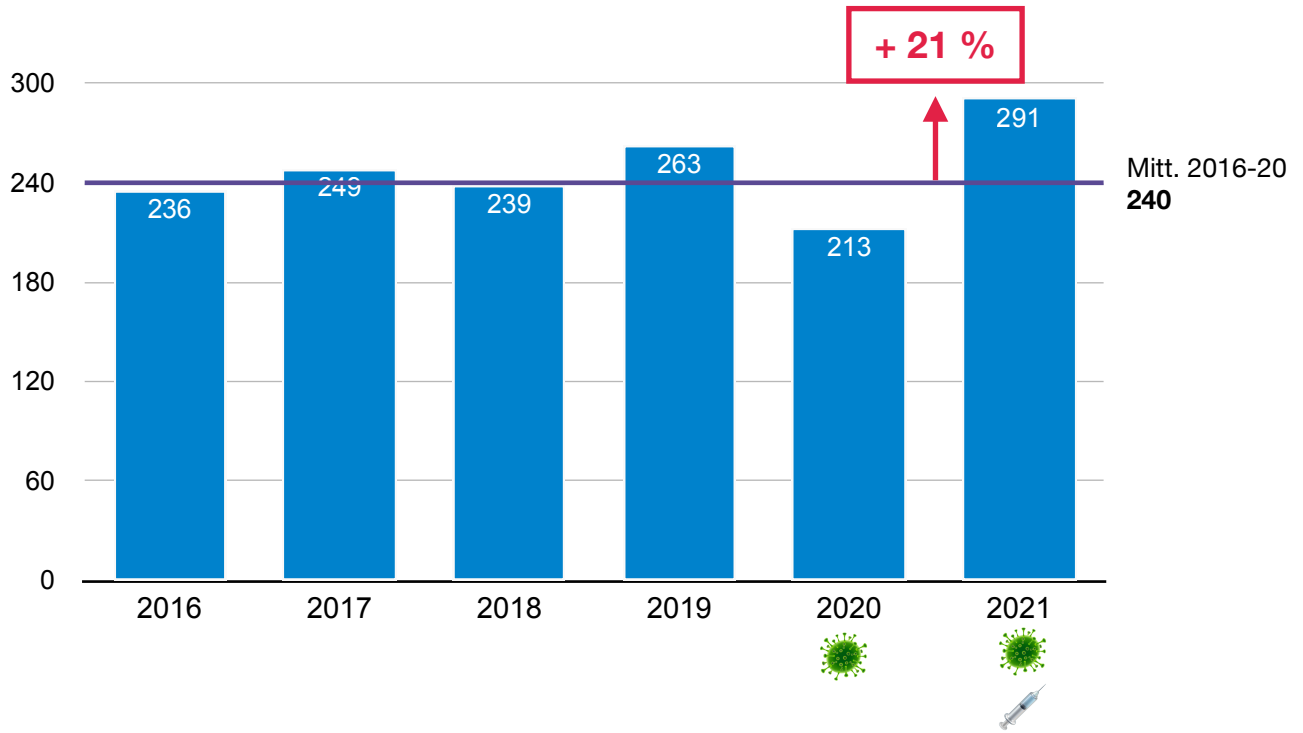
Tremor
G250-252



Akute transversale Myelitis bei demyelinisierenden Erkrankungen des zentralen Nervensystem
G373



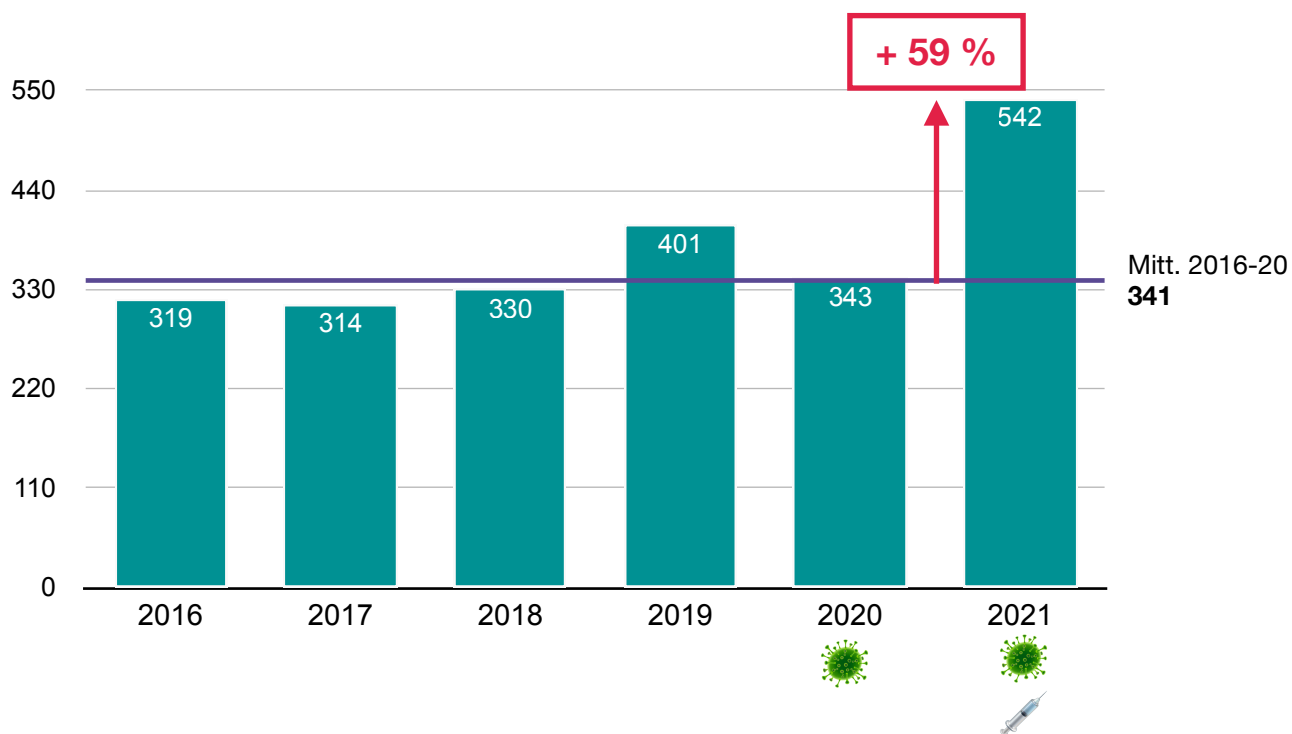
Hörverlust Code H900-908



Hörverlust		2016	2017	2018	2019	2020	2021
H900	Beidseitiger Hörverlust durch Schalleitungsstörung	26	25	20	27	15	16
H901	Einseitiger Hörverlust durch Schalleitungsstörung bei nicht eingeschränktem Hörvermögen der anderen Seite	47	58	59	51	29	73
H902	Hörverlust durch Schalleitungsstörung, nicht näher bezeichnet	18	20	24	16	9	14
H903	Beidseitiger Hörverlust durch Schallempfindungsstörung	68	78	72	89	89	115
H904	Einseitiger Hörverlust durch Schallempfindungsstörung bei nichteingeschränktem Hörvermögen der anderen Seite	9	11	10	13	20	13
H905	Hörverlust durch Schallempfindungsstörung, nicht näher bezeichnet	38	28	24	27	28	23
H906	Kombinierter beidseitiger Hörverlust durch Schalleitungs- und Schallempfindungsstörung	12	11	19	17	9	19
H907	Kombinierter einseitiger Hörverlust durch Schalleitungs- und Schallempfindungsstörung bei nicht eingeschränktem Hörvermögen der anderen Seite	10	12	7	21	11	13
H908	Kombinierter Hörverlust durch Schalleitungs- und Schallempfindungsstörung, nicht näher bezeichnet	8	6	4	2	3	5
	Insgesamt	236	249	239	263	213	291

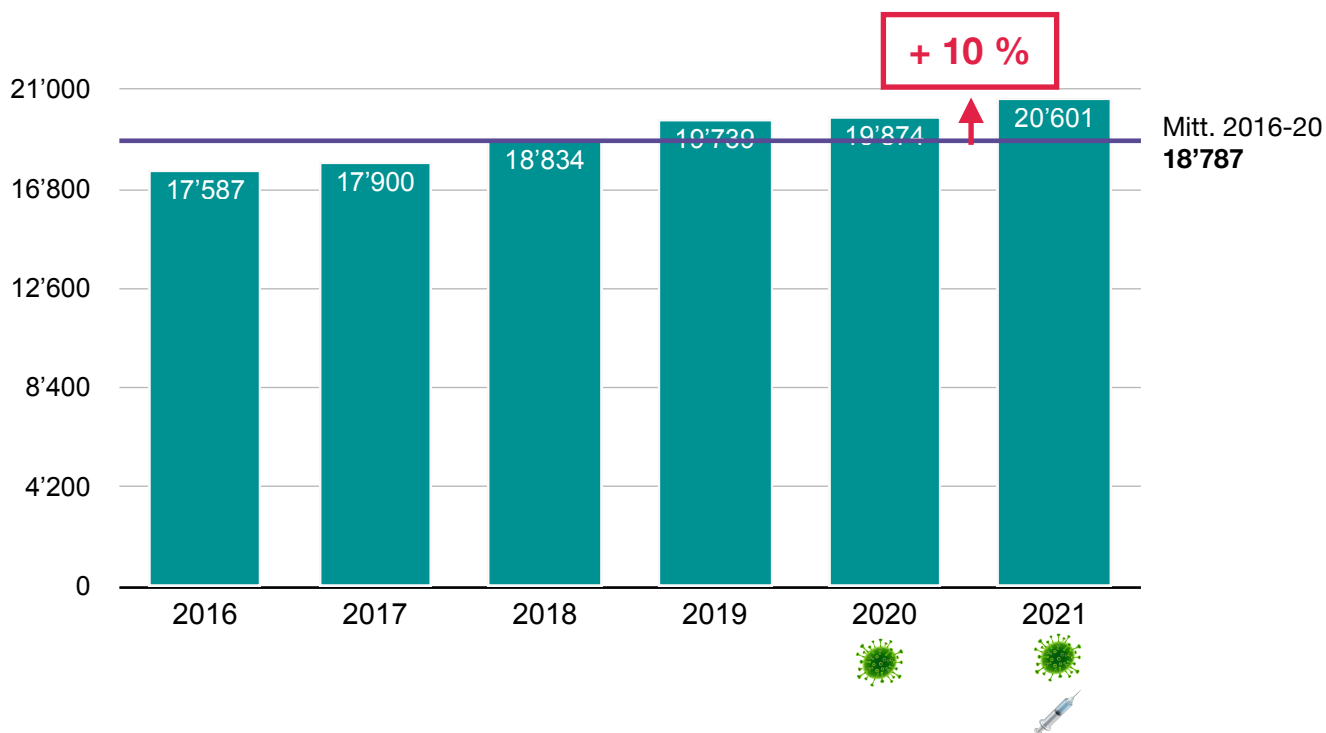
Myokarditis

Code I400-409-I514



	Myokarditis	2016	2017	2018	2019	2020	2021
I400	Infektiöse Myokarditis	91	93	95	123	108	130
I401	Isolierte Myokarditis	7	8	10	9	6	9
I408	Andere akute Myokarditis	75	83	89	120	115	231
I409	Akute Myokarditis, nicht näher bezeichnet	96	92	79	90	66	88
I514	Myokarditis, nicht näher bezeichnet	50	38	57	59	48	84
	Insgesamt	319	314	330	401	343	542

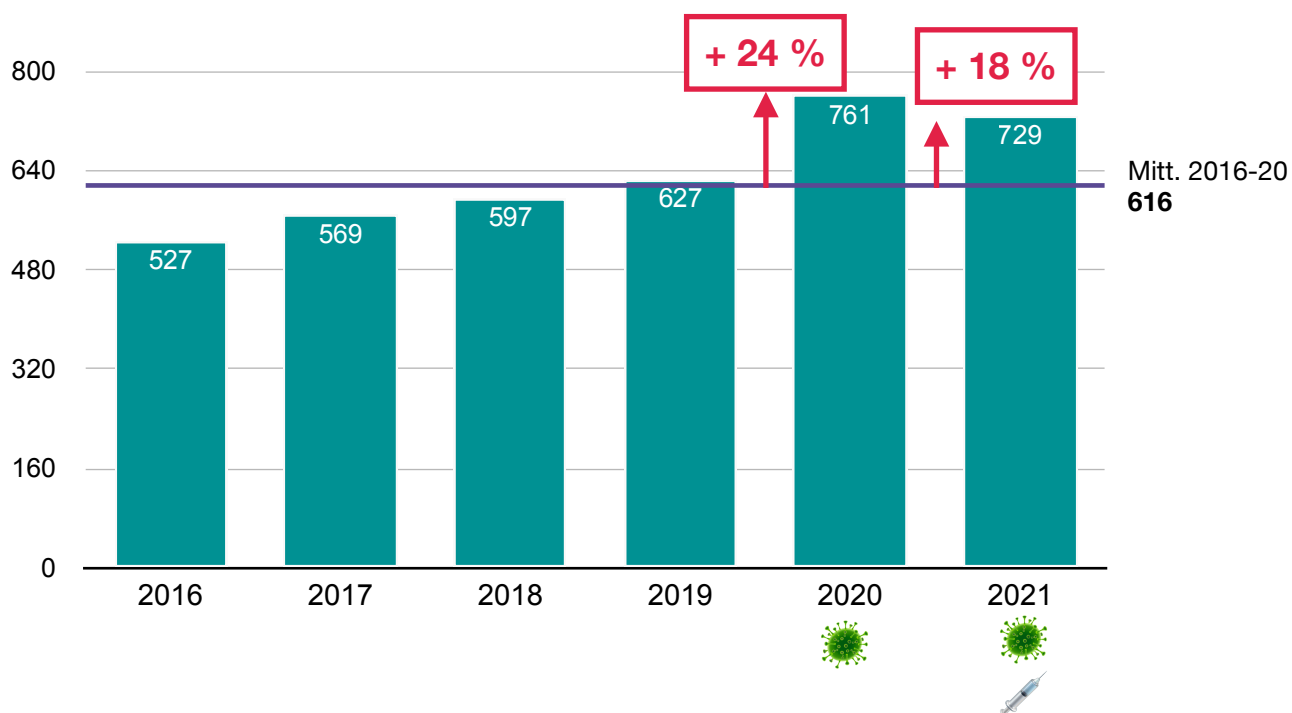
Zerebraler Infarkt, Schlaganfall Code I630-I64



	Hirninformat	2016	2017	2018	2019	2020	2021
I630	Hirninformat durch Thrombose der extrakraniellen hirnersorgenden Arterien	569	542	552	555	505	499
I631	Hirninformat durch Embolie der extrakraniellen hirnersorgenden Arterien	527	569	597	627	761	729
I632	Hirninformat durch nicht nher bezeichneten Verschluss oder Stenose der extrakraniellen hirnersorgenden Arterien	1'061	1'086	1'293	1'194	1'273	1'231
I633	Hirninformat durch Thrombose intrakranieller Arterien	1'150	1'207	1'131	1'400	1'259	1'323
I634	Hirninformat durch Embolie intrakranieller Arterien	4'801	4'960	5'387	5'826	6'003	6'594
I635	Hirninformat durch nicht nher bezeichneten Verschluss oder Stenose intrakranieller Arterien	4'104	4'092	4'689	5'156	4'954	4'925
I636	Hirninformat durch Thrombose der Hirnvenen, nichteitrig	30	37	29	38	49	44
I638	Sonstiger Hirninformat	2'453	2'664	2'580	2'596	2'916	3'141
I639	Hirninformat, nicht nher bezeichnet	1'747	1'648	1'502	1'255	1'249	1'273
I64	Schlaganfall, nicht als Blutung oder Infarkt bezeichnet	1'145	1'095	1'074	1'092	905	842
	Insgesamt	17'587	17'900	18'834	19'739	19'874	20'601

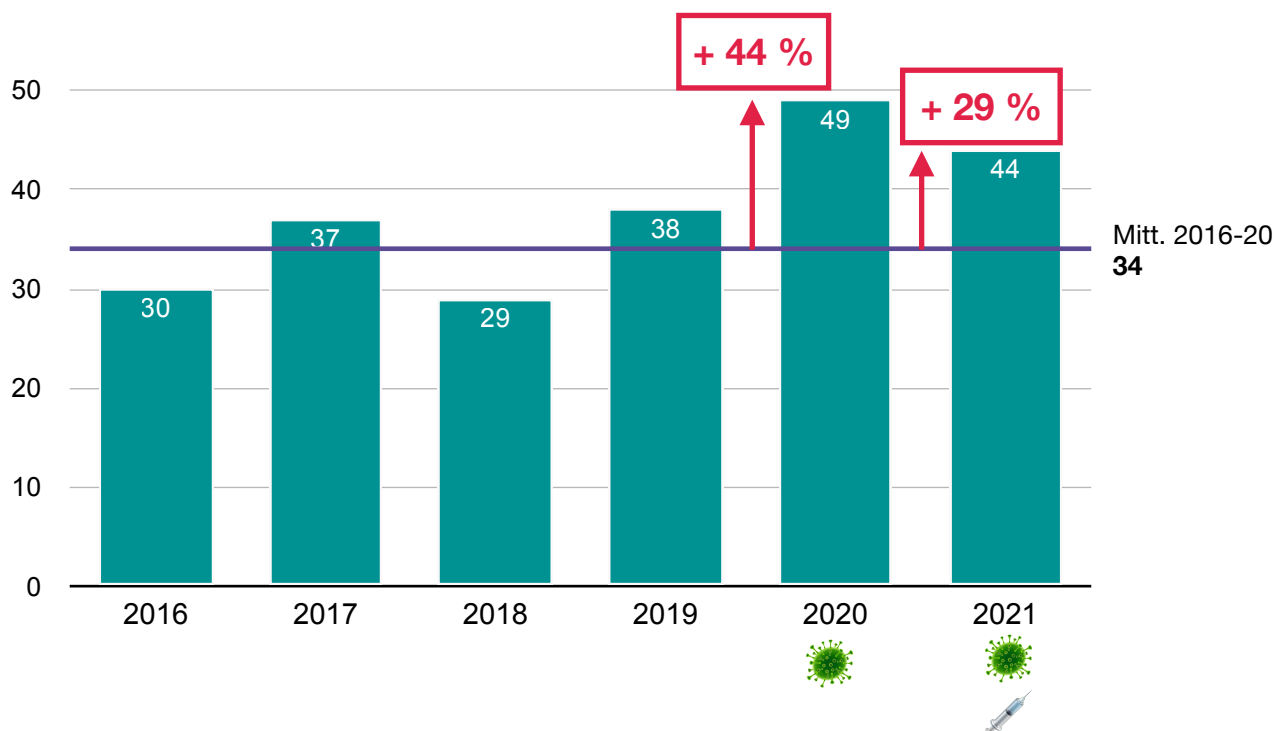
Hirnfarkt aufgrund einer Embolie in den Arterien vor dem Gehirn

Code I631



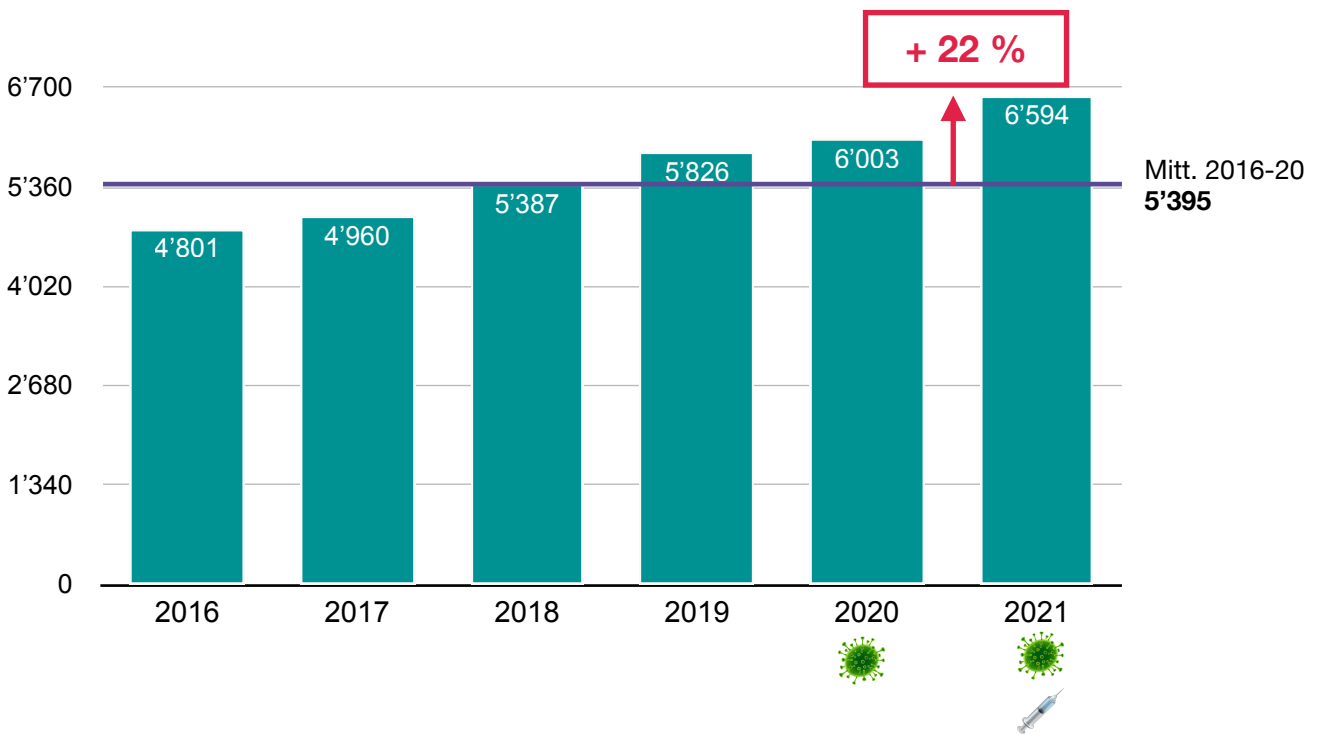
Zerebraler Infarkt aufgrund eine zerebralen Venenthrombose

Code I636

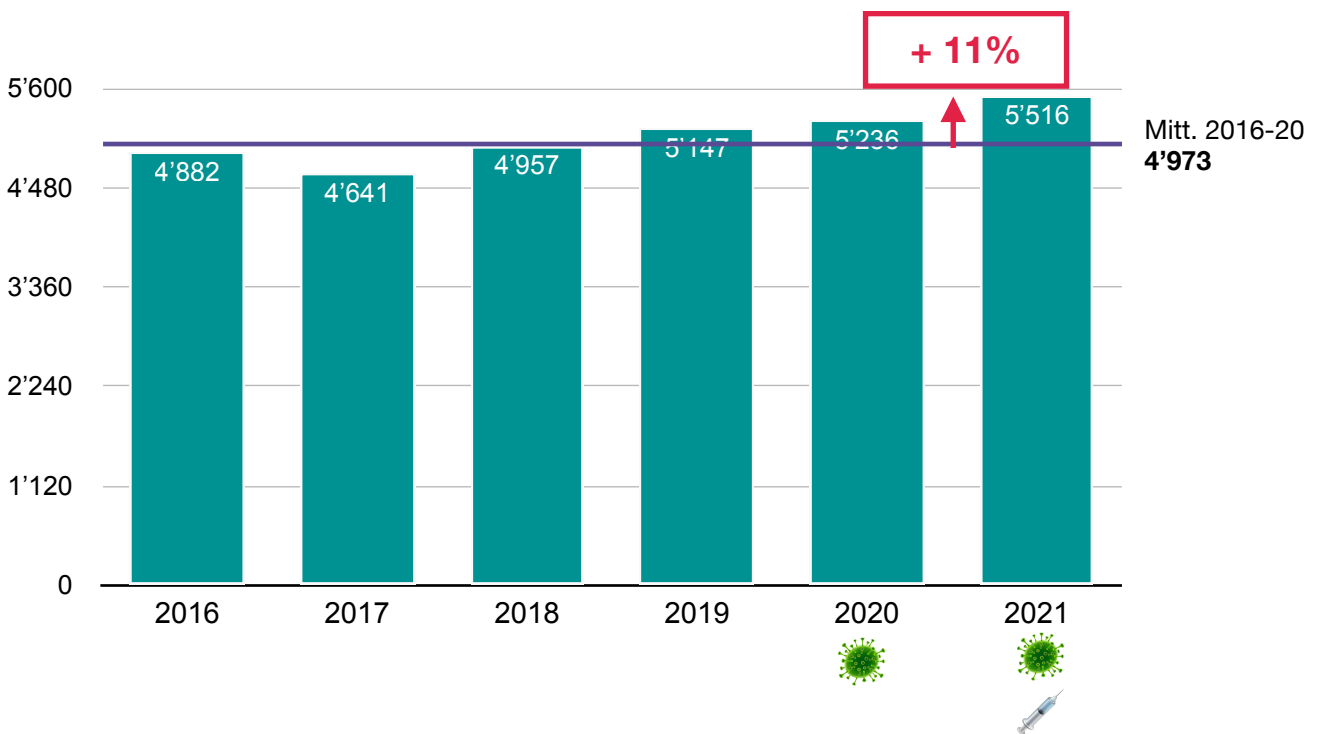


Spike, egal woher er kommt, kann Thrombosen und in der Folge Embolien verursachen. Das haben Autopsien ergeben. Ärzte sollten nun wissen, wie sie die Risikofaktoren vorhersagen und vorbeugen können.

Hirnfarkt aufgrund einer Embolie der Hirnarterien Code I634

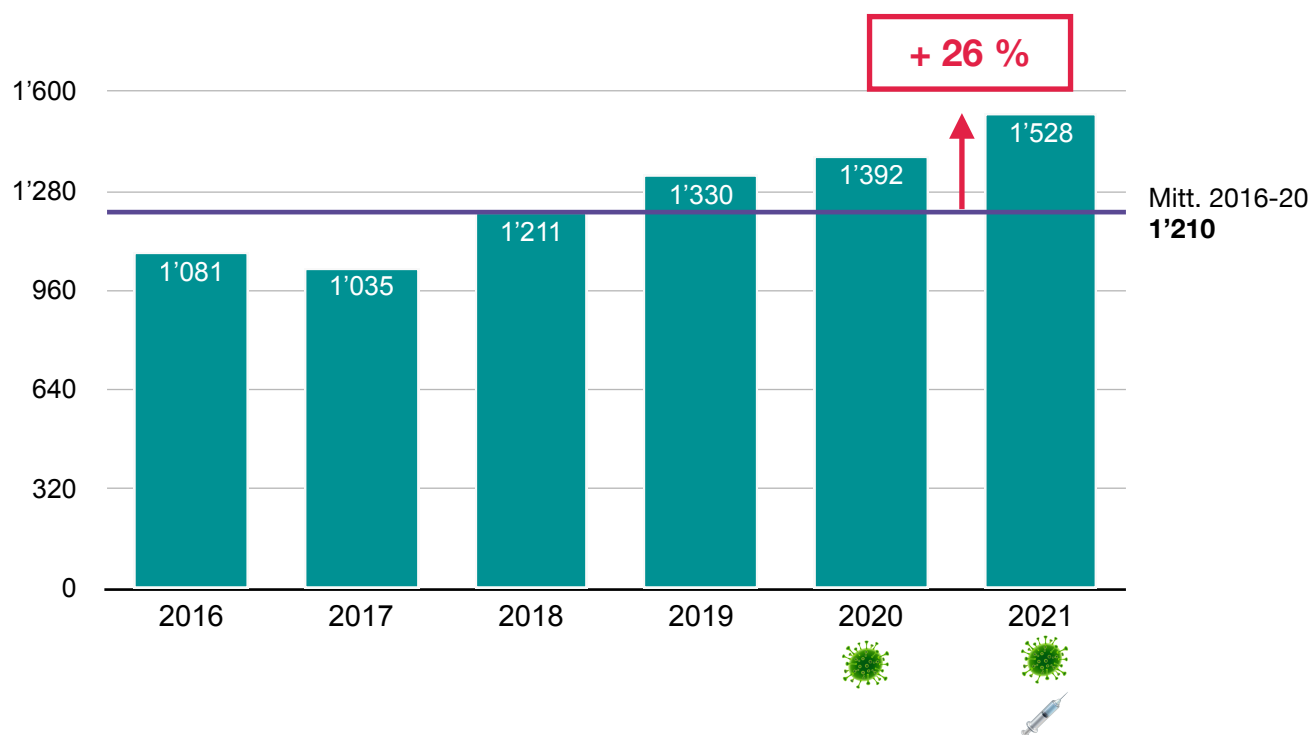


Lungenembolie mit oder ohne Angabe eines akuten Cor pulmonale Code I260+I269



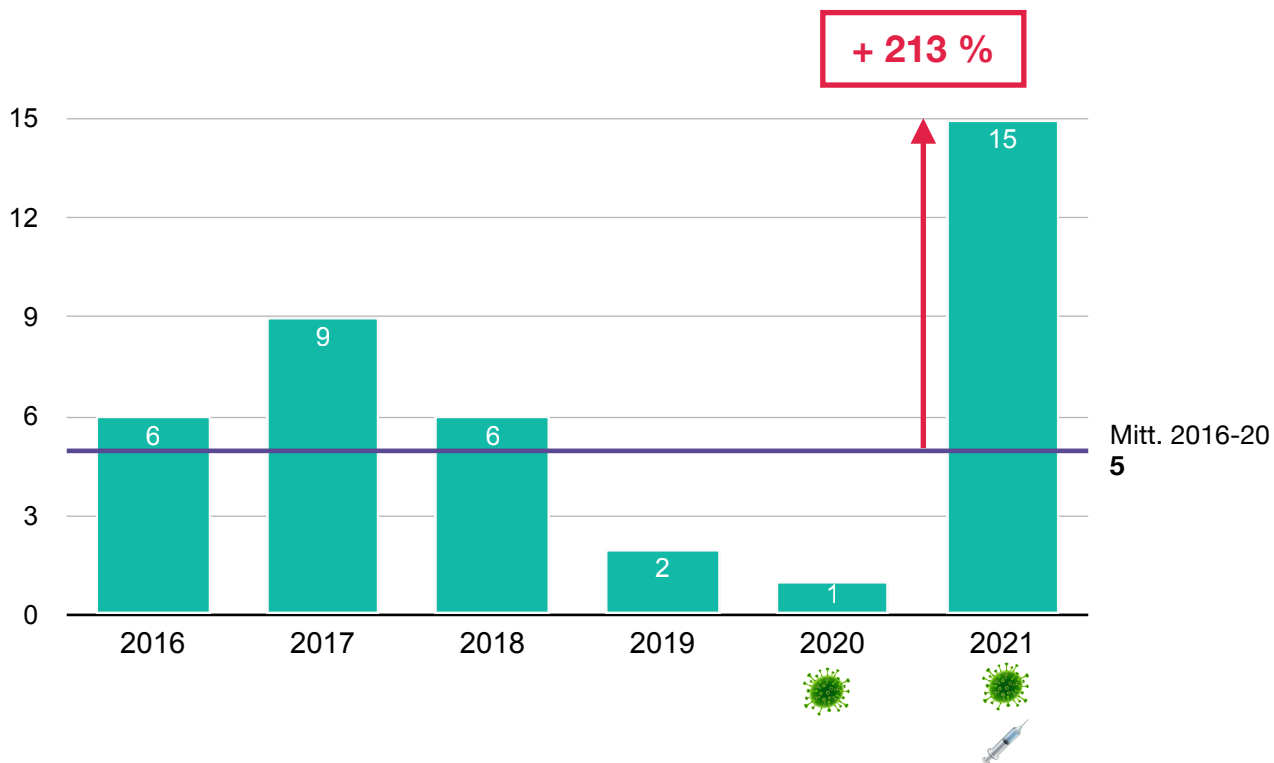
Diese sind im Jahr 2021 höher.

Lungenembolie mit Angabe eines akuten Cor pulmonale Code I260

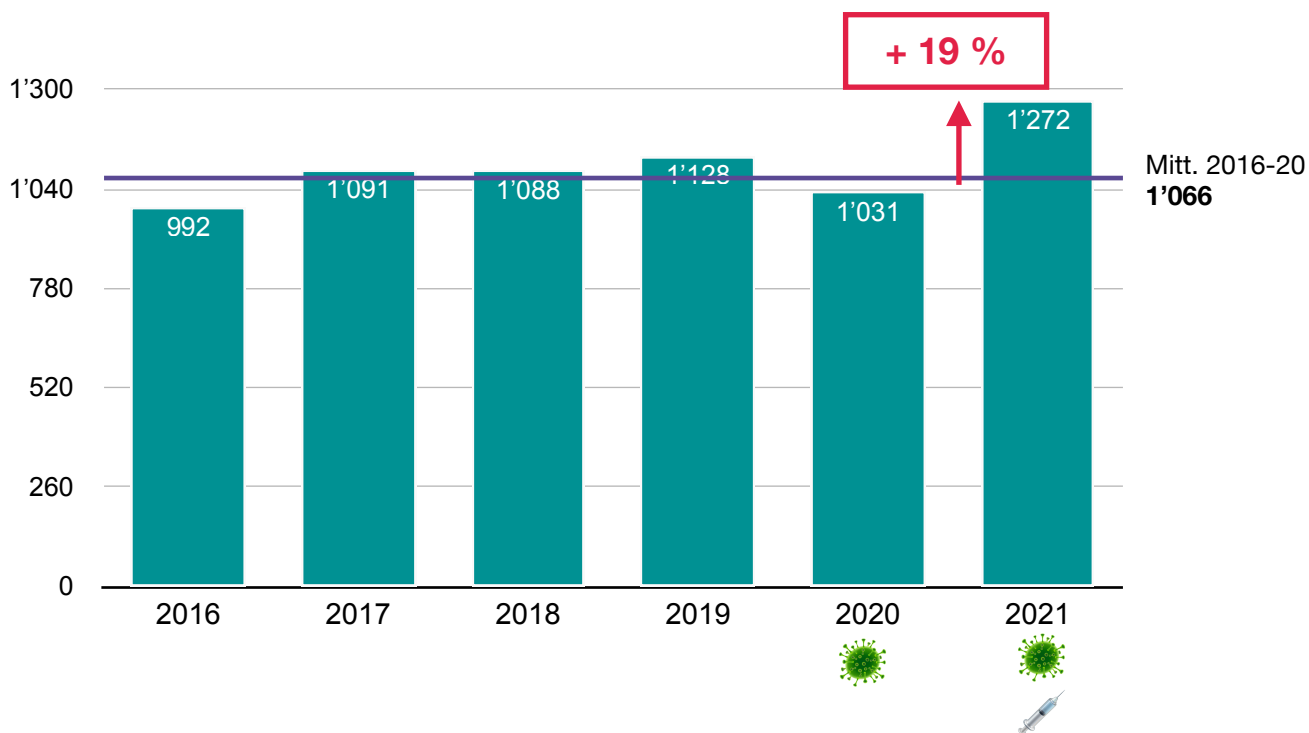


Lungenembolie		2016	2017	2018	2019	2020	2021
I260	Lungenembolie mit Angabe eines akuten Cor pulmonale	1'081	1'035	1'211	1'330	1'392	1'528
I269	Lungenembolie ohne Angabe eines akuten Cor pulmonale	3'801	3'606	3'746	3'817	3'844	3'988
	Insgesamt	4'882	4'641	4'957	5'147	5'236	5'516

Akute nekrotisierende Epidermolyse: Befall von 30 % und mehr Code L5121



Arthritis und Polyarthritis Code M0000-0099

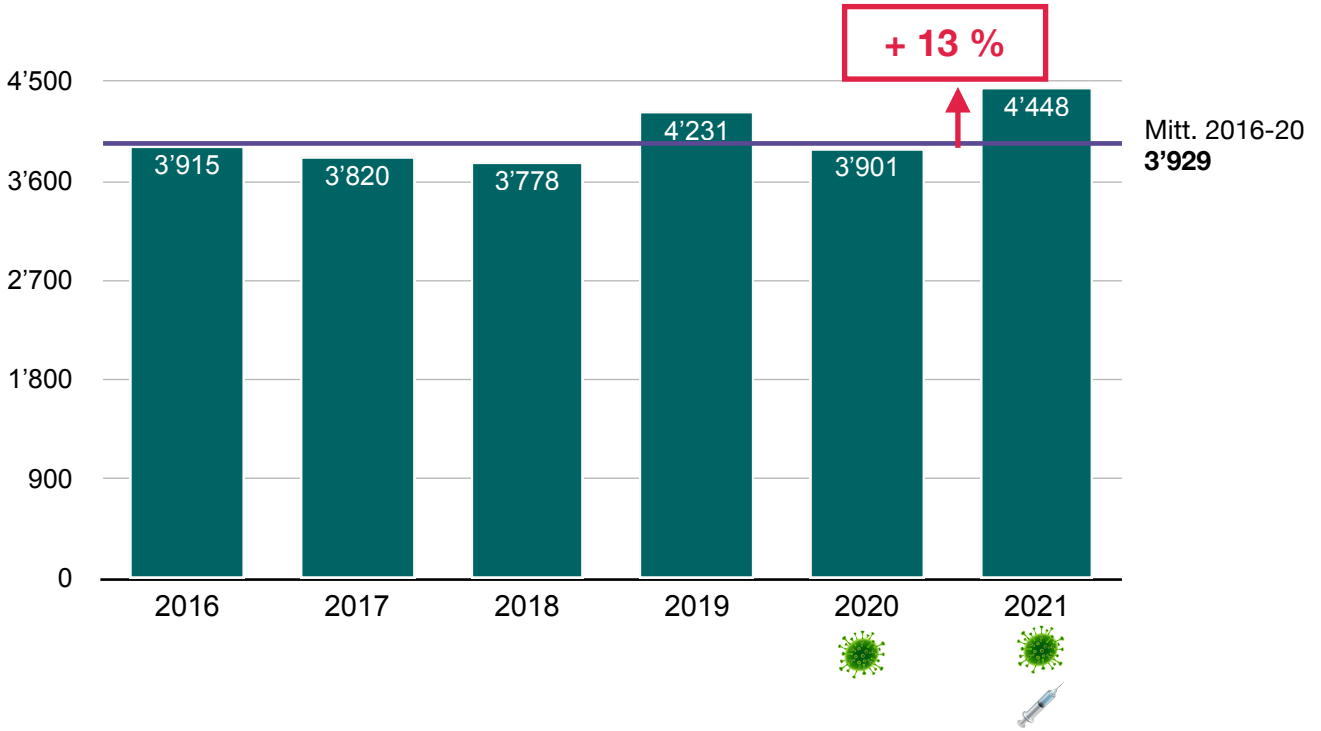


	Arthritis + Polyarthritis	2016	2017	2018	2019	2020	2021
M0000	Durch Staphylokokken verursachte Arthritis und Polyarthritis, multiple Sitze	6	3	5	7	5	3
M0001	Staphylokokken-Arthritis und -Polyarthritis, Akromio-Clavicular-, Scapulo-Humeral- und Sterno-Clavicular-Gelenk	56	59	75	64	71	79
M0002	Staphylokokken-Arthritis und -Polyarthritis, Ellenbogengelenk	5	7	10	8	14	8
M0003	Arthritis und Polyarthritis durch Staphylokokken, Handgelenksgelenk	15	16	14	24	14	14
M0004	Arthritis und Polyarthritis durch Staphylokokken, Gelenke zwischen den Handwurzelknochen, Mittelhandknochen und Fingern der Hand	44	64	55	67	83	85
M0005	Staphylokokken-Arthritis und -Polyarthritis, Hüft- und Iliosakralgelenke	50	39	41	55	45	69
M0006	Arthritis und Polyarthritis durch Staphylokokken, Kniegelenk	136	144	135	153	138	201
M0007	Arthritis und Polyarthritis durch Staphylokokken, Knöchel- und Fußgelenke	72	77	80	72	57	59
M0008	Staphylokokken-Arthritis und -Polyarthritis, andere	5	3	8	3	7	10
M0009	Staphylokokken-bedingte Arthritis und Polyarthritis, nicht näher bezeichneter Sitz	0	1	1	0	0	1
M0010	Durch Pneumokokken verursachte Arthritis und Polyarthritis, multiple Sitze	0	1	0	0	2	1
M0011	Durch Pneumokokken verursachte Arthritis und Polyarthritis, Akromio-Clavicular-, Scapulo-Humeral- und Sterno-Clavicular-Gelenk	0	6	6	7	3	1
M0013	Arthritis und Polyarthritis durch Pneumokokken, Handgelenk	0	1	1	1	0	0
M0015	Durch Pneumokokken verursachte Arthritis und Polyarthritis, Hüftgelenke und Iliosakralgelenke	0	1	3	2	1	5
M0016	Durch Pneumokokken verursachte Arthritis und Polyarthritis, Kniegelenk	5	5	1	7	2	3
M0017	Durch Pneumokokken verursachte Arthritis und Polyarthritis, Knöchel- und Fußgelenke	1	2	3	1	2	2
M0020	Andere durch Streptokokken verursachte Arthritis und Polyarthritis, multiple Sitze	4	3	24	2	3	21

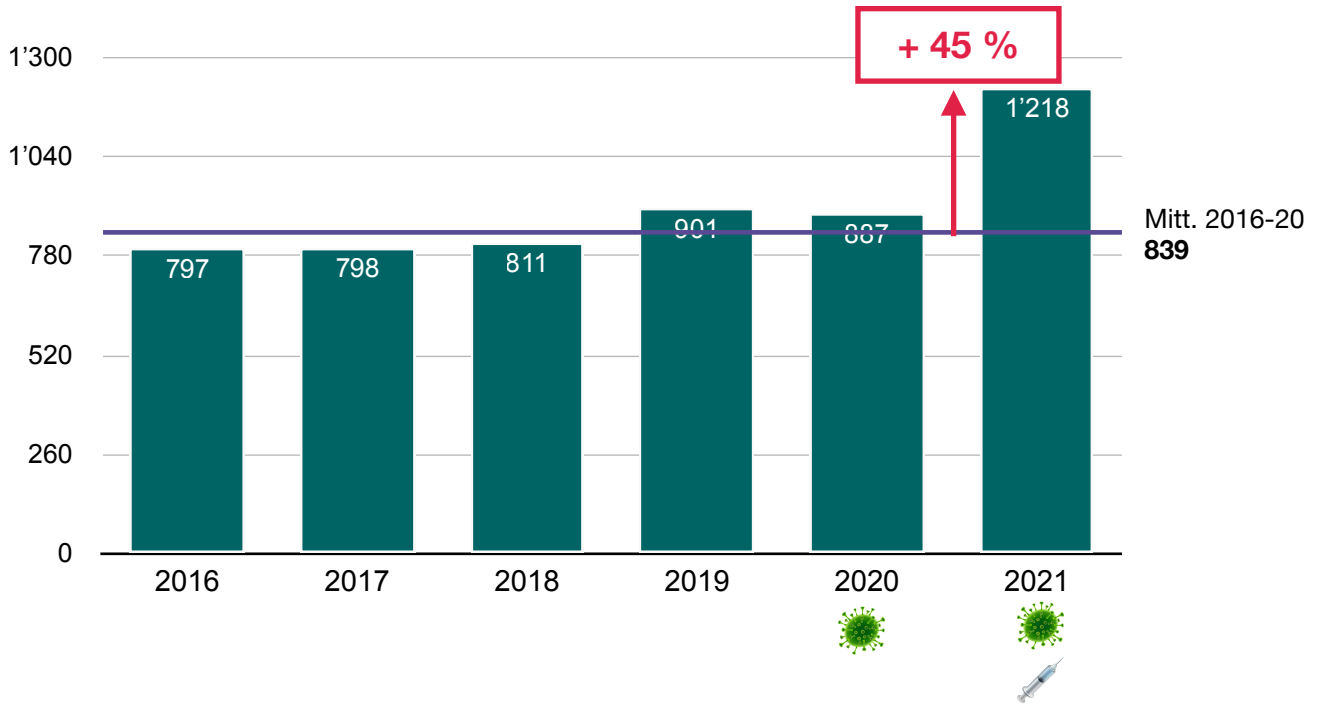
Arthritis + Polyarthritis		2016	2017	2018	2019	2020	2021
M0021	Sonstige Streptokokken-Arthritis und -Polyarthritis, Akromioklavikular-, Skapulohumeral- und Sternoklavikulargelenke	16	21	2	23	21	3
M0022	Sonstige durch Streptokokken verursachte Arthritis und Polyarthritis, Ellenbogengelenk	4	1	2	1	2	7
M0023	Sonstige Streptokokken-Arthritis und -Polyarthritis, Handgelenk	9	2	17	4	7	15
M0024	Sonstige Streptokokkenarthritis und -polyarthritis, Gelenke zwischen den Handwurzelknochen, Mittelhandknochen und Fingern der Hand	15	15	18	22	13	22
M0025	Sonstige Streptokokken-Arthritis und -Polyarthritis, Hüft- und Iliosakralgelenke	20	13	37	13	15	60
M0026	Sonstige durch Streptokokken verursachte Arthritis und Polyarthritis, Kniegelenk	25	46	12	39	49	13
M0027	Sonstige durch Streptokokken verursachte Arthritis und Polyarthritis, Knöchel- und Fußgelenke	11	11	3	14	9	1
M0028	Andere durch Streptokokken verursachte Arthritis und Polyarthritis, andere	6	1	1	1	1	0
M0080	Arthritis und Polyarthritis, verursacht durch andere spezifizierte Bakterien, multiple Sitze	1	37	23	29	3	1
M0081	Arthritis und Polyarthritis durch andere näher bezeichnete Bakterien, Akromioklavikular-, Skapulohumeral- und Sternoklavikulargelenke	23	5	6	2	38	47
M0082	Arthritis und Polyarthritis, verursacht durch andere näher bezeichnete Bakterien, Ellbogengelenk	5	1	7	11	6	3
M0083	Arthritis und Polyarthritis, verursacht durch andere spezifizierte Bakterien, Handgelenk	4	27	26	21	8	6
M0084	Arthritis und Polyarthritis, verursacht durch andere näher bezeichnete Bakterien, Gelenke zwischen Handwurzelknochen, Mittelhandknochen und Fingern der Hand	32	21	15	15	28	45
M0085	Arthritis und Polyarthritis, verursacht durch andere spezifizierte Bakterien, Hüft- und Iliosakralgelenke	28	64	57	57	19	38
M0086	Arthritis und Polyarthritis, verursacht durch andere näher bezeichnete Bakterien, Kniegelenk	53	17	22	23	55	68

Arthritis + Polyarthritis		2016	2017	2018	2019	2020	2021
M0087	Arthritis und Polyarthritis, die durch andere spezifizierete Bakterien verursacht werden, Knöchel- und Fußgelenke	26	4	5	2	9	26
M0090	Arthritis durch Pyogenes-Bakterien, nicht näher bezeichnet, multiple Sitze	2	2	1	2	2	3
M0091	Arthritis durch Pyogen-Bakterien, nicht näher bezeichnet, Akromioklavikular-, Scapulohumeral- und Sternoklavikulargelenke	3	38	47	47	33	5
M0092	Arthritis durch pyogene Bakterien, nicht näher bezeichnet, Ellenbogengelenk	40	16	18	16	13	36
M0093	Arthritis durch Pyrogenbakterien, nicht näher bezeichnet, Handgelenke	11	11	10	18	17	13
M0094	Arthritis durch Pyrogenbakterien, nicht näher bezeichnet, Gelenke zwischen den Knochen der Handwurzel, der Mittelhand und der Finger der Hand	5	89	76	63	73	19
M0095	Arthritis durch Pyrogenbakterien, nicht näher bezeichnet, Hüftgelenke und Iliosakralgelenke	69	32	32	40	27	74
M0096	Arthritis durch pyogene Bakterien, nicht näher bezeichnet, Kniegelenk	39	104	122	131	88	31
M0097	Arthritis durch Pyrogenbakterien, nicht näher bezeichnet, Knöchel- und Fußgelenke, andere	106	70	49	47	40	118
M0098	Arthritis durch pyogene Bakterien, nicht näher bezeichnet, andere	34	4	6	6	6	54
M0099	Arthritis durch Pyrogenbakterien, nicht näher bezeichnet, Sitz nicht näher bezeichnet	6	7	12	8	2	2
	Insgesamt	992	1091	1088	1128	1031	1272

Endometriose Code N800-809

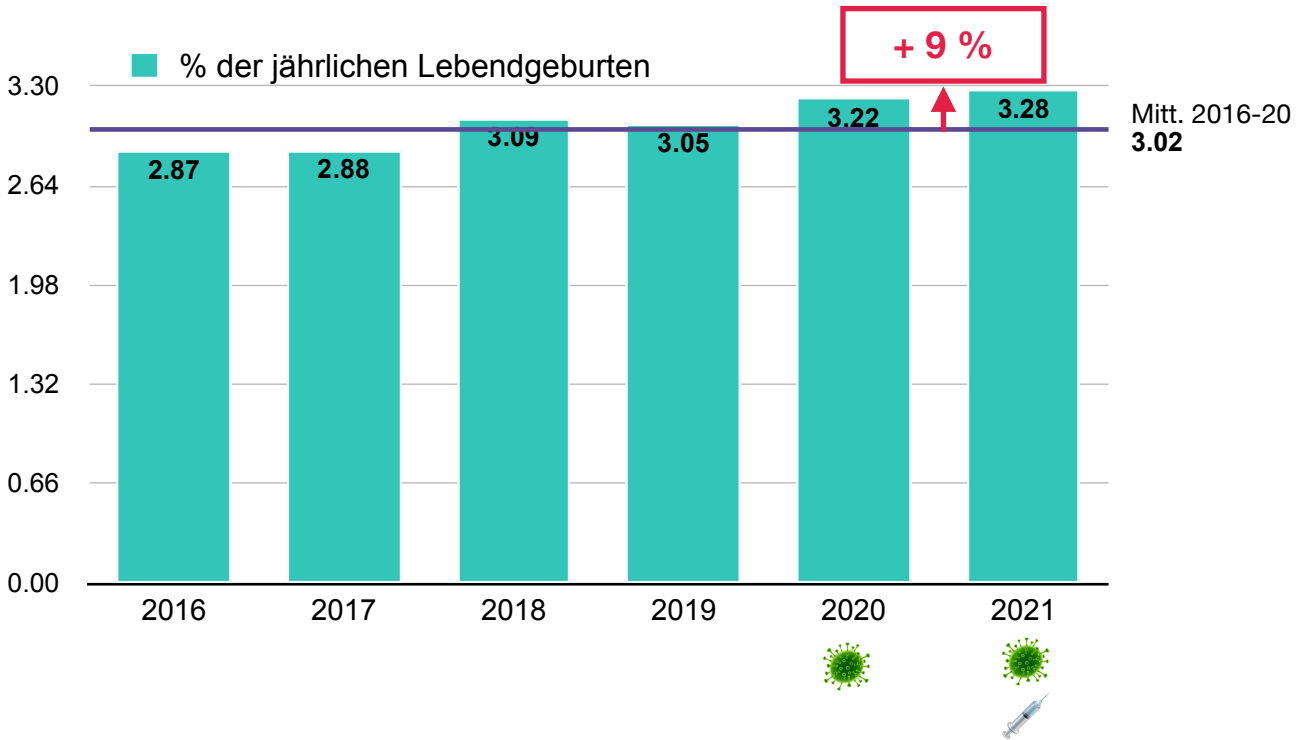


Endometriose des Beckenperitoneums Code N803

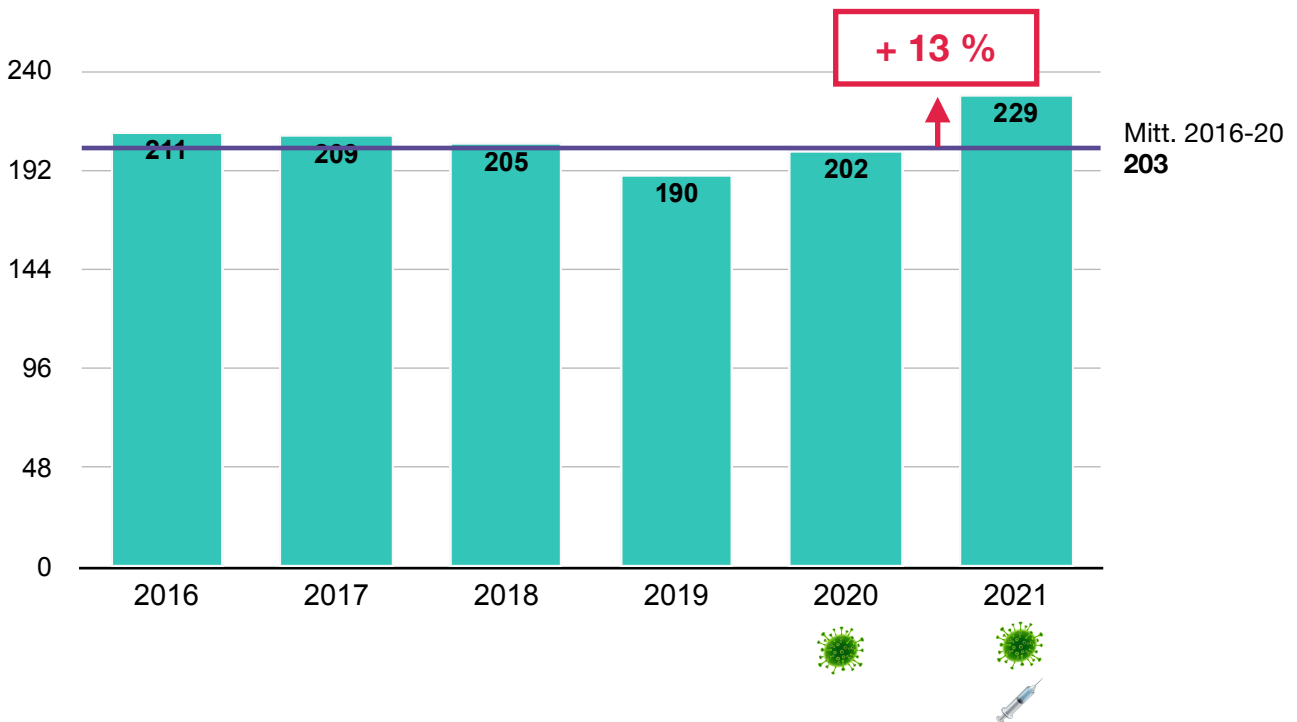


Endometriose		2016	2017	2018	2019	2020	2021
N800	Endometriose der Gebärmutter	1'529	1'510	1'419	1'655	1'451	1'484
N801	Endometriose des Eierstocks	1'053	986	1'038	1'142	1'036	1'167
N802	Endometriose des Eileiters	59	56	43	45	46	57
N803	Endometriose des Beckenperitoneums	797	798	811	901	887	1'218
N804	Endometriose des rektovaginalen Septums und der Vagina	113	118	121	156	148	150
N805	Endometriose des Darms	66	65	58	69	60	74
N806	Endometriose auf Hautnarben	46	43	46	32	44	35
N808	Sonstige Endometriose	209	218	200	199	198	233
N809	Endometriose	43	26	42	32	31	30
	Insgesamt	3'915	3'820	3'778	4'231	3'901	4'448

Betreuung der Mutter bei einer Schädigung des Fötus Code O353-369

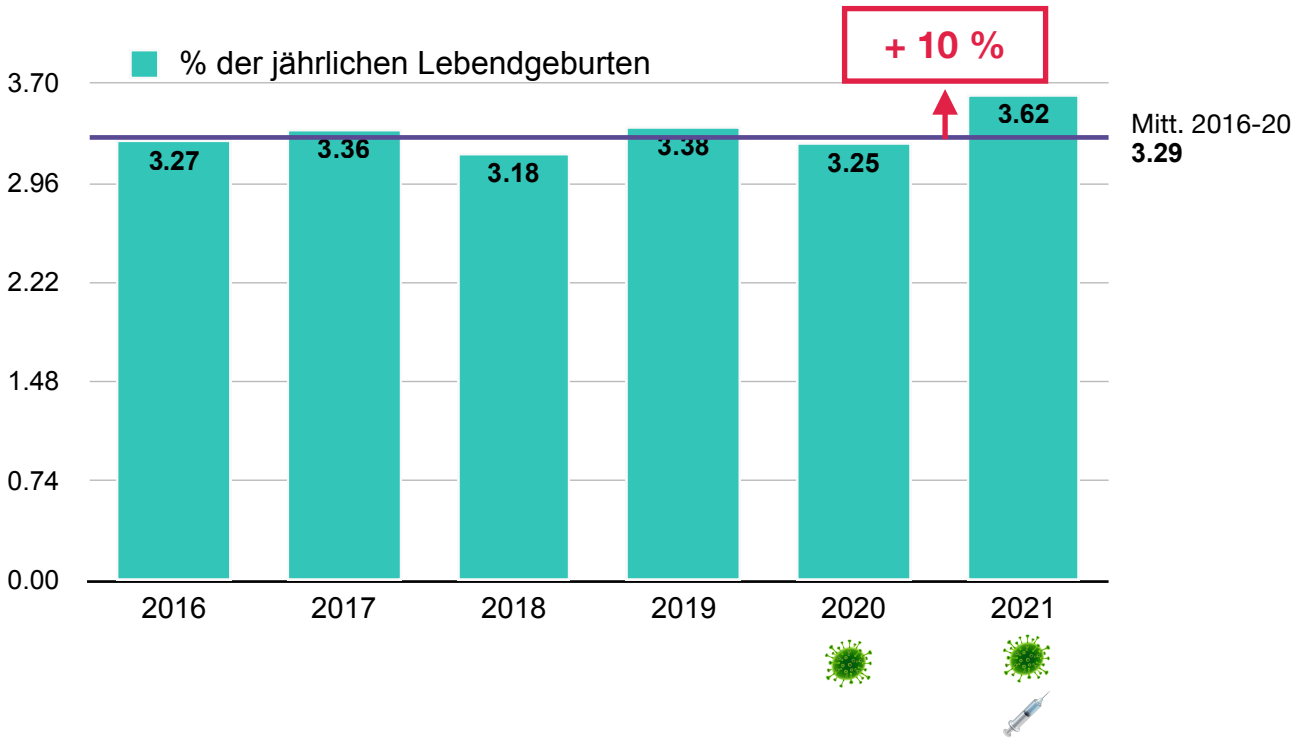


Betreuung der Mutter wegen intrauterinen Fruchttodes Code O364

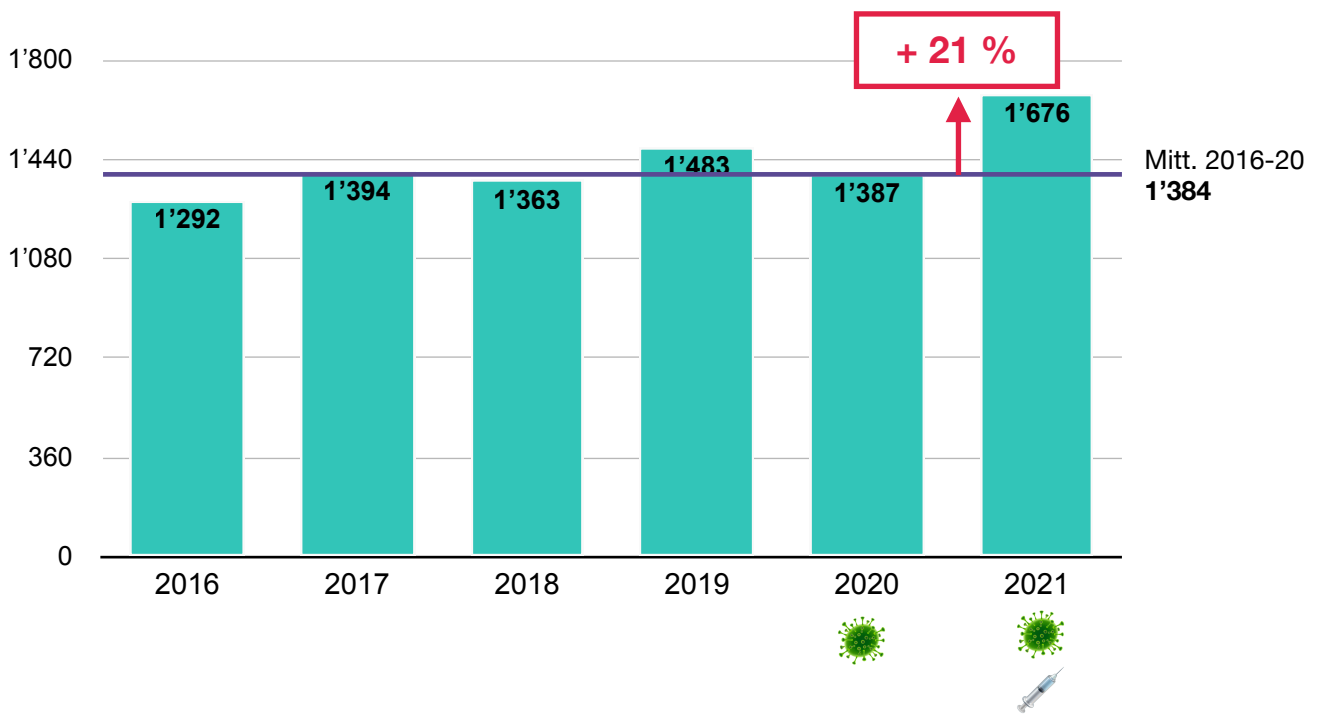


Betreuung der Mutter bei fötalen Störungen		2016	2017	2018	2019	2020	2021
O353	Betreuung der Mutter bei (Verdacht auf) Schädigung des Fetus durch Viruskrankheit der Mutter	3	8	2	4	7	7
O355	Betreuung der Mutter bei (Verdacht auf) Schädigung des Fetus durch Arzneimittel oder Drogen	0	2	1	0	1	1
O357	Betreuung der Mutter bei (Verdacht auf) Schädigung des Fetus durch sonstige medizinische Maßnahmen	1	1	0	0	1	2
O358	Anomalie der Blutgerinnung während der postpartalen Phase	144	135	171	149	160	127
O359	Betreuung der Mutter bei (Verdacht auf) sonstige Anomalie oder Schädigung des Fetus	21	5	4	2	3	7
O363	Betreuung der Mutter wegen Anzeichen für fetale Hypoxie	226	237	234	172	187	204
O364	Betreuung der Mutter wegen intrauterinen Fruchttode	211	209	205	190	202	229
O365	Betreuung der Mutter wegen fetaler Wachstumsretardierung	1'245	1'146	1'263	1'233	1'306	1'370
O366	Betreuung der Mutter wegen fetaler Hypertrophie	404	462	511	544	545	649
O368	Betreuung der Mutter wegen sonstiger näher bezeichneter Komplikationen beim Fetus	265	307	321	329	351	343
O369	Betreuung der Mutter wegen Komplikation beim Fetus, nicht näher bezeichnet	5	4	4	2	0	2
	Insgesamt	2'525	2'516	2'716	2'625	2'763	2'941

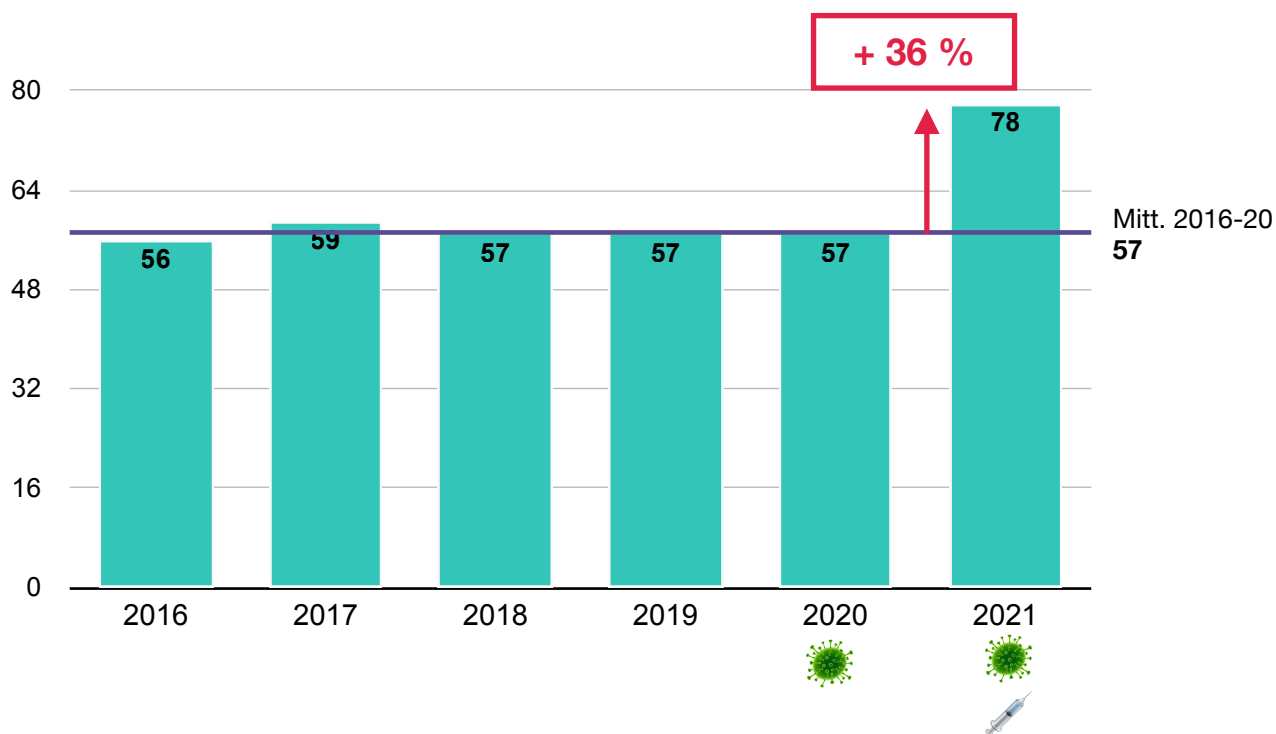
Blutungen in der Schwangerschaft und bei der Geburt Code O670-679 und O720-723



Andere unmittelbare postpartale Blutungen Code O721

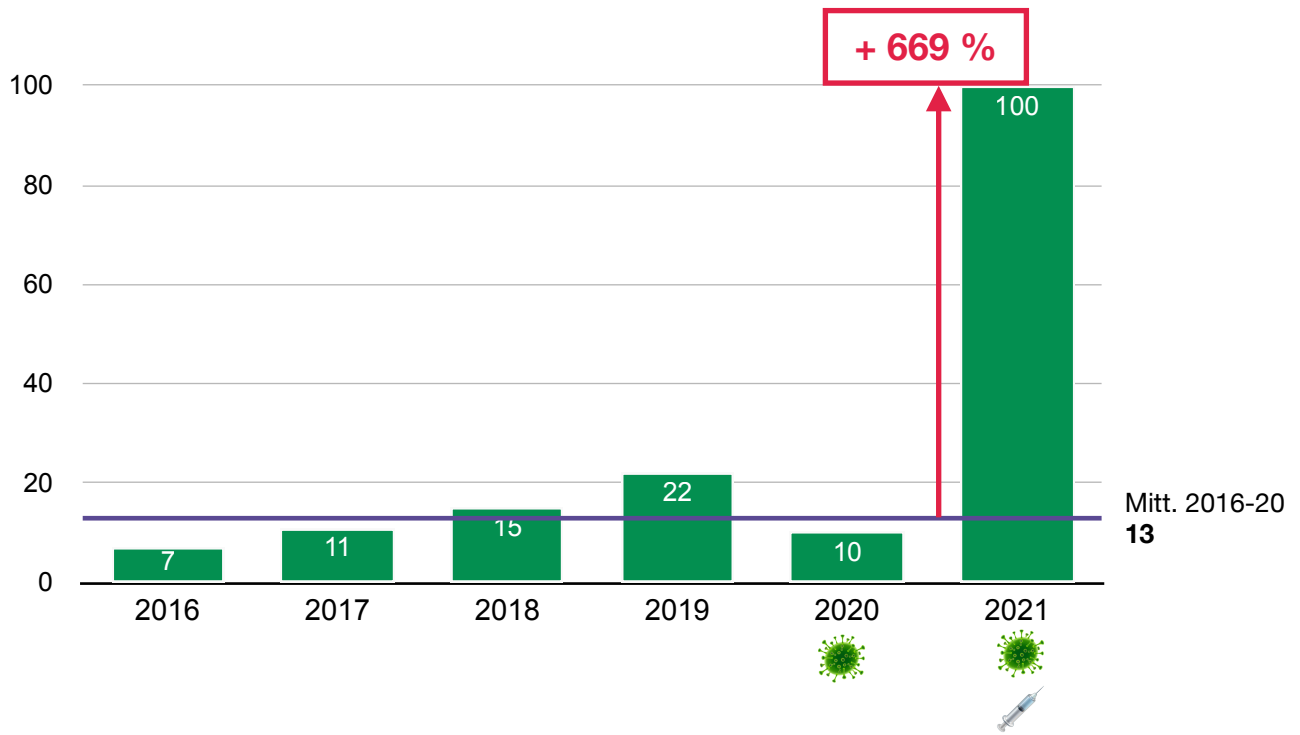


Blutungen in der Schwangerschaft und bei der Geburt Code O678

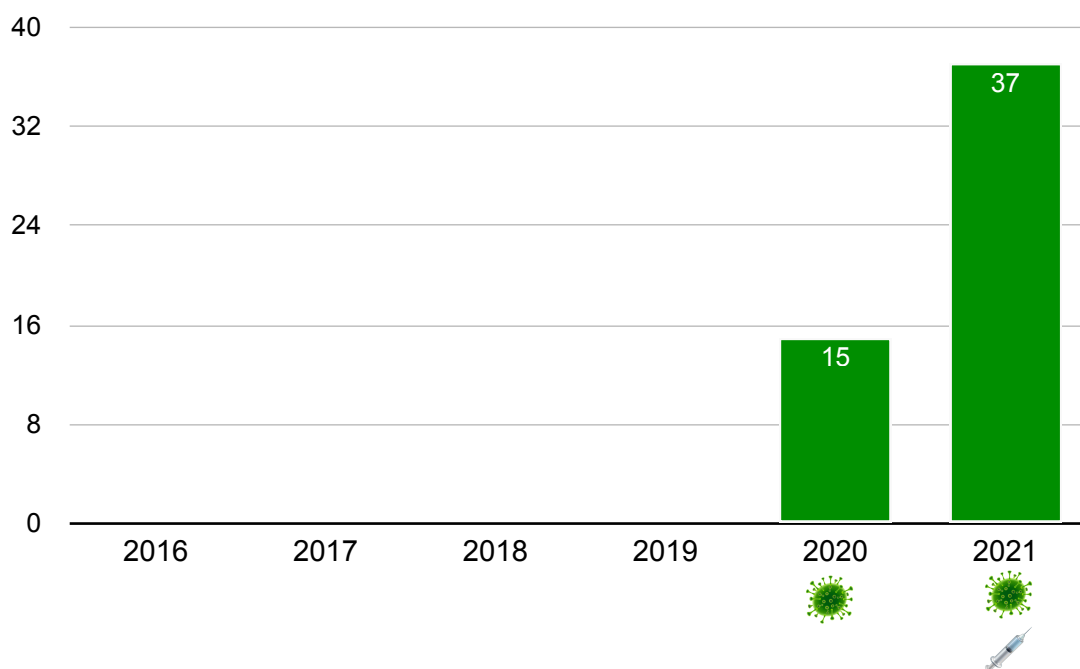


	Blutungen	2016	2017	2018	2019	2020	2021
O720	Blutungen bei der Entbindung (dritte Periode)	1'099	1'079	1'016	1'009	968	1'073
O721	Andere unmittelbare postpartale Blutungen	1'292	1'394	1'363	1'483	1'387	1'676
O722	Postpartale, späte und sekundäre Blutungen	394	355	327	326	341	357
O723	Anomalie der Blutgerinnung während der postpartalen Phase	16	18	16	21	24	37
O670	Blutung während der Geburt mit Gerinnungsanomalie	1	4	2	5	5	3
O678	Andere Blutungen während der Geburt	56	59	57	57	57	78
O679	Blutungen während der Entbindung, ohne nähere Angaben	14	26	12	13	11	23
	Total Blutungen Geburt und Postpartum	2'872	2'935	2'793	2'914	2'793	3'247
	Gesamt Geburten	87'883	87'381	87'851	86'172	85'914	89'644
	Anteil der Geburten	3.27%	3.36%	3.18%	3.38%	3.25%	3.62%

Andere Komplikationen nach einer Impfung nicht anderweitig klassifiziert Code T8810



Covid-19 Code U071-072



15-39		2016	2017	2018	2019	2020	2021
U071	Covid-19, identifiziertes Virus					15	35
U072	Covid-19, nicht identifiziertes Virus						2
	Insgesamt					15	37

Sehr erstaunlich: Die Covid-spezifischen Codes wurden kaum verwendet. Nachfolgend finden Sie eine Anleitung zur Verwendung der Codes.

U07.1! COVID-19, Virus nachgewiesen

Coronavirus-Krankheit-2019, Virus nachgewiesen

Benutze diese Schlüsselnummer, wenn COVID-19 durch einen Labortest nachgewiesen ist, ungeachtet des Schweregrades des klinischen Befundes oder der Symptome.

Benutze zunächst Schlüsselnummern, um das Vorliegen einer Pneumonie oder anderer Manifestationen oder von Kontaktanlässen anzugeben.

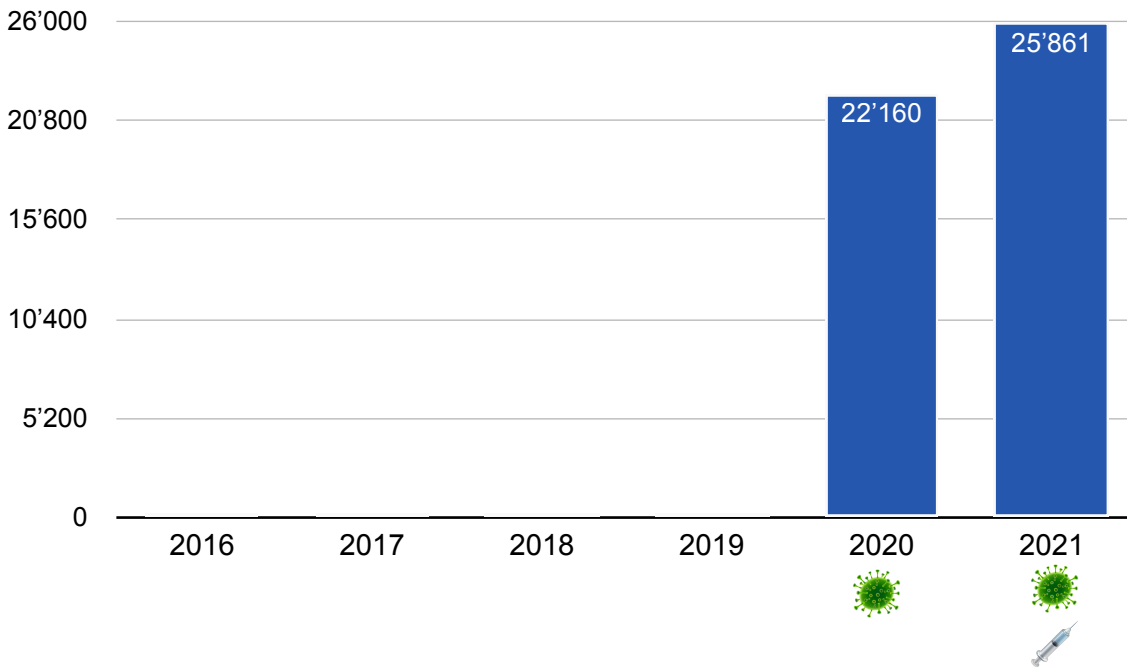
U07.2! COVID-19, Virus nicht nachgewiesen

COVID-19 o.n.A.

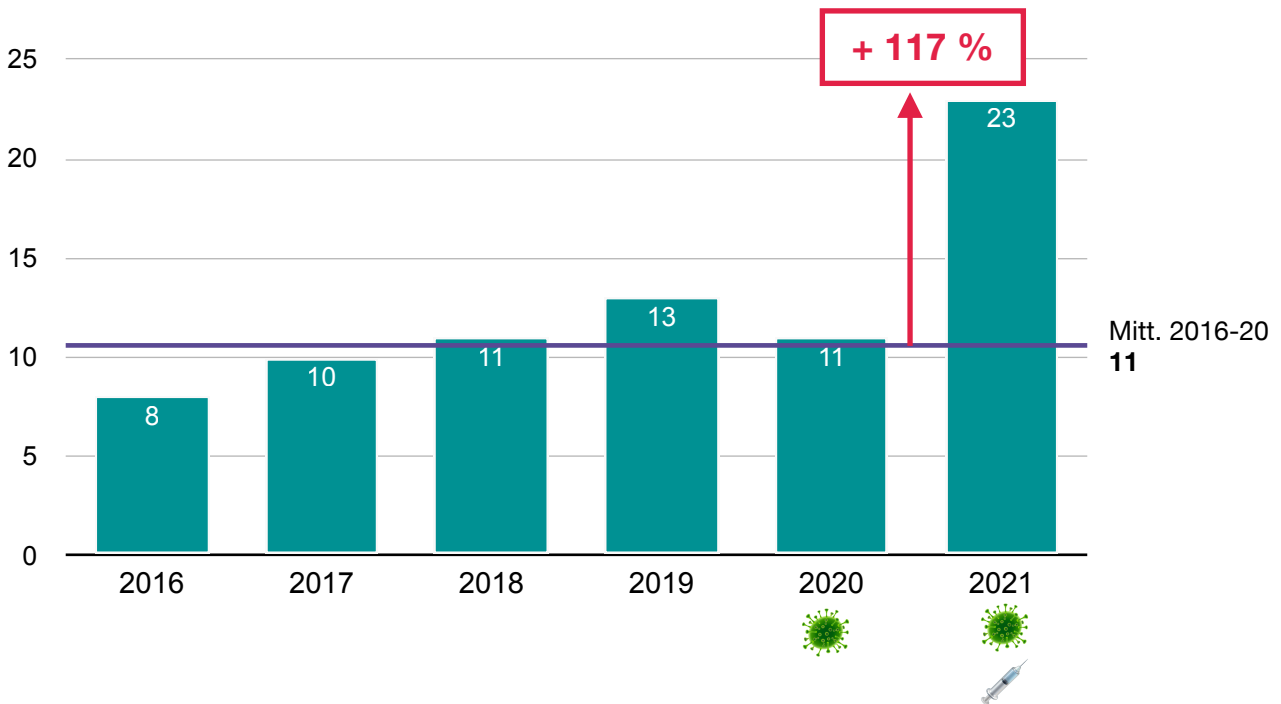
Benutze diese Schlüsselnummer, wenn COVID-19 klinisch-epidemiologisch bestätigt ist und das Virus nicht durch Labortest nachgewiesen wurde oder kein Labortest zur Verfügung steht.

Benutze zunächst Schlüsselnummern, um das Vorliegen einer Pneumonie oder anderer Manifestationen oder von Kontaktanlässen anzugeben.

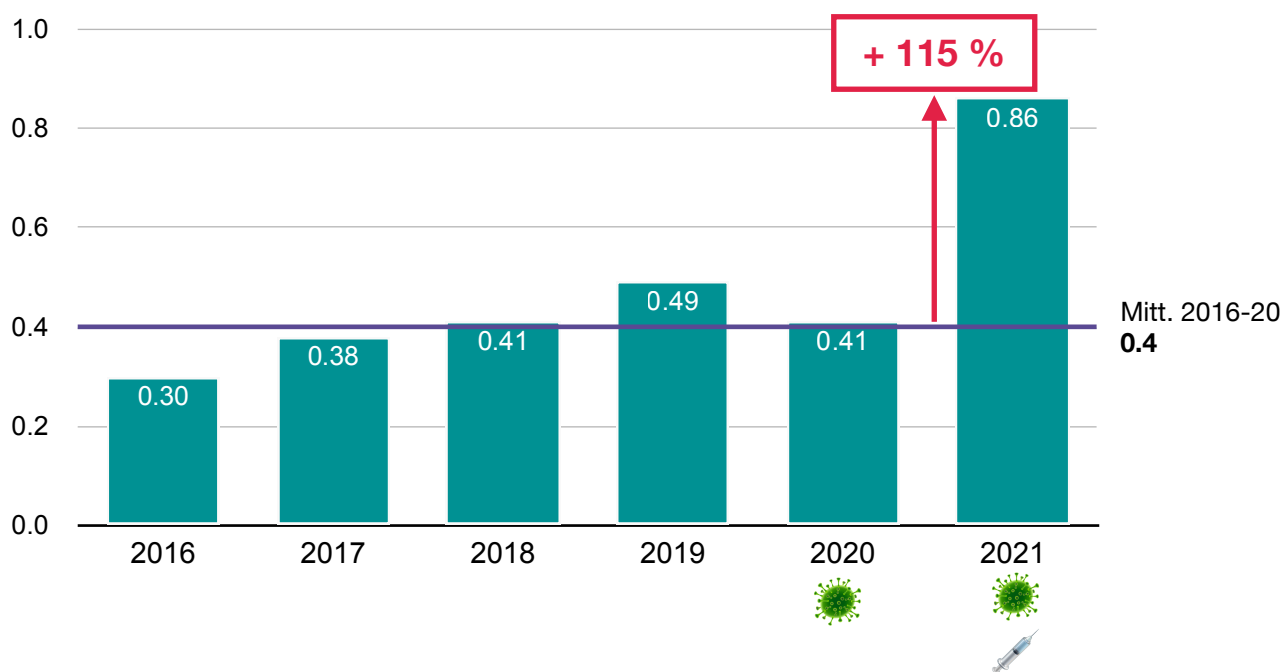
Andere virale Lungenerkrankungen Code J128



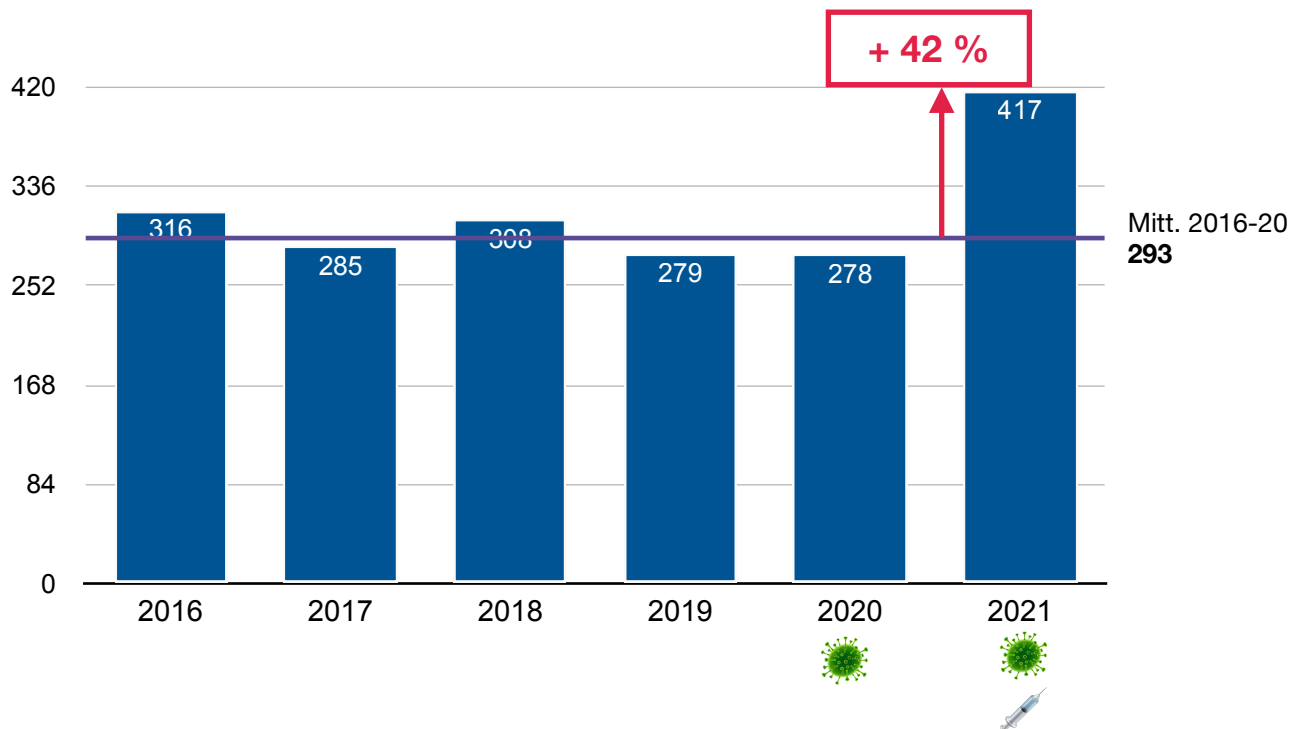
Herpetische Meningitis 15-39 Jahre Code B021, Rate pro 100.000 nach Bevölkerungsentwicklung



Anscheinend hat Covid im Jahr 2020 nicht mehr provoziert.

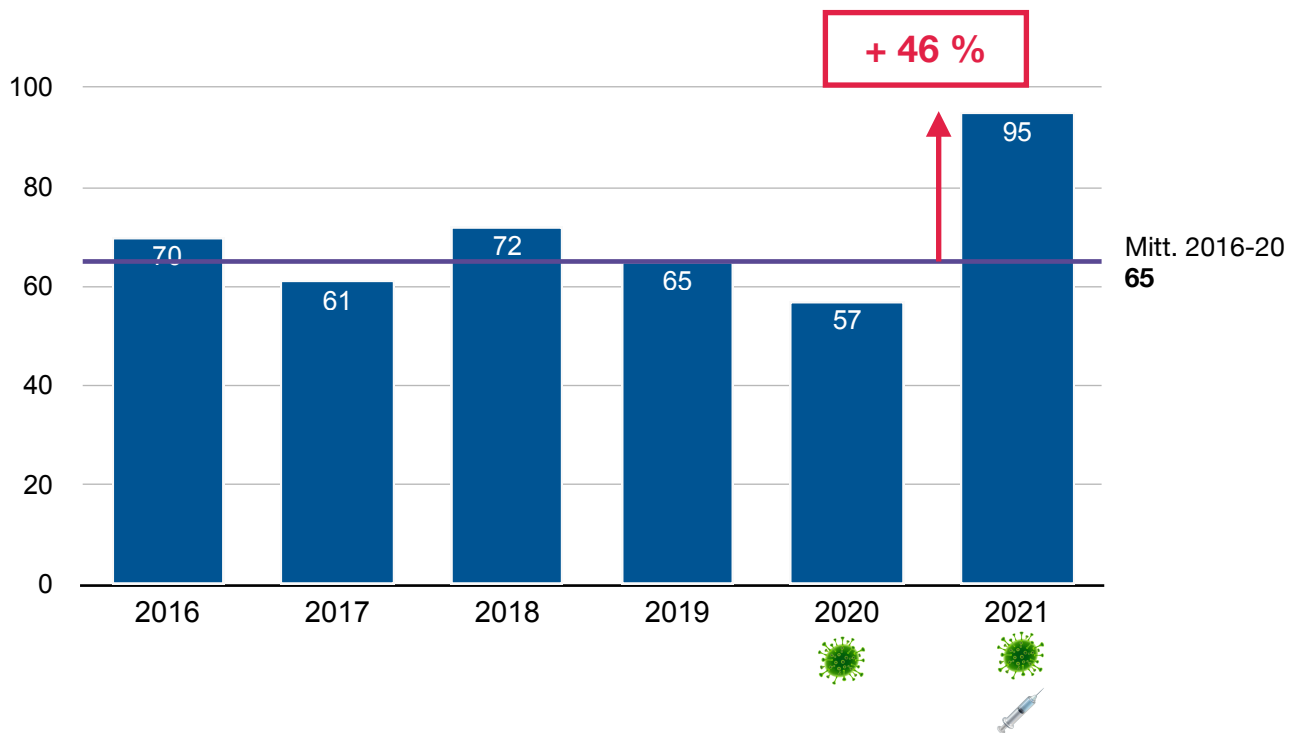
Herpetische Meningitis 15-39 Jahre**Code B021, Rate pro 100.000 nach Bevölkerungsentwicklung**

Wenig Veränderung in dieser Bevölkerungsgruppe, der Anstieg bleibt stark, wenn man die Zahlen auf die Bevölkerung umrechnet.

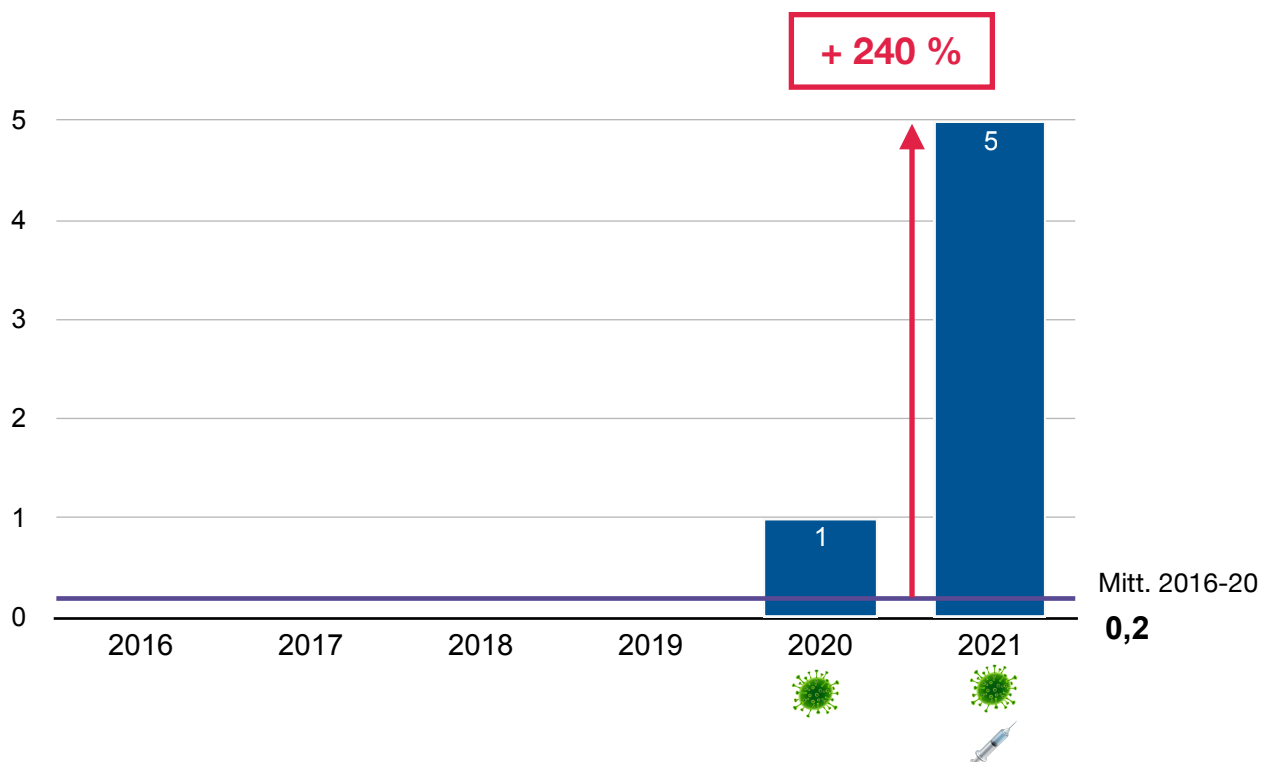
Gehirnkrebs 15-39 Jahre**Code C700-719 + 793**

15-39		2016	2017	2018	2019	2020	2021
C700	Bösartige Neubildung der Hirnhäute	11	4	1	3	2	8
C701	Bösartige Neubildung der Spinalmeningen	1	2	12	2	2	1
C710	Bösartige Neubildung des Gehirns, außer Lappen und Ventrikel	20	9	18	14	14	27
C711	Bösartige Neubildung des Frontallappens	57	56	57	83	60	72
C712	Bösartige Neubildung des Schläfenlappens	34	31	42	21	27	43
C713	Bösartige Neubildung des Parietallappens	28	18	20	15	11	33
C714	Bösartige Neubildung des Okzipitallappens	4	2	2	4	2	4
C715	Bösartige Neubildung eines Hirnventrikels mit Ausnahme des vierten Ventrikels	6	9	8	3	12	18
C716	Bösartige Neubildung des Kleinhirns	42	41	37	11	35	31
C717	Bösartige Neubildung des Hirnstamms	19	14	16	19	18	27
C718	Bösartige Neubildung in Form einer Läsion mit zusammenhängenden Lokalisationen des Gehirns	43	23	29	35	48	63
C719	Bösartige Neubildung des Gehirns, nicht näher bezeichnet	21	15	15	9	9	12
C793	Sekundäre bösartige Neubildung des Gehirns und der Hirnhäute	30	61	51	60	38	78
	Insgesamt	316	285	308	279	278	417

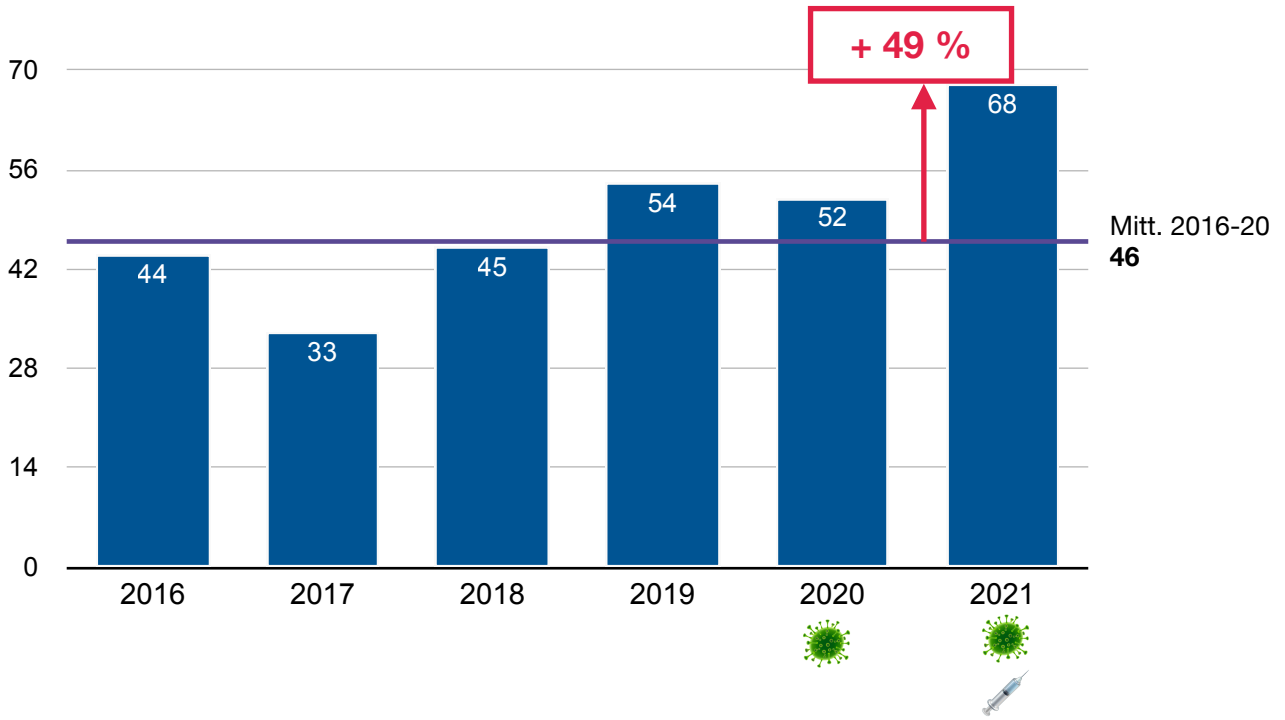
Bösartiger Tumor des Rektums 15-39 Jahre
Code C20



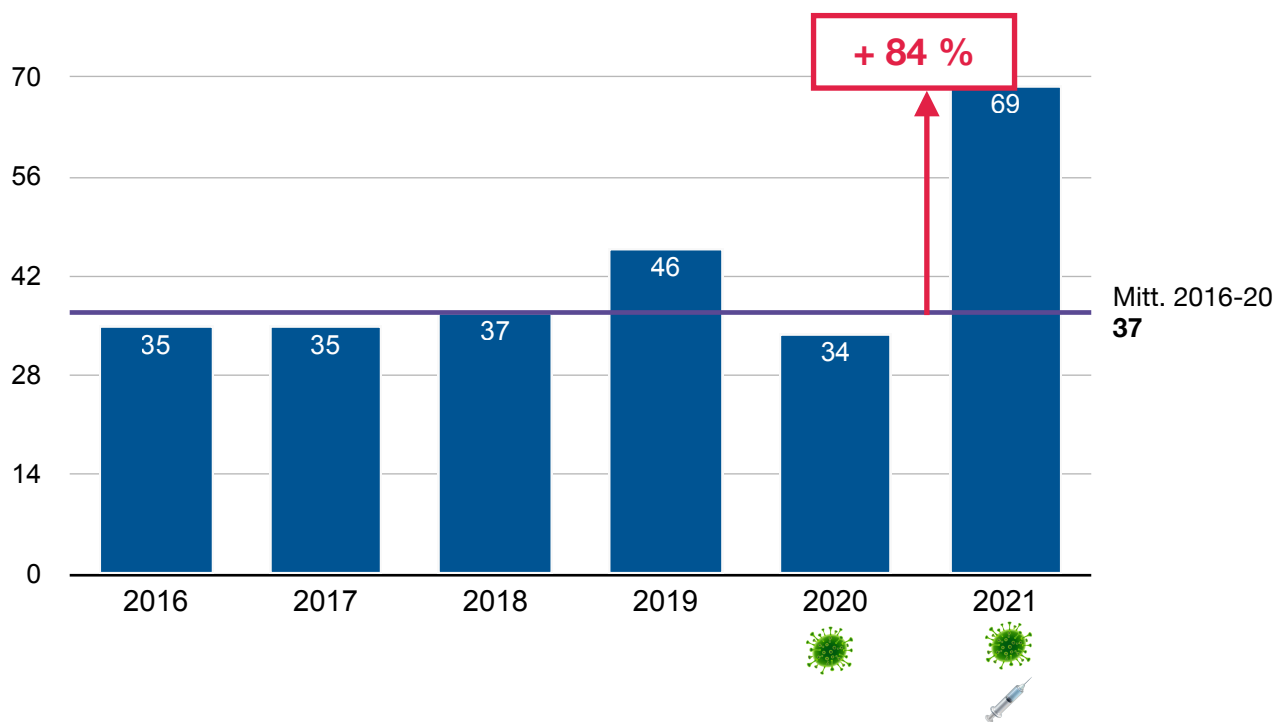
Bösartiger Tumor der Vorhaut 15-39 Jahre
Code C600



Bösartiger Tumor der Niere mit Ausnahme des Nierenbeckens 15-39 Jahre
Code C64

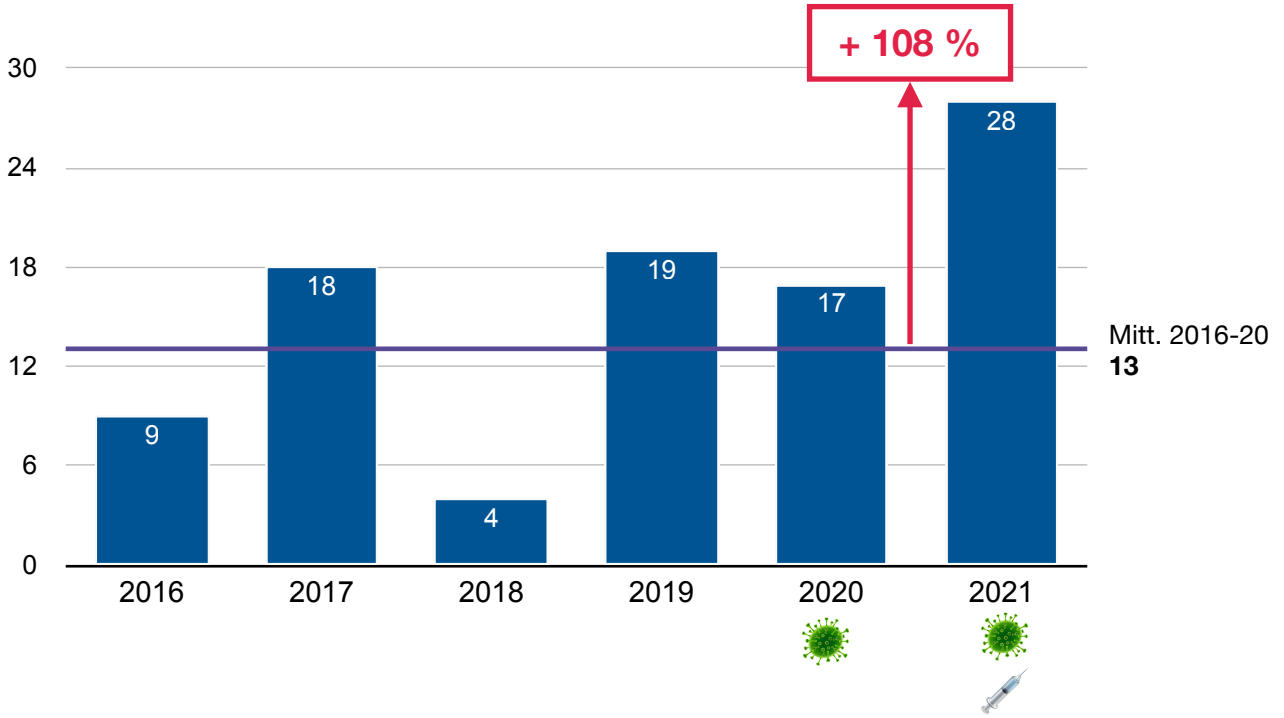


Bösartige Tumore des Gebärmutterhalses und der Gebärmutter 15-39 Jahre Code C539+55

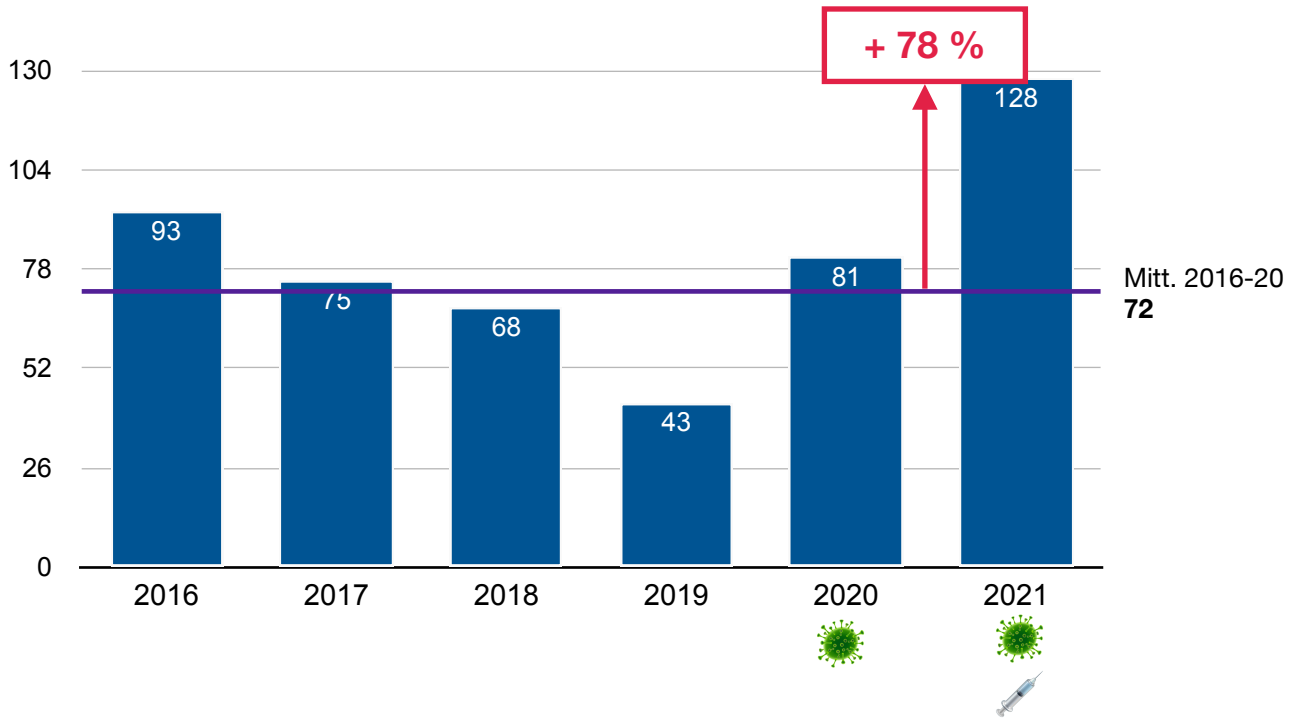


15-39		2016	2017	2018	2019	2020	2021
C539	Bösartige Neubildung der Gebärmutter, nicht näher bezeichneter Teil	4	2	1	2	5	9
C55	Bösartige Neubildung des Gebärmutterhalses, nicht näher bezeichnet	31	33	36	44	29	60
	Insgesamt	35	35	37	46	34	69

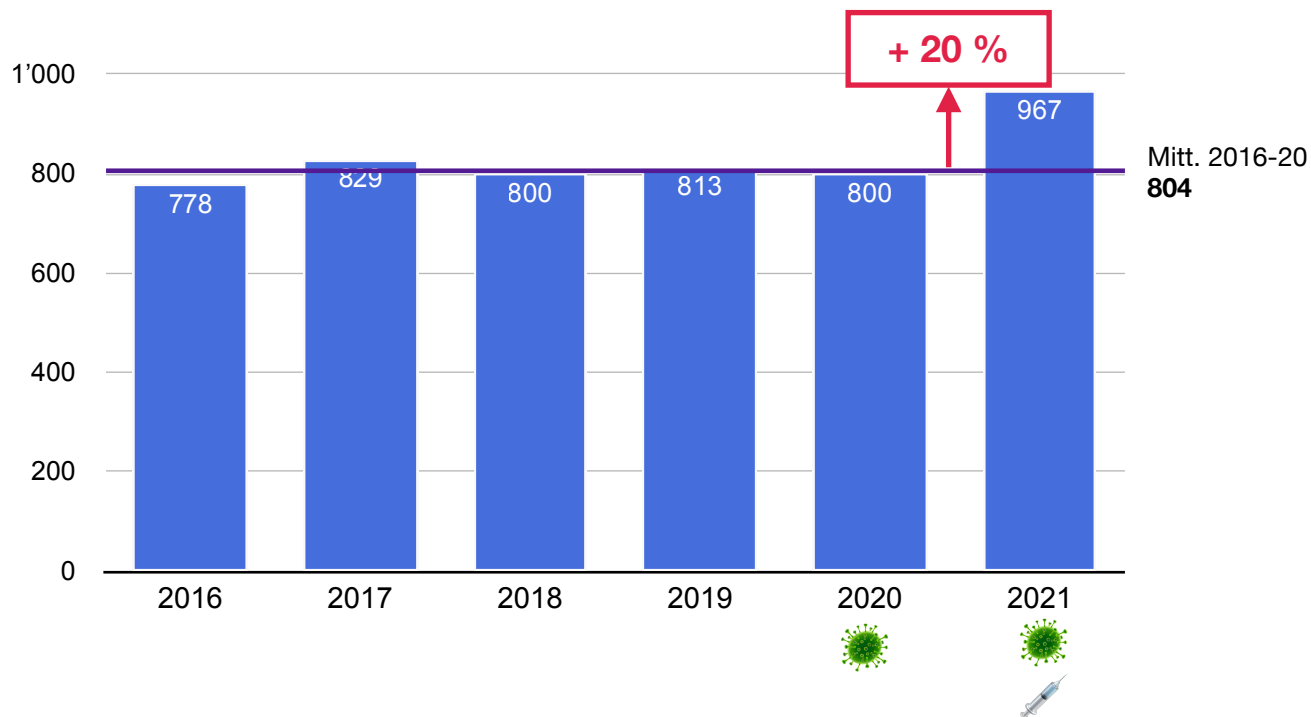
Bösartiger Tumor der Epiphyse 15-39 Jahre
Code C753



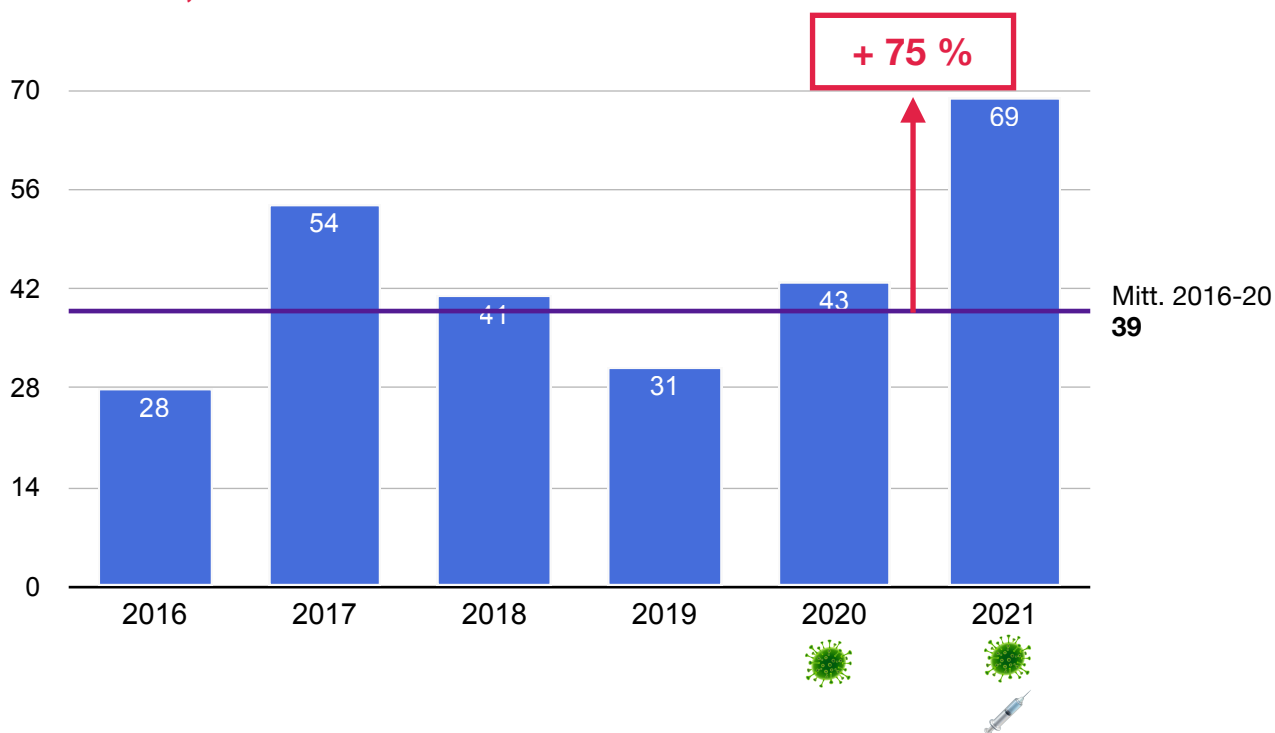
Mediastinales (thymisches) großzelliges B-Zell-Lymphom 15-39 Jahre
Code C852



Gutartiger Eierstocktumor + mit unvorhersehbarem oder unbekanntem Verlauf 15-39 Jahre, Code D27+391

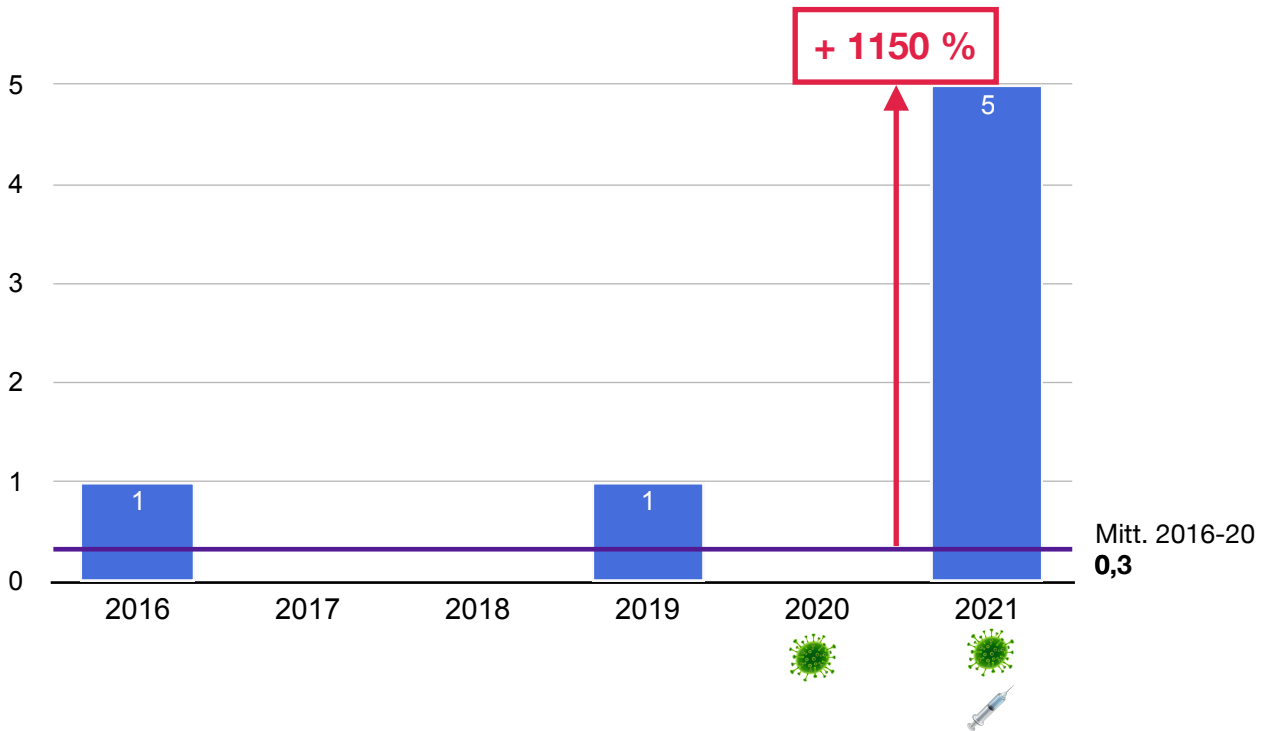


Gutartiger Eierstocktumor mit unvorhersehbarem oder unbekanntem Verlauf 15-39 Jahre, Code D391

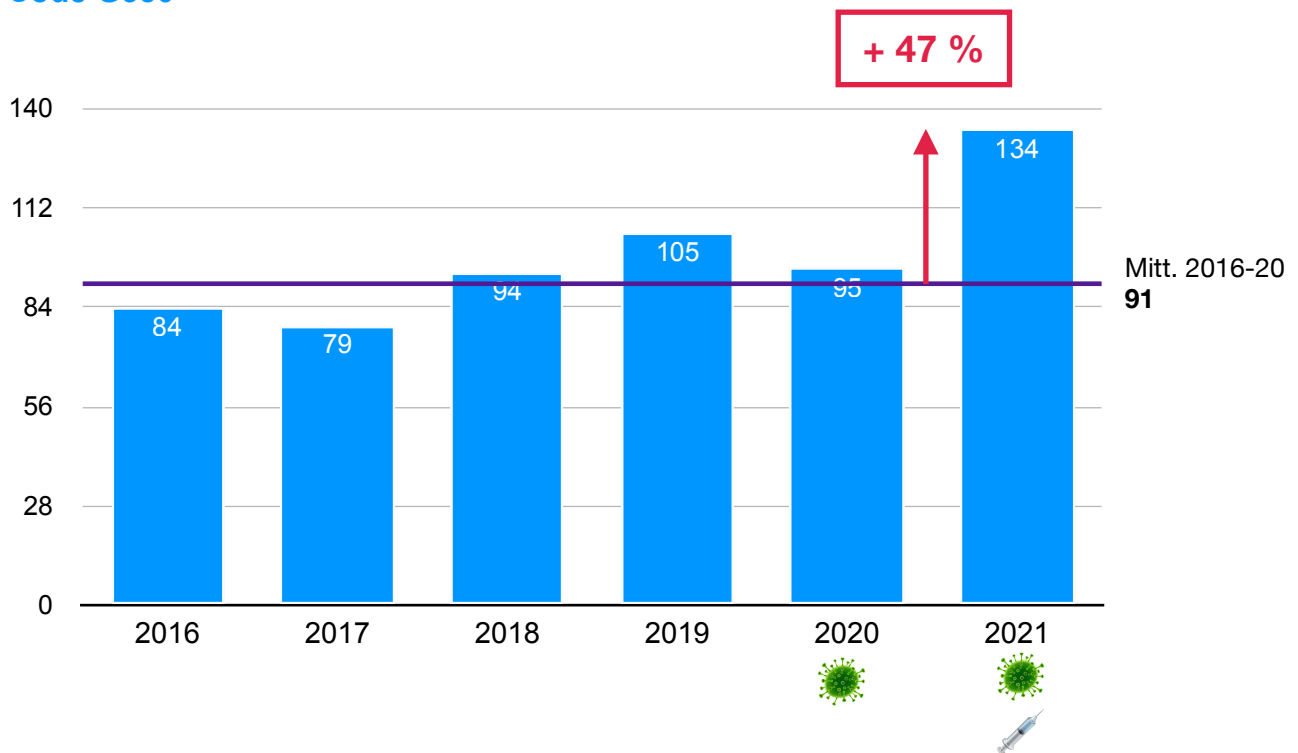


15-39		2016	2017	2018	2019	2020	2021
D27	Gutartiger Eierstocktumor	750	775	759	782	757	898
D391	Eierstocktumor mit unvorhersehbarem oder unbekanntem Verlauf	28	54	41	31	43	69
	Insgesamt	778	829	800	813	800	967

Chronischer motorischer oder stimmlicher Tic 15-39 Jahre
Code F951

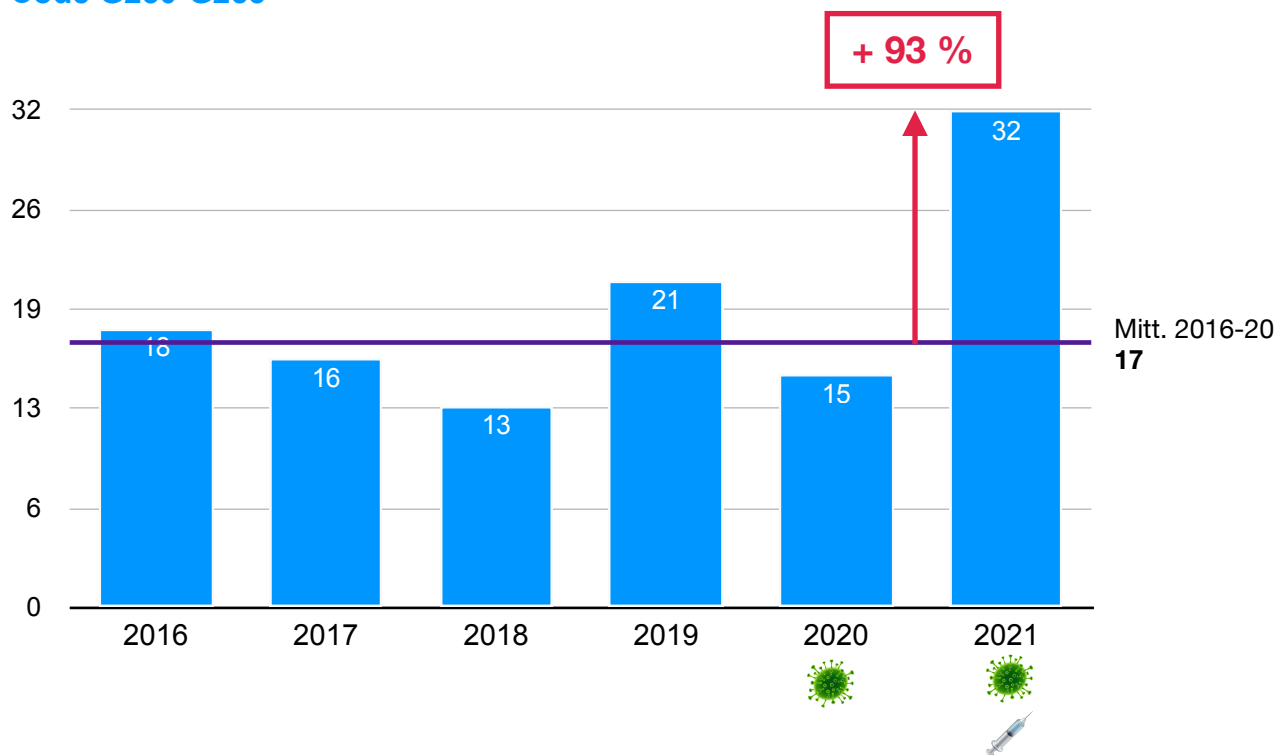


Erstes Auftreten von Multipler Sklerose 15-39 Jahre
Code G350



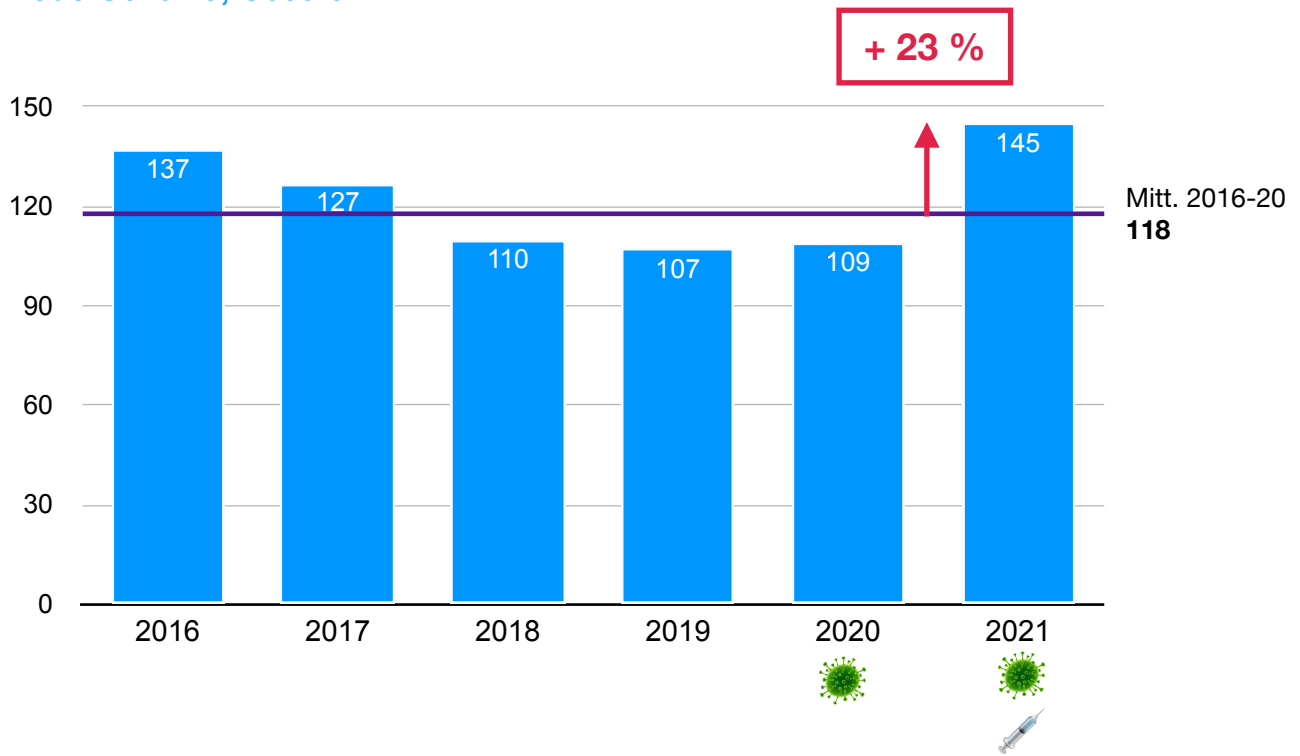
Tremor 15-39 Jahre

Code G250-G253



15-39		2016	2017	2018	2019	2020	2021
G250	Wesentlicher Tremor	2	1	1	1	0	0
G251	Durch Medikamente verursachter Tremor	0	3	5	2	4	7
G252	Andere spezifizierte Formen des Tremors	4	1	2	1	3	7
G253	Myoklonus	12	11	5	17	8	18
	Insgesamt	18	16	13	21	15	32

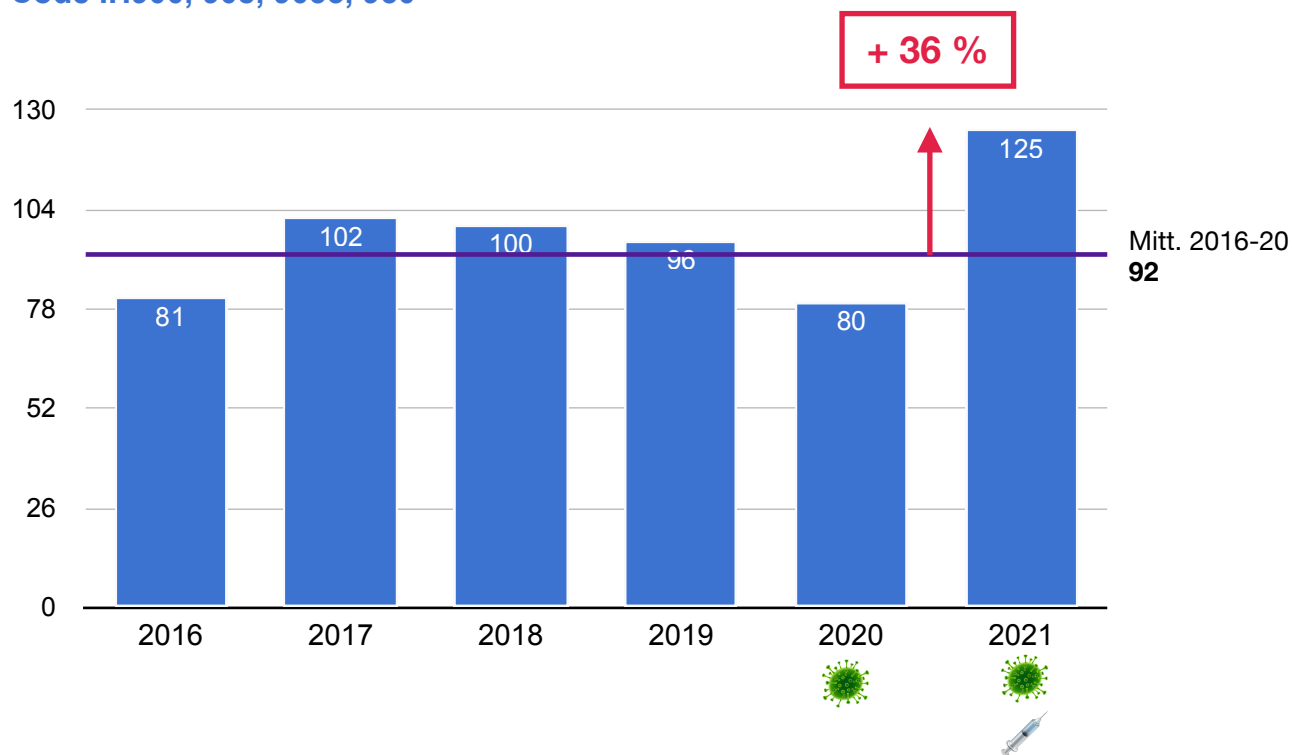
Enzephalitis und intrakranielle Abszesse 15-39 Jahre
Code G040-49, G060-62



15-39		2016	2017	2018	2019	2020	2021
G040	Akute disseminierte Enzephalitis	4	3	0	0	0	2
G042	Bakterielle Meningoenzephalitis und Meningomyelitis, anderweitig nicht genannt	11	8	3	6	3	7
G048	Sonstige Enzephalitis, Myelitis und Enzephalomyelitis	60	53	53	39	68	77
G049	Enzephalitis, Myelitis und Enzephalomyelitis, nicht näher bezeichnet	31	30	29	31	15	27
G060	Intrakranielle Abszesse und Granulome	23	22	21	16	15	23
G061	Intrarachidaler Abszess und Granulom	3	11	1	8	6	7
G062	Extraduraler und subduraler Abszess, nicht näher bezeichnet	5	0	3	7	2	2
	Insgesamt	137	127	110	107	109	145

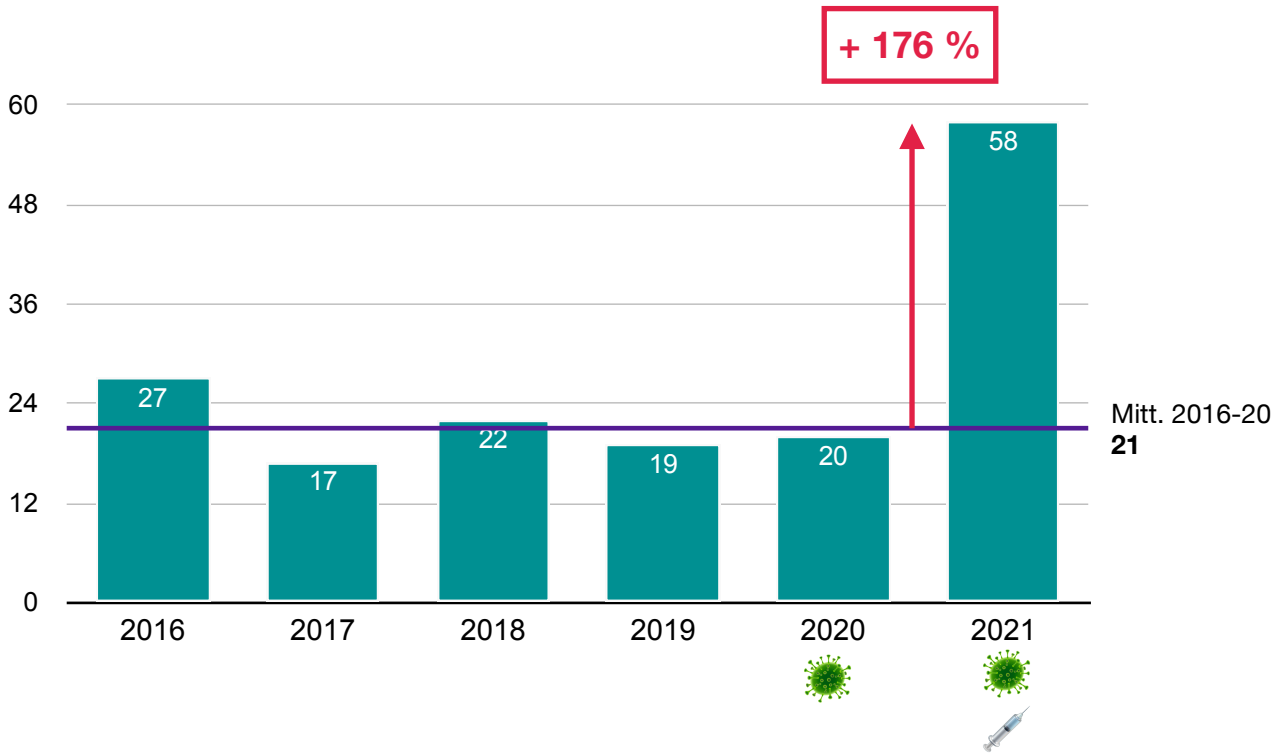
Taubheit, Erkrankung des Hörnervs 15-39 Jahre

Code IH900, 908, 9033, 950



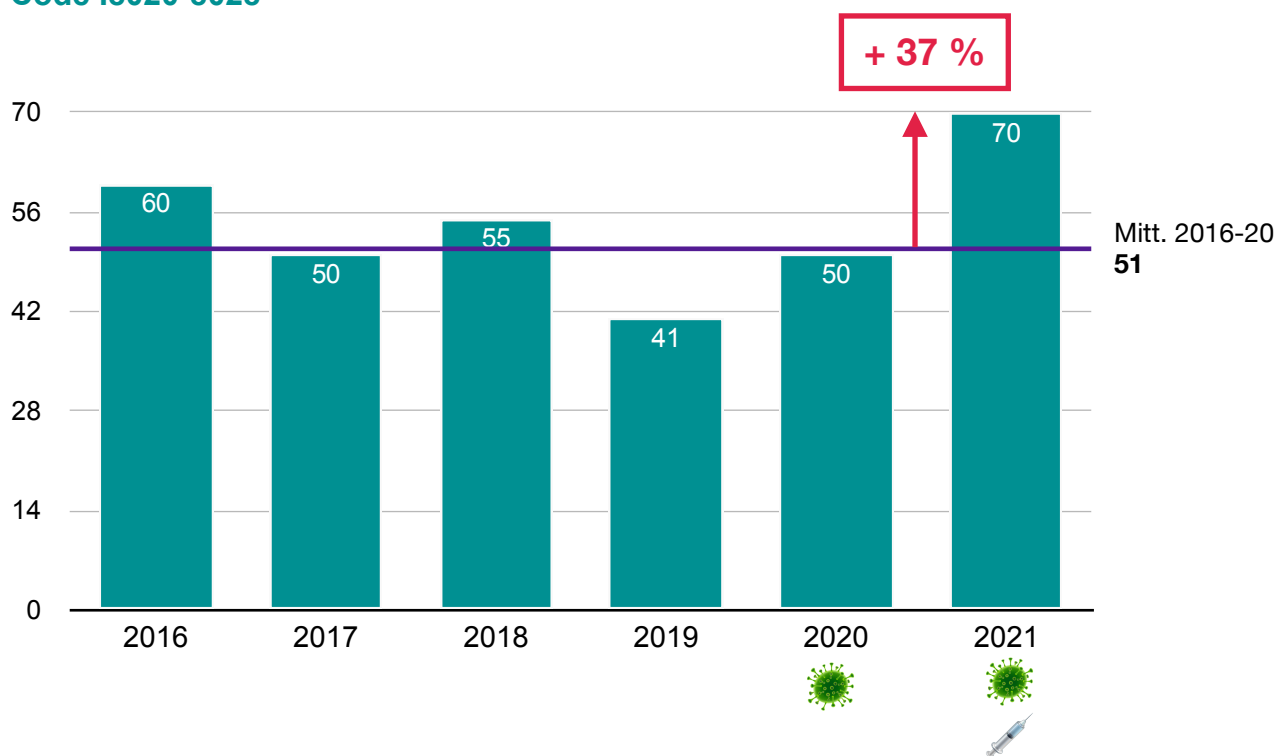
15-39		2016	2017	2018	2019	2020	2021
H900	Beidseitige Schalleitungsschwerhörigkeit	8	21	2	7	5	3
H901	Einseitige Schalleitungsschwerhörigkeit ohne Beeinträchtigung des Hörvermögens auf dem anderen Ohr	17	5	17	21	13	32
H902	Schalleitungsschwerhörigkeit nicht näher bezeichnet	5	15	8	6	2	2
H903	Beiseitige sensorineurale Taubheit	11	1	9	14	10	19
H904	Einseitige Schalleimpfungsschwerhörigkeit ohne Beeinträchtigung des Hörvermögens auf dem anderen Ohr	1	7	2	3	5	3
H905	Schallempfindungsschwerhörigkeit, nicht näher bezeichnet	6	1	4	4	4	2
H906	Beiseitige gemischte transmissive und sensorineurale Taubheit	5	4	3	5	2	5
H907	Einseitige gemischte transmissive und sensorineurale Taubheit ohne Beeinträchtigung des Hörvermögens auf dem anderen Ohr	1	1	1	2	1	3
H908	Gemischte transmissive und sensorineurale Taubheit, ohne nähere Angaben	1	1	1	0	1	1
H950	Rezidivierendes Cholesteatom nach Mastoidektomie	26	46	53	34	37	55
	Insgesamt	81	102	100	96	80	125

Pulmonale Hypertonie 15-39 Jahre
Code I270-2728



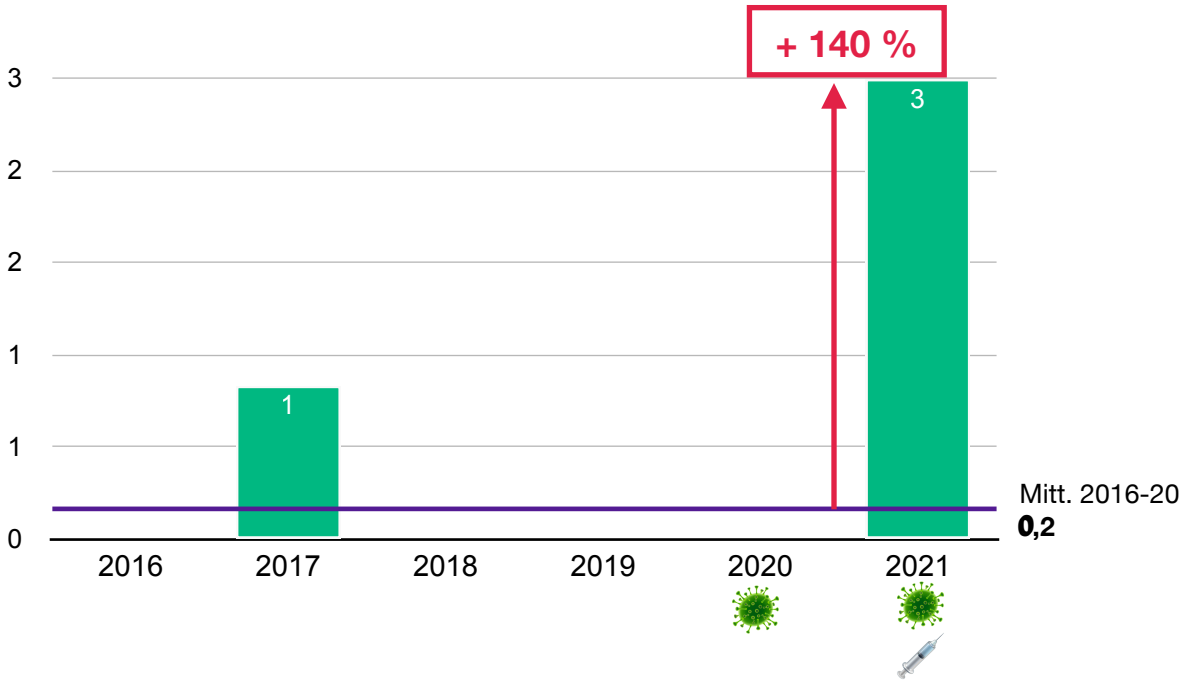
15-39		2016	2017	2018	2019	2020	2021
I270	Primäre pulmonale Hypertonie	9	6	4	6	9	13
I2720	Andere sekundäre pulmonale Hypertonie: Hypertonie	8	2	5	5	3	23
I2728	Andere sekundäre pulmonale Hypertonie: Andere Hypertonie	10	9	13	8	8	22
	Insgesamt	27	17	22	19	20	58

Thrombose, Phlebitis, Thrombophlebitis Beckenvenen und Tiefe Gefäße der unteren Gliedmaßen 15-39 Jahre
Code I8020-8028

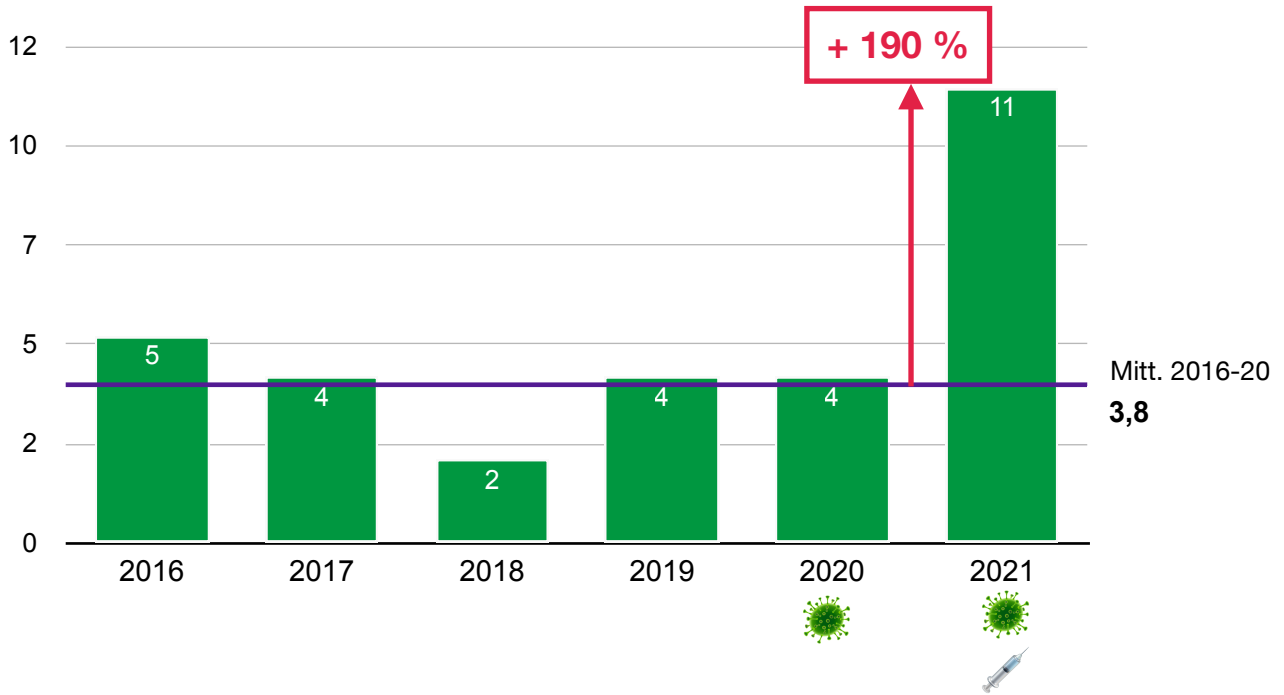


15-39		2016	2017	2018	2019	2020	2021
I8020	Thrombose, Phlebitis und Thrombophlebitis der Beckenvenen	28	30	33	15	25	40
I8028	Thrombose, Phlebitis und Thrombophlebitis von anderen tiefen Gefäßen der unteren Extremitäten	32	20	22	26	25	30
	Insgesamt	60	50	55	41	50	70

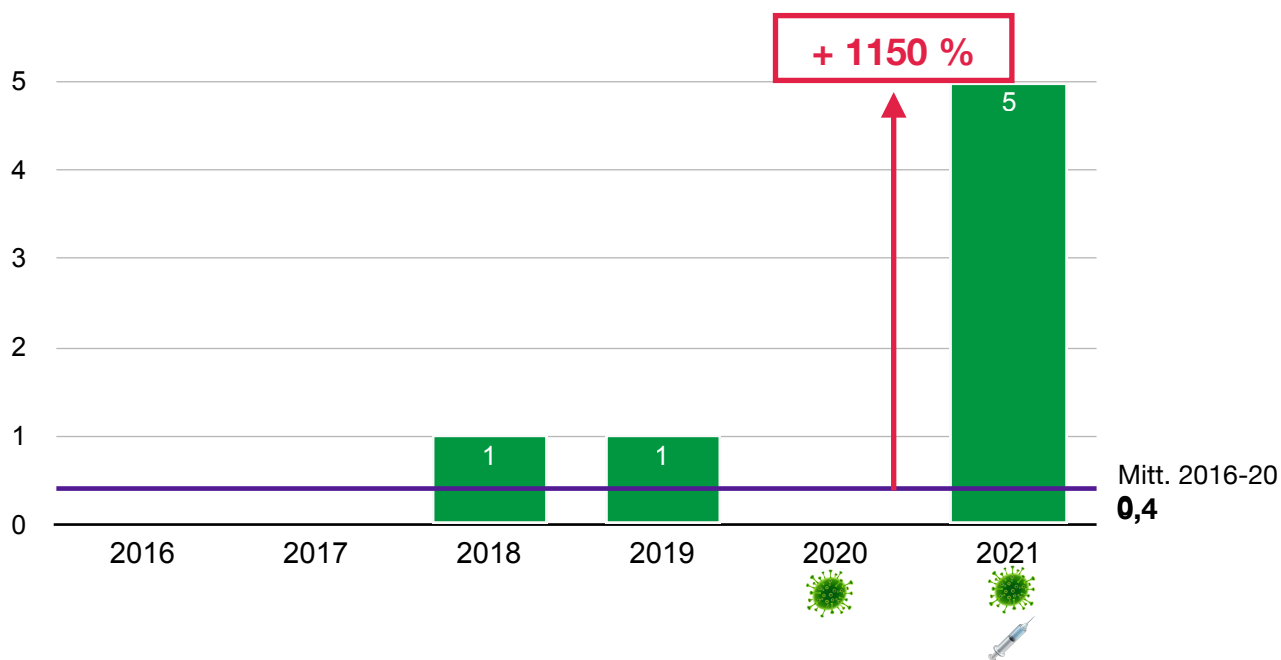
Veno-okkulative Lebererkrankung 15-39 Jahre
Code K765



Dorsale Osteomyelitis 15-39 Jahre
Code M4620, 22, 24-28, 8611

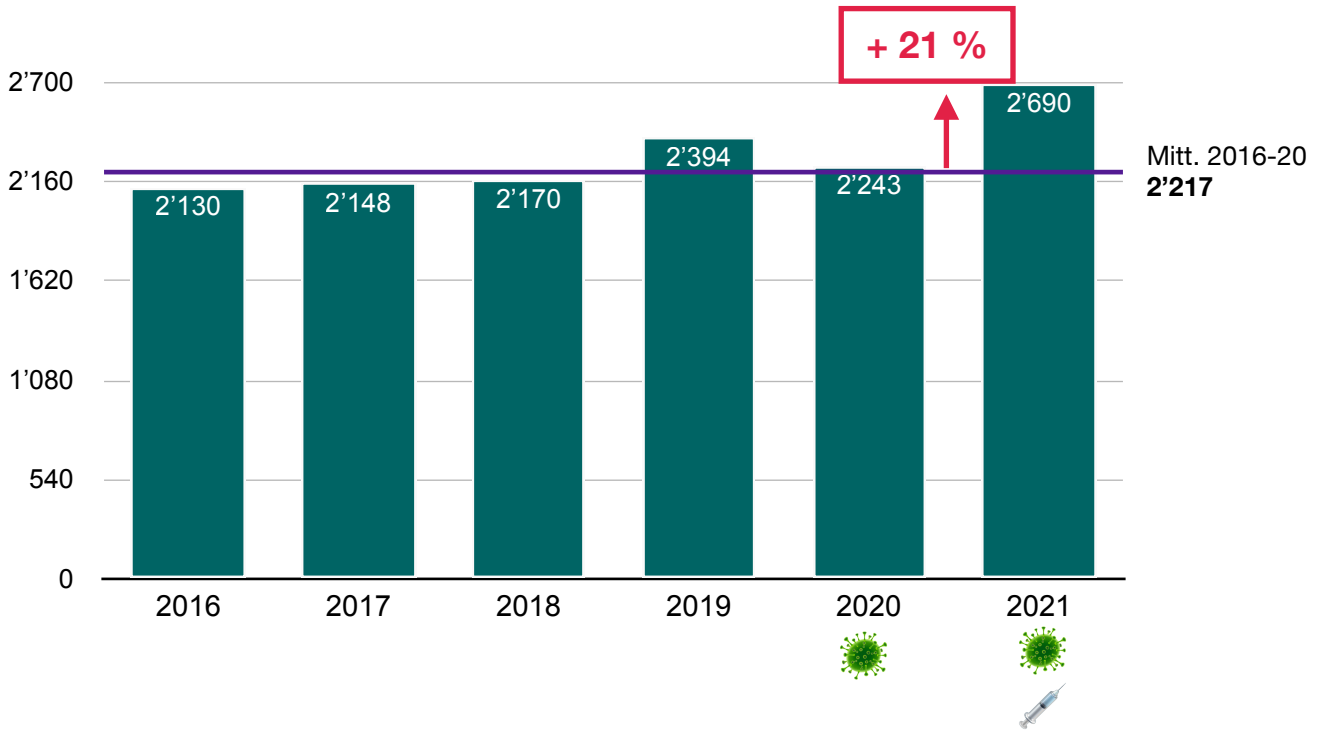


Osteomyelitis der Wirbelsäule, dorsale Region 15-39 Jahre Code M4624

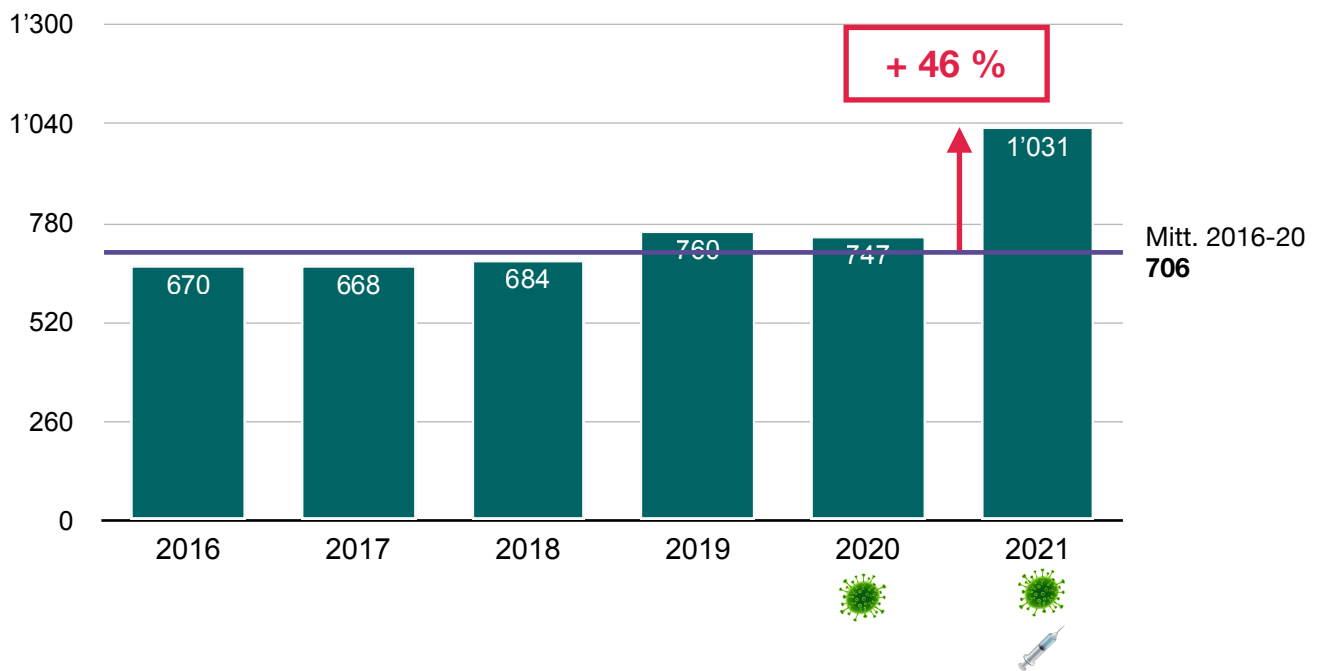


15-39		2016	2017	2018	2019	2020	2021
M4620	Osteomyelitis vertebralis, multiple vertebrale Lokalisationen	0	1	0	0	0	0
M4622	Osteomyelitis vertebralis, zervikale Region	2	2	0	0	0	1
M4624	Osteomyelitis vertebralis, dorsale Region	0	0	1	1	0	5
M4625	Osteomyelitis vertebralis, dorsolumbale Region	0	0	0	1	0	0
M4626	Osteomyelitis vertebralis, lumbale Region	1	1	0	1	2	1
M4627	Osteomyelitis vertebralis, lumbosakraler Bereich	0	0	0	0	0	1
M4628	Osteomyelitis vertebralis, sakrale und sacro-coccygeale Region	1	0	1	1	1	0
M8611	Andere akute Osteomyelitis, Akromioklavikular-, Skapulohumeral- und Sternoklavikulargelenke	1	0	0	0	1	3
	Insgesamt	5	4	2	4	4	11

Endometriose 15-39 Jahre
Code N800-N809

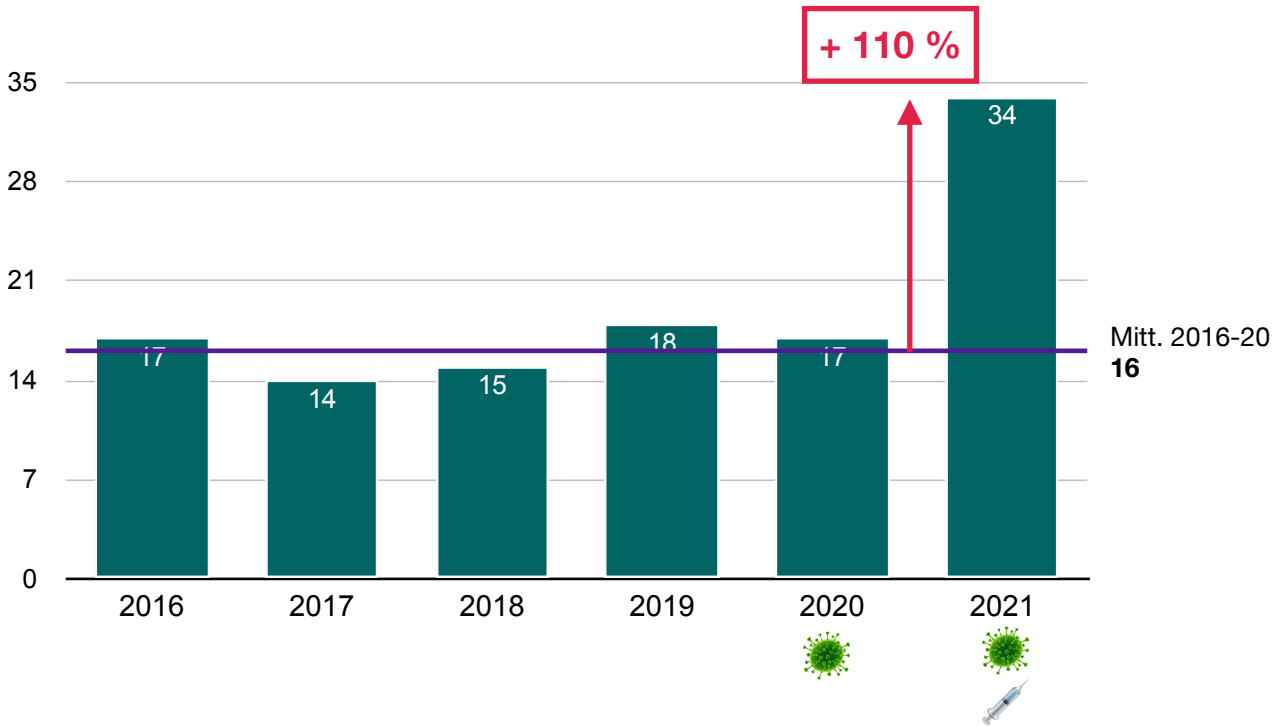


Endometriose des Beckenperitoneums 15-39 Jahre
Code N803

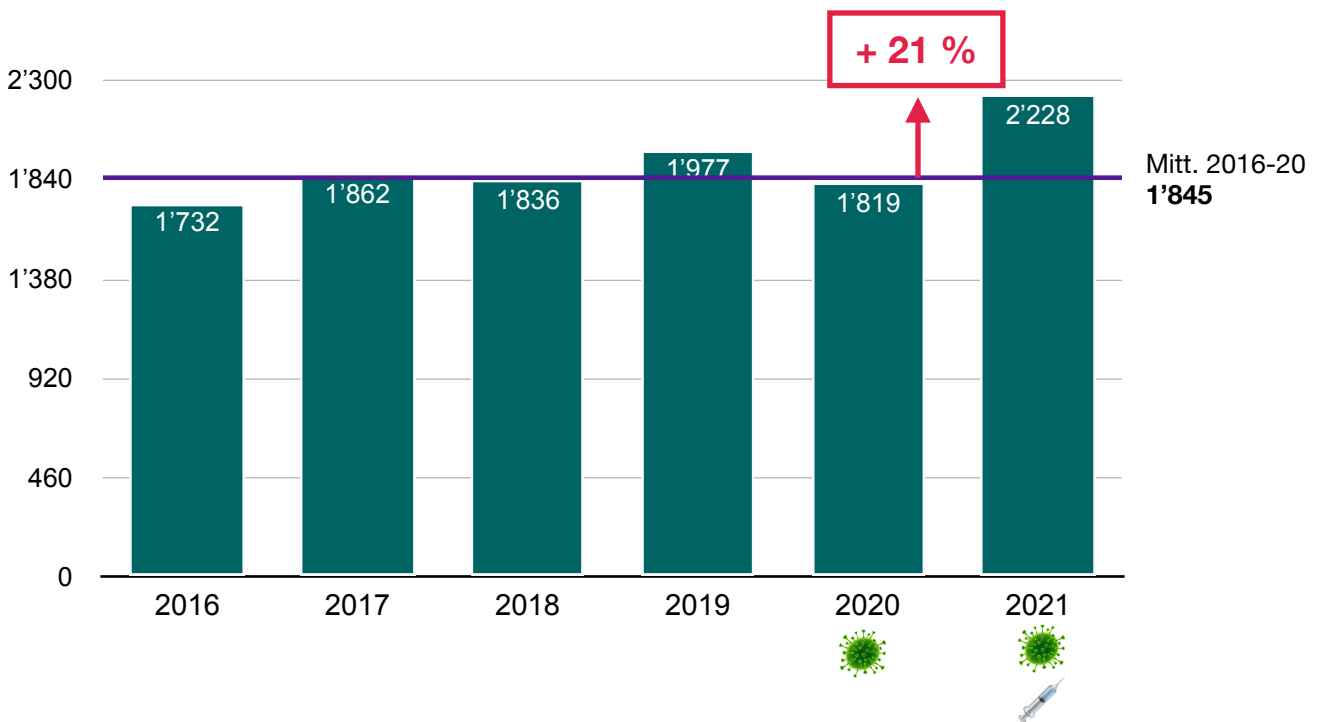


15-39		2016	2017	2018	2019	2020	2021
N800	Endometriose der Gebärmutter	371	415	380	461	381	402
N801	Endometriose des Eierstocks	709	684	718	800	725	822
N802	Endometriose des Eileiters	36	29	24	22	34	37
N803	Endometriose des Beckenperitoneums	670	668	684	760	747	1'031
N804	Endometriose des reкто-vaginalen Septums und der Vagina	87	98	98	118	110	113
N805	Endometriose des Darms	44	44	41	44	36	46
N806	Endometriose auf Hautnarben	35	32	34	23	34	29
N808	Sonstige Endometriose	148	161	157	150	152	184
N809	Endometriose, nicht näher bezeichnet	30	17	34	16	24	26
	Insgesamt	2'130	2'148	2'170	2'394	2'243	2'690

Behandlung während der Schwangerschaft bei Abtreibungen wiederholt 15-39 Jahre Code O262



Andere Blutungen vor, während und nach der Geburt 15-39 Jahre Code O468+678+721



(Tabelle S. 39)

6. Wissenschaftliche Studien beobachtete Krankheitsbilder nach Covid-Impfungen

Enzephalitis

<https://www.ncbi.nlm.nih.gov/pmc/articles/PMC8818972/>

<https://www.mdpi.com/2076-393X/10/1/43>

Epidermale Nekrolyse

<https://onlinelibrary.wiley.com/doi/10.1111/ddg.15114>

Lungenembolie

<https://pubmed.ncbi.nlm.nih.gov/34804412/>

<https://pubmed.ncbi.nlm.nih.gov/34630307/>

<https://pubmed.ncbi.nlm.nih.gov/34807248/>

Motoneuron

<https://pubmed.ncbi.nlm.nih.gov/35062795/>

Multiple Sklerose

[https://link.springer.com/article/10.1007/s00415-021-10648-w?](https://link.springer.com/article/10.1007/s00415-021-10648-w?%20fbclid=IwAR3iqmxaBA5vArMOiRQimpHcZxRjE8o-ISiT2WfAcdVf6xRWLiKeQd7HYk)

[%20fbclid=IwAR3iqmxaBA5vArMOiRQimpHcZxRjE8o-ISiT2WfAcdVf6xRWLiKeQd7HYk](https://link.springer.com/article/10.1007/s00415-021-10648-w?%20fbclid=IwAR3iqmxaBA5vArMOiRQimpHcZxRjE8o-ISiT2WfAcdVf6xRWLiKeQd7HYk)

Myelitis Transversa

[https://www.researchgate.net/publication/](https://www.researchgate.net/publication/353464567_Acute_Transverse_Myelitis_Associated_with_COVID-19_vaccine_A_Case_Report)

[353464567_Acute_Transverse_Myelitis_Associated_with_COVID-19_vaccine_A_Case_Report](https://www.researchgate.net/publication/353464567_Acute_Transverse_Myelitis_Associated_with_COVID-19_vaccine_A_Case_Report)

<https://www.sciencedirect.com/science/article/pii/S2667257X21000176>

<https://www.semanticscholar.org/paper/Acute-disseminated-encephalomyelitis-in-a-patient-Kania-Ambrosius/2dd5b0c1b9f6c3990e682268111c4c1e01a9741f>

Myokarditis

<https://www.ncbi.nlm.nih.gov/pmc/articles/PMC8216855/>

<https://www.ncbi.nlm.nih.gov/pubmed/34934954>

<https://pubmed.ncbi.nlm.nih.gov/34180390/>

Phlebitis, Thrombophlebitis

<https://www.ncbi.nlm.nih.gov/pmc/articles/PMC9177380/>

Taubheit

<https://pubmed.ncbi.nlm.nih.gov/37071555/>

<https://pubmed.ncbi.nlm.nih.gov/35793841/>

<https://pubmed.ncbi.nlm.nih.gov/35793501/>

Tremor

<https://www.ncbi.nlm.nih.gov/pmc/articles/PMC8402736/>

Zerebraler Infarkt, Schlaganfall

<https://onlinelibrary.wiley.com/doi/abs/10.1111/jth.15347>

<https://www.ncbi.nlm.nih.gov/labs/pmc/articles/PMC8553377/pdf/main.pdf>

<https://onlinelibrary.wiley.com/doi/10.1111/ane.13608>

Zoster-Meningitis

<https://pubmed.ncbi.nlm.nih.gov/35367355/>